

**Etude de la connectivité hydrobiologique  
entre le milieu marin et le complexe lagunaire du Vaccarès  
via les Étangs et Marais des Salins de Camargue (EMSC)  
— Suivis ichtyologiques 2016-2021 —**

**Rapport final**



© DNS

en partenariat avec :



**Conservatoire  
du littoral**



Parc  
naturel  
régional  
de Camargue



**SNPN**  
PROTÈGE LA NATURE DEPUIS 1854

avec le soutien financier de :



agence  
de l'eau

RHÔNE MÉDITERRANÉE  
CORSE

établissement public de l'État

**RÉGION  
SUD**  
PROVENCE  
ALPES  
CÔTE D'AZUR



**WWF**

**Etude de la connectivité hydrobiologique  
entre le milieu marin et le complexe lagunaire du Vaccarès  
via les Étangs et Marais des Salins de Camargue (EMSC)  
- Suivis ichtyologiques 2016-2021 -**

**Rapport final**

Maître d'ouvrage :



Plan de financement :

Les suivis d'Octobre 2016 à Juin 2017 et d'Octobre 2020 à Mai 2021 ont été financés à 80% par le WWF-France (mécénat de la Fondation Coca-Cola et de la Française des Jeux) et à 20% par la Tour du Valat. Le suivi d'Octobre 2017 à Mars 2020 a été financé à 50% par l'Agence de l'Eau Rhône Méditerranée Corse, à 30% par la Région Sud Provence Alpes Côte d'Azur et à 20% par la Tour du Valat.



Propriétaire du site des étangs et marais des salins de Camargue :



Co-gestionnaires du site :



## SOMMAIRE

<b>RESUME</b>	<b>3</b>
<b>CONTEXTE</b>	<b>5</b>
<b>INTRODUCTION</b>	<b>6</b>
<b>MATERIEL &amp; METHODES</b>	<b>8</b>
<b>Plan d'échantillonnage</b>	<b>8</b>
<b>Suivi des paramètres environnementaux</b>	<b>11</b>
Données hydrologiques et physico-chimiques	11
Données météorologiques	12
Préparation des variables environnementales	12
Caractérisation des entrées de mer intermittentes via l'étang des Batayolles	14
Effet de la lune	17
Exploration et pré-sélection des variables explicatives	17
<b>Traitement des captures</b>	<b>17</b>
Traitement des anguilles	18
Stade civelle	19
Stades anguillette, jaune et argenté	20
Traitement des crustacés décapodes	20
Caractérisation de la diversité taxinomique et fonctionnelle	20
Calcul des métriques biologiques	21
<b>Evaluation du degré de connectivité hydrobiologique</b>	<b>22</b>
Description des 3 taxons ciblés	22
Etude du franchissement de 4 ouvrages de connexion	25
Test de l'influence de paramètres abiotiques sur la présence et l'abondance de taxons présélectionnés	27
<b>RESULTATS &amp; DISCUSSION</b>	<b>28</b>
<b>Variabilité interannuelle et saisonnière des conditions météorologiques</b>	<b>28</b>
<b>Variabilité spatio-temporelle des conditions hydrologiques et physico-chimiques</b>	<b>30</b>
Niveaux d'eau et salinité des étangs	30
Mesures continues sur les 3 ouvrages de connexion ciblés	31
Exploration des variables explicatives abiotiques continues	33

<b>Effort de pêche</b>	<b>34</b>
<b>Comparaison en termes d'abondance du peuplement piscicole et du peuplement carcinologique</b>	<b>35</b>
<b>Diversités spécifique et fonctionnelle</b>	<b>37</b>
<b>L'athérine des lagunes, espèce euryhaline</b>	<b>44</b>
Présence et abondance spatio-temporelles	44
Franchissement des 4 ouvrages de connexion suivis	46
Influence de paramètres environnementaux	49
<b>Les juvéniles de sole commune, espèce marine migratrice</b>	<b>54</b>
Présence et abondance spatio-temporelles	54
Franchissement des 4 ouvrages de connexion suivis	59
Influence de paramètres environnementaux	60
<b>Recrutement des civelles</b>	<b>64</b>
Présence et abondance spatio-temporelles	64
Franchissement des 4 ouvrages de connexion suivis	69
Influence de paramètres environnementaux	71
<b>CONCLUSIONS &amp; PERSPECTIVES</b>	<b>78</b>
<b>REMERCIEMENTS</b>	<b>79</b>
<b>REFERENCES</b>	<b>80</b>
<b>Annexe 1 : Planning des pêches scientifiques réalisées dans les EMSC et liste des participants</b>	<b>85</b>
<b>Annexe 2 : Configuration des stations d'échantillonnage</b>	<b>93</b>
<b>Annexe 3 : Nouvel ouvrage de connexion entre les étangs du Galabert et du Tampan</b>	<b>106</b>
<b>Annexe 4 : Carte représentant l'ensemble des ouvrages et instruments des EMSC</b>	<b>107</b>
<b>Annexe 5 : Figures supplémentaires relatives à l'exploration des données environnementales</b>	<b>108</b>
<b>Annexe 6 : Liste des taxons identifiés lors des campagnes de pêche dans les EMSC</b>	<b>112</b>
<b>Annexe 7 : Résultats des modèles GLM à une variable explicative</b>	<b>118</b>

## Résumé

Les étangs et marais des salins de Camargue (EMSC), acquis par le Conservatoire du Littoral entre 2008 et 2012, constituent une nouvelle voie de migration potentielle pour la faune aquatique entre la mer et l'hydrosystème du Vaccarès. Pendant 5 années consécutives, depuis octobre 2016, la Tour du Valat a conduit un suivi ichtyologique mensuel en différents points du site, afin d'évaluer le degré de connexion de cette nouvelle voie de migration pour la macrofaune aquatique. De 2016 à 2019, un suivi complet du peuplement piscicole a été mené d'octobre à mai-juin. D'octobre 2019 à mars 2020, un protocole plus allégé a été appliqué, ciblant spécifiquement le recrutement en civelles. La dernière année de suivi, d'octobre 2020 à mai 2021, le recrutement en civelles a également été suivi chaque mois et la totalité du peuplement a été traitée uniquement aux mois d'octobre, novembre, avril et mai. En parallèle des échantillonnages piscicoles, l'évolution des conditions hydrologiques et physico-chimiques ont été suivies grâce à un réseau d'enregistreurs continus et de relèves manuelles maintenu par les trois co-gestionnaires du site : le Parc Naturel Régional de Camargue, la Société Nationale de Protection de la Nature et la Tour du Valat.

Au total, une cinquantaine d'espèces piscicoles ont été recensées. Une structuration du peuplement piscicole transparaît entre les différentes stations d'échantillonnage, marquées au Sud par l'influence proche de la mer, et au Nord, par l'apport saisonnier d'eau douce depuis le canal du Versadou. À toutes les stations, ont été observées des espèces lagunaires telles que les athérines ou le gobie tacheté, des espèces marines migratrices, telles que les muges, la sole commune ou la dorade royale, ou encore l'anguille européenne, une espèce migratrice amphihaline. Ces résultats indiquent que des échanges biologiques avec la mer s'effectuent et qu'une partie du territoire peut à nouveau jouer un rôle de nourricerie pour des espèces migratrices d'origine marine.

Pour trois taxons présélectionnés, les athérines, les juvéniles de sole commune et les civelles, le degré de connexion de la voie de migration des EMSC a été plus précisément examiné à partir de i) la description des patrons de distribution obtenus au travers des différentes stations d'échantillonnage, ii) l'évaluation théorique du franchissement de 4 ouvrages de connexion, et iii) les résultats de modèles statistiques utilisés pour tester l'influence de facteurs abiotiques sur leur présence et leur abondance (CPUE).

Soumises à un climat méditerranéen, les conditions de circulation dans les EMSC sont peu propices à la circulation de la macrofaune aquatique entre la mer et l'hydrosystème du Vaccarès durant la période estivale. En effet, les périodes de sécheresse prolongée engendrent, notamment dans les étangs peu profonds et éloignés de la mer, des niveaux d'eau très faibles avec des températures et des salinités très élevées, souvent incompatibles avec la survie de la plupart des espèces aquatiques.

Les mesures hydrologiques réalisées en continu témoignent du fort hydrodynamisme des EMSC. Le plus souvent, les conditions de circulation apparaissent favorables aux espèces euryhalines, du moins aux athérines qui tolèrent des conditions d'hypersalinité jusqu'à 70g/L. Pendant leur période de recrutement, de février à juin, les juvéniles de soles semblent éviter les zones hypersalines et apparaissent plus souvent présentes lorsque de forts débits se maintiennent plusieurs jours d'affilés. Les civelles, qui ont une capacité de nage limitée, sont significativement moins présentes lorsque les vitesses de courant sortant sont élevées. Les civelles sont également moins capturées lorsque les températures de l'eau sont inférieures à 6°C, du fait du ralentissement de leur métabolisme.

Depuis 2015, l'hydrologie du site a beaucoup évolué. Les brèches dans les digues du front de mer situées au sud du site se sont accentuées et les entrées de mer intermittentes et permanentes se sont multipliées, favorisant les échanges hydrobiologiques avec la mer. Certaines connexions intermittentes peuvent court-circuiter le cheminement jusqu'aux étangs de la Réserve naturelle nationale de Camargue, en créant des connexions plus directes avec la mer, notamment au niveau de l'étang des Batayolles, à l'Ouest de l'étang du Tampan. Les nombreux travaux de décloisonnement à l'intérieur des EMSC ont contribué également à améliorer les flux hydrauliques et à limiter l'intensité des épisodes de sursalure estivale. La création du

nouvel ouvrage de connexion entre les étangs du Galabert et du Tampan durant l'été 2019 a déjà conduit à des améliorations des échanges hydrologiques dans le secteur Nord des EMSC. Il sera intéressant de reprendre le suivi dans quelques années afin d'observer si ces évolutions hydrodynamiques ont des répercussions sur le peuplement piscicole, de même si les évolutions météorologiques et climatiques interfèrent sur les échanges, et enfin si l'arrivée de nouvelles espèces telle que le crabe bleu impacte le peuplement en place.



*Station d'échantillonnage du Galabert Sud © D.Nicolas*

## Contexte

Les étangs et marais des salins de Camargue (EMSC) constituent depuis quelques années une nouvelle voie de connexion entre la mer et les étangs inférieurs de l'île de Camargue (Figure 1). Ce territoire de plus de 6000 ha a été acquis entre 2008 et 2012 à l'issue de plusieurs actes de vente par le Conservatoire du Littoral et il est depuis cogéré par 3 structures : le Parc Naturel Régional de Camargue, la Société Nationale de Protection de la Nature et la Fondation Tour du Valat. Différents programmes y sont déployés depuis 2011 afin de rétablir un fonctionnement hydro-écologique plus naturel. Voués à la production de sel depuis les années 1960-70, ces étangs auparavant très cloisonnés font désormais l'objet d'une renaturation. Côté mer, la restauration se fait de manière non interventionniste : au fil des tempêtes, de nouvelles brèches s'ouvrent dans les digues, et les dynamiques d'érosion et de sédimentation redessinent peu à peu le trait de côte ; plusieurs graus se sont considérablement creusés et sont devenus permanents. Plus vers l'intérieur des terres, un chemin de connexion entre la mer et l'étang du Vaccarès a été facilité par des travaux de chenalisation et la création de nouveaux ouvrages. Successivement, ce chemin emprunte les étangs de Beauduc, du Vaisseau, du Grand Rascaillan, du Galabert, du Tampan, de la Gaze du Marteau, et enfin du Lion ou de la Dame. Entre l'étang du Tampan et la Gaze du Marteau se trouve le chenal de la Comtesse qui constitue la porte d'entrée vers la Réserve Naturelle Nationale de Camargue. Cette renaturation du système renforce l'accessibilité d'un vaste territoire à la faune aquatique. L'objet de la présente étude vise à évaluer le succès de cette reconnexion d'un point de vue ichthyologique.

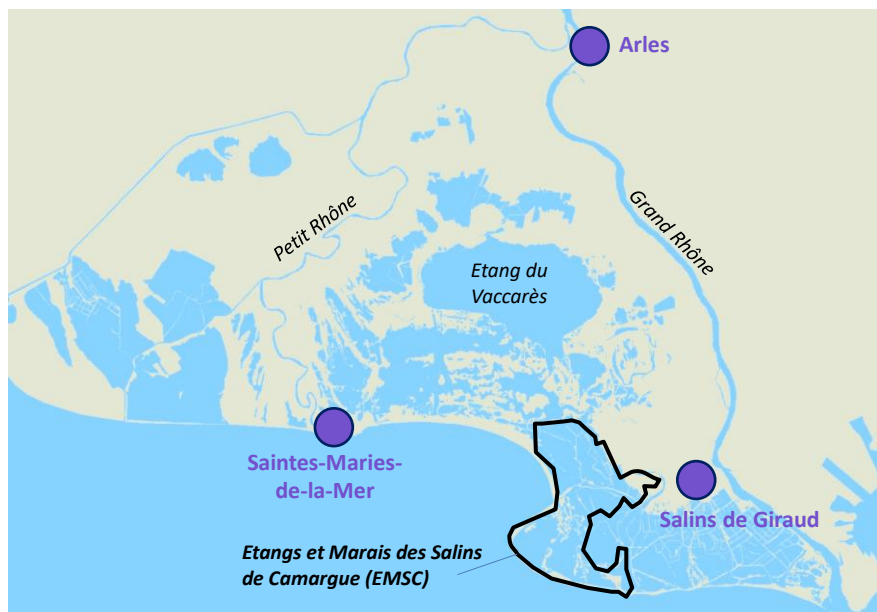


Figure 1 : Localisation des étangs et marais des salins de Camargue à l'intérieur du delta du Rhône.

## Introduction

À la jonction entre terre et mer, les lagunes sont des habitats littoraux peu profonds, ayant généralement une à plusieurs connexions étroites à la mer, pouvant temporairement ou en permanence être alimentées par des apports d'eau douce. Selon leurs caractéristiques hydrologiques, morphologiques et physico-chimiques, les lagunes hébergent différents types de peuplements aquatiques, qui peuvent être tantôt dominés par des espèces dulçaquicoles, des espèces saumâtres ou des espèces marines. La composition des peuplements lagunaires, en termes de présence et d'abondance, varie au fil des saisons et des années, en fonction de multiples facteurs : la phénologie des espèces et leur succès de reproduction, les conditions hydrologiques et physico-chimiques de la lagune et de ses hydrosystèmes adjacents, l'importance et la durée des connexions avec la mer.

Les lagunes saumâtres sont avant tout l'habitat de résidence des espèces lagunaires qui y effectuent l'ensemble de leur cycle de vie, y trouvant toutes les ressources adéquates pour leur reproduction, leur croissance et leur survie. Ces espèces peuvent s'adapter à de grandes variations environnementales, notamment en termes de salinité et de température. Typiquement, les espèces résidentes en milieu saumâtre sont en faible nombre mais présentent de fortes abondances. Dans l'hydrosystème lagunaire du Vaccarès, les principales espèces de poissons saumâtres sont l'athérine (*Atherina boyeri*), les gobies (*Pomatoschistus microps* et potentiellement *P. marmoratus*), l'épinoche (*Gasterosteus aculeatus*) et le syngnathe des lagunes (*Syngnathus abaster*) (A. J. Crivelli, 1981; Gelin, 2001; Pampoulie et al., 2001; Poizat et al., 2004).

Les espèces marines migratrices se reproduisent en mer et vont grandir au stade juvénile en milieu côtier. En tant qu'habitats côtiers abrités, les lagunes constituent des habitats de nourricerie pour de nombreuses espèces de poissons marins migrants. Cette fonction de nourricerie est un rôle clé pour le renouvellement et la pérennité de certains stocks halieutiques en mer. Selon les espèces, des habitats plus ou moins spécifiques assurent cette fonction de nourricerie. Un habitat est considéré comme nourricerie pour une espèce uniquement lorsqu'il assure à la fois un taux de croissance, un taux de survie et une production de futurs géniteurs, pouvant aisément rejoindre leur habitat d'origine, significativement plus élevés que d'autres habitats (Beck et al., 2001). Dans le système du Vaccarès, les post-larves ou juvéniles de plusieurs espèces marines migratrices y sont régulièrement observées : sole commune (*Solea solea*), dorade royale (*Sparus aurata*), muges (*Chelon ramada*, *Chelon aurata*, *Chelon saliens*, *Mugil cephalus*), loup (*Dicentrarchus labrax*). Des espèces carcinologiques telles que le crabe vert de méditerranée (*Carcinus aesturarii*) et la crevette grise (*Crangon crangon*), y effectuent également des migrations entre la mer et les étangs au cours de leur cycle de vie, notamment les femelles pour faire éclore leurs œufs en mer (Gelin et al., 2000).

Les lagunes méditerranéennes sont des habitats très attractifs pour l'anguille européenne, une espèce migratrice amphihaline catadrome, en danger critique d'extinction d'après l'UICN (Union Internationale pour la Conservation de la Nature). L'anguille européenne se reproduit dans l'Océan Atlantique, dans la mer des Sargasses. Après avoir traversé l'océan et approché le plateau continental européen, les larves se métamorphosent en civelles, stades juvéniles de l'anguille. Les civelles colonisent l'ensemble des façades Atlantique européenne et méditerranéenne pour trouver un habitat de croissance marin, saumâtre ou d'eau douce, et devenir des anguilles jaunes. Au bout de 2 à 20 ans, les anguilles jaunes se métamorphosent à nouveau pour devenir argentées et repartir en mer pour aller se reproduire. Les lagunes méditerranéennes font partis des milieux les plus

attractifs pour les civelles et les plus productifs en anguilles argentées (*Plan de Gestion Anguille de La France. Rapport de Mise En Oeuvre - Juin 2015. Article 9 Du R (CE) N°1100/2007, 2015*). Les anguilles sont d'ailleurs largement exploitées dans la plupart des lagunes méditerranéennes françaises, dont l'hydrosystème du Vaccarès.

Le delta de Camargue est principalement relié à la mer par le pertuis de la Fourcade situé sur la commune des Saintes-Maries-de-la-Mer, au Sud-Ouest du delta. Ce pertuis est équipé d'un ouvrage composé de 13 martelières dont les ouvertures sont totalement contrôlées et gérées par un comité d'acteurs, la Commission Exécutive De l'Eau (CEDE), qui se réunit régulièrement pour prendre des décisions collégiales. L'étang du Vaccarès ayant une altitude légèrement inférieure au niveau de la mer, l'une des priorités de ce comité est d'assurer l'évacuation des eaux du système afin d'éviter les inondations et l'hypersalinisation qui nuiraient, respectivement, aux habitations et aux activités agricoles situées en périphérie. Par temps de mistral (vent de secteur Nord), les martelières sont donc le plus souvent ouvertes de manière à assurer la vidange du système. Néanmoins, cette vidange s'accompagne de forts courants qui sont incompatibles avec la migration active, à contre-courant, de la plupart des espèces piscicoles d'origine marine. En cas de forts vents de secteur Sud, qui s'accompagnent généralement de tempêtes de la mer, les vannes sont fermées pour limiter les entrées d'eaux salées. Le reste du temps, ce sont le plus souvent 3 à 4 martelières sur les 13 qui restent ouvertes en permanence pour assurer les échanges hydrobiologiques (Rosecchi et al., 1998).

Au Sud-Est du delta, depuis une dizaine d'années, une nouvelle voie de migration entre la mer et l'hydrosystème du Vaccarès est restaurée *via* les étangs et marais des Salins de Camargue (EMSC). En tant que secteur à nouveau ouvert sur la mer et reconnecté aux étangs intérieurs, les EMSC offrent un territoire de 6 000 ha dont une partie est potentiellement colonisable par les espèces aquatiques, qu'elles soient résidentes, migratrices ou de passage. En particulier, pour l'anguille européenne, il peut s'agir d'une nouvelle voie de migration intéressante pour rejoindre des habitats de croissance à la montaison (stade civelle) ou repartir en mer à la dévalaison (stade argenté).

Suite à plusieurs phases de travaux visant à décroiser les étangs et favoriser un chemin de reconnexion par voie gravitaire, la gestion du site cherche à être le moins interventionniste possible et à retrouver un fonctionnement le plus naturel possible. La connexion à l'intérieur des EMSC est ainsi fortement conditionnée par les conditions météorologiques. Dans la partie nord du site qui est la plus éloignée des connexions avec la mer, les niveaux d'eau dans les étangs diminuent fortement pendant la période estivale, conséquence des taux d'évaporation très élevés. La diminution des niveaux s'accompagne de hausses de la température et de la salinité de l'eau qui peuvent conduire à des conditions non favorables à la survie de la plupart des espèces piscicoles. A partir de l'automne, suite aux premiers épisodes de précipitations et à la remontée des eaux, la faune aquatique est susceptible de circuler à nouveau en fonction des conditions hydrologiques (force et direction du courant) et physico-chimiques (salinité, température, dioxygène).

La présente étude vise à décrire et mieux comprendre le fonctionnement hydrobiologique des EMSC et à effectuer une première évaluation du degré de connexion de cette nouvelle voie de migration pour les poissons entre la mer et l'hydrosystème du Vaccarès. Un suivi ichtyologique (et carcinologique) mensuel a ainsi été mis en place en différents points du chemin de reconnexion durant 5 années consécutives, de 2016 à 2021. Dans un premier temps, les variabilités spatio-temporelles des conditions abiotiques du site sont explorées. De même, l'évolution de la structure du peuplement global est décrite en termes de richesse fonctionnelle et de densités. Le degré de

connexion de la voie de migration des EMSC est ensuite évalué plus spécifiquement pour 3 taxons (les athérines, les juvéniles de sole commune et les civelles) en utilisant 3 approches différentes : i) la description des patrons de distribution en termes de présence-absence et de densités obtenus à travers les différentes stations d'échantillonnage, ii) une évaluation théorique du franchissement de 4 ouvrages de connexion à partir des mesures hydrologiques et physico-chimiques réalisées en continu et d'informations biologiques issues de la littérature, iii) l'identification des principaux facteurs abiotiques limitant ou favorisant la présence et/ou l'abondance et la quantification de leurs effets à l'aide d'outils de modélisation statistique.

## Matériel & Méthodes

### Plan d'échantillonnage

Chaque mois, d'octobre à, selon les années, mars, mai ou juin, plusieurs stations positionnées le long du chemin de connexion entre la mer et l'hydrosystème du Vaccarès sont échantillonnées en simultané : les stations de Beauduc, du Vaisseau, du Galabert, du Tampan, de la Comtesse, du Gaze du marteau et du Versadou (Figure 2, Tableau 1). Ces pêches scientifiques font l'objet d'une autorisation auprès des affaires maritimes. Les dates du suivi et le personnel impliqué sont indiqués en [Annexe 1](#).

Le plan d'échantillonnage a varié selon les années de suivi en fonction des conditions d'accessibilité et de l'évolution du système (Tableau 1). La station du Vaisseau a été remplacée au cours de la deuxième année par la station du Galabert Sud (Galabert 1-2), moins problématique d'accès. A partir d'octobre 2019, une deuxième station Galabert\_B/Tampan\_B a été ajoutée à une cinquantaine de mètres au nord de la station Galabert/Tampan suite à la création du nouvel ouvrage de connexion entre l'étang du Galabert et l'étang du Tampan durant l'été 2019.

Les 3 premières années de suivi, deux équipes ont travaillé en parallèle, la première, composée de 2 à 4 personnes, s'occupant des stations les plus au sud : la station de Beauduc et la station du Vaisseau ou du Galabert Sud, et la seconde, composée de 5 à 7 personnes, des stations situées plus au nord.

Pendant la quatrième année de suivi (2019-2020), un suivi plus allégé, ciblant spécifiquement le recrutement en civelles, a été mené. Pour ce suivi, une seule équipe de 2 à 4 personnes s'est chargée des échantillonnages à l'ensemble des stations depuis le Galabert Sud jusqu'au secteur de la Comtesse. La station de Beauduc et la station du Gaze du Marteau n'ont alors pas été échantillonnées. Initialement prévu d'octobre à avril, cette année de suivi a finalement été stoppée dès mars en raison du confinement lié à la crise du Covid-19.

La dernière année de suivi (2020-2021) a alterné les suivis complets avec l'intervention des deux équipes en parallèle les mois d'octobre, novembre, avril et mai, et les suivis spécifiques au recrutement en civelles de décembre à mars (Tableau 1).

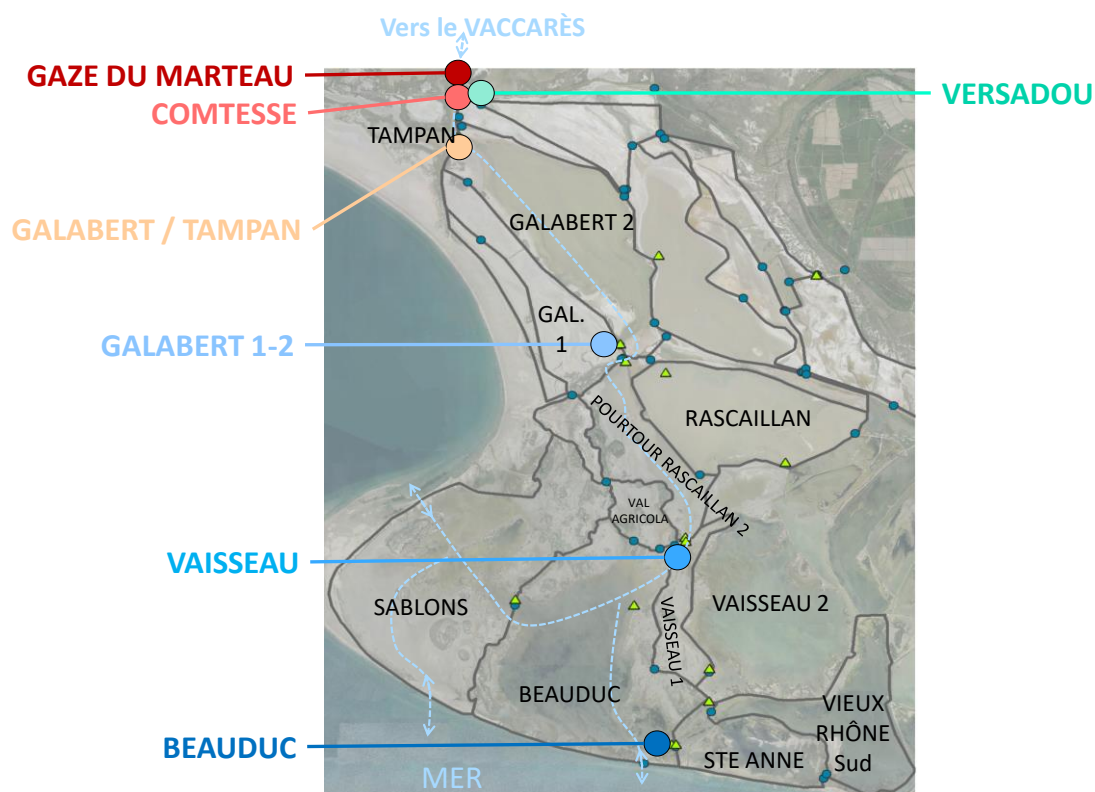


Figure 2 : Carte représentant la localisation des stations d'échantillonnage de la macrofaune aquatique le long du chemin de connexion théorique entre la mer et l'étang du Vaccarès via les EMSC. Les petits ronds bleus symbolisent les ouvrages de connexion et les petits triangles jaunes la localisation des instruments de mesures en continu.

A chaque station, deux types d'engins passifs, disposés en simples verveux ou en capéchtade selon la configuration du site, sont utilisés, l'un de 4 mm de maille visant les individus de toutes tailles (dénommé 'filet DCE'<sup>1</sup>), et l'autre de 1.5 mm de maille ciblant spécifiquement les civelles (dénommé 'filet à civelles', Tableau 1). A l'entrée des filets à civelles, une grille de 2 cm de maille a été placée afin d'empêcher le passage des gros individus (d'anguille et de crabe notamment). La configuration de pose des filets à chacune des stations est détaillée en [Annexe 2](#).



Figure 3 : A gauche, verveux de 4mm de maille posé à la station du Gaze du marteau. A droite, filet à civelles de 1.5mm de maille posé à la station du Versadou. ©L. Marre-Caste & D. Nicolas.

<sup>1</sup> Ce filet fut l'engin de pêche utilisé dans le cadre de la Directive-Cadre européenne sur l'Eau lors de la première tentative pour développer un indicateur Poissons en lagunes méditerranéennes (~2006-2012).

Chaque campagne de pêche dure entre 4 et 5 jours : les filets sont posés le matin du premier jour et sont relevés environ toutes les 24h pendant 3 jours consécutifs. Les heures de pose et de relève de chaque filet sont notées afin de calculer les efforts de pêche. En cas de pépin (filet arraché, pluies torrentielles, etc.), une relève supplémentaire est assurée le cinquième jour.

Les semaines d'échantillonnage se rapprochent au mieux de la lune noire, si possible, période qui peut positivement influencer la montaison des civelles ou la dévalaison des anguilles argentées (Bru et al., 2009; Bruijs & Durif, 2009; Harrison et al., 2014; Okamura, 2002).

**Tableau 1 : Programme de pose de filets par année de suivi : 1.5 = filet à civelles et 4 = filet « DCE ». Les zones grisées correspondent aux campagnes de pêche qui ont dû être annulées. D'avril 2017 à mai 2019, le filet à civelles du Galabert fut traité comme un DCE.**

		Beauduc		Vaisseau		Galabert Sud		Galabert		Tampan		Gal_B		Tamp_B		Comtesse		Gaze du Marteau		Versadou			
		1.5	4	1.5	4	1.5	4	1.5	4	1.5	4	1.5	4	1.5	4	1.5	4	1.5	4	1.5	4		
2016-2017	O																						
	N																						
	D																						
	J																						
	F																						
	M																						
	A																						
2017-2018	M																						
	J																						
	O																						
	N																						
	D																						
	J																						
	F																						
2018-2019	M																						
	A																						
	M																						
	J																						
	O																						
	N																						
	D																						
<i>Travaux pour le nouvel ouvrage entre Galabert et Tampan</i>																							
2019-2020	J																						
	F																						
	M																						
	A																						
	<i>Confinement lié au COVID-19</i>																						
	M																						
	J																						
2020-2021	O																						
	N																						
	D																						
	J																						
	F																						
	M																						
	A																						

## Suivi des paramètres environnementaux

### Données hydrologiques et physico-chimiques

La plupart des stations d'échantillonnage se trouvent à proximité d'ouvrages de connexion qui sont équipés, de part et d'autre, avec des sondes qui mesurent le niveau d'eau en continu, tous les quarts d'heure ou toutes les heures (Figure 4, ensemble des instruments présents dans les EMSC représentés en [Annexe 4](#) - Figure 4-66). A partir de ces mesures et de lois d'ouvrages hydrauliques, sont calculés le débit, la vitesse et le sens du courant, ainsi que la hauteur d'eau au sein de l'ouvrage par pas de temps. Seule une sonde sur les deux associées à un ouvrage est multiparamétrique et mesure également la température et la conductivité. Les mesures continues sont ramenées au pas de temps horaire, en effectuant au besoin une moyenne des valeurs disponibles.

Suite à des aléas techniques, certains instruments n'ont pas été fonctionnels à certaines périodes. Compte tenu d'un encrassement de sonde, les données ne sont pas disponibles pour l'ouvrage de la Comtesse entre le 7 mars et le 26 avril 2021. La structure de l'instrument de Beauduc Sud-Est étant en état de dégradation avancée, la sonde a été enlevée le 5 novembre 2020. Les calculs hydrologiques ne sont depuis lors plus disponibles pour les échanges entre l'étang de Beauduc et l'étang de Sainte-Anne. En raison de modification des connexions, d'autres instruments ont dû être ôtés ou ajoutés au cours du projet. Suite à la création d'une ouverture libre d'environ 50m entre le pourtour du Rascaillan et l'étang du Vaisseau, et ces deux étangs étant désormais en permanente connexion, les instruments installés à proximité de leur ouvrage de connexion ont été retirés à partir de l'automne 2019. Deux nouvelles sondes ont été installées de part et d'autre du nouvel ouvrage entre l'étang du Galabert et l'étang du Tampan depuis octobre 2019.



**Figure 4 :** Photographie représentant la position des sondes de mesures de part et d'autre de l'ouvrage de connexion Galabert/Tampan, ici symbolisé par le rectangle en pointillés. Les sondes sont disposées à l'intérieur de tubes PVC solidement amarrés à des structures en bois. 21/10/2019 © D. Nicolas

Tous les jours de pêche scientifique, la température et la conductivité sont de plus manuellement relevées à chaque station d'échantillonnage. Ces données sont complétées par les relevés effectués en différents points du système par le PNR, sur les EMSC, et la SNPN, sur la Réserve Naturelle Nationale de Camargue, une fois par mois (Figure 5).

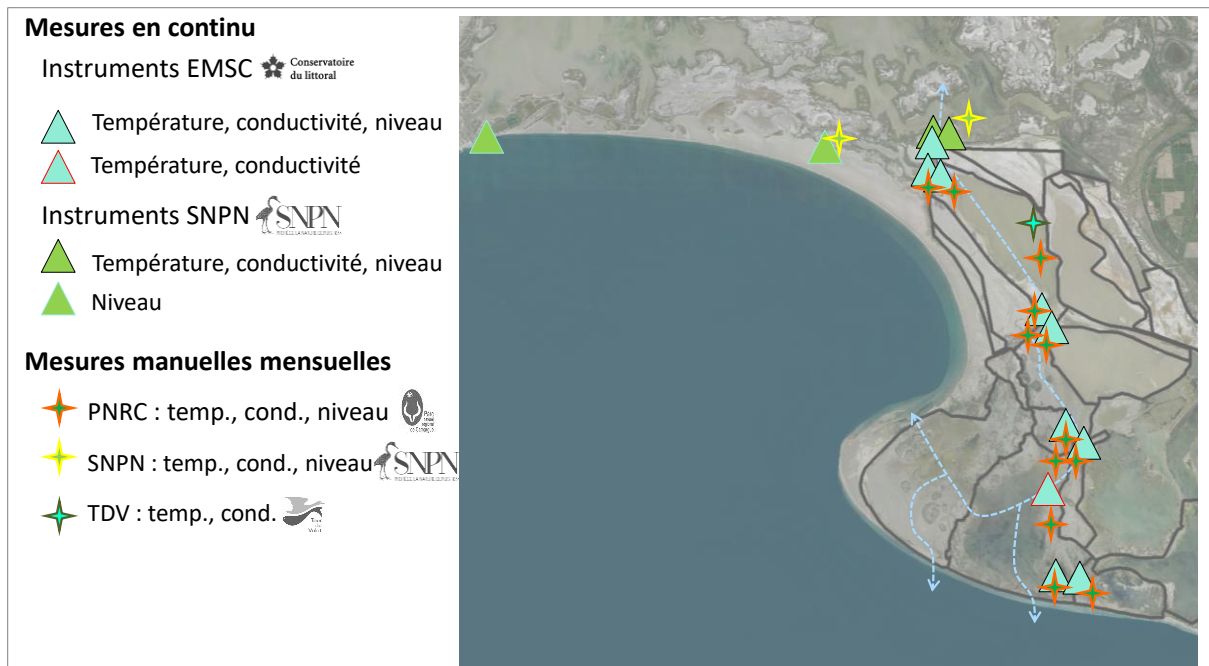


Figure 5 : Localisation et source des relevés de niveaux d'eau, de température et de conductivité mesurés en continu ou manuellement, qui sont considérés dans la présente étude.

### Données météorologiques

La température de l'air et les précipitations sont relevées toutes les heures par la station météorologique de la Tour du Valat. La vitesse et la durée de vent par secteur pendant l'heure écoulée sont également fournies par heure. A partir de ces deux variables, la distance parcourue par secteur de vent et par heure est calculée :

$$\text{Distance (m)} = \text{Vitesse (m/s)} \times \text{Durée (s)}$$

Deux secteurs de vent qui ont une influence majeure sur le fonctionnement hydrodynamique du système sont en particulier considérés :

- le vent de secteur Nord (mistral) qui inclut tous les enregistrements de vent de secteur NE (45°) à NO (315°).
- le vent de secteur Sud qui inclut tous les enregistrements de vent de secteur SE (135°) à SO (225°).

La pression atmosphérique, relevée aux stations météorologiques d'Istres et de St Gilles toutes les 12h, a été acquise pour les années 2016 à mi-2019. Ces deux stations sont localisées à environ 26km de part et d'autre de la station de la Tour du Valat. Une valeur moyenne de ces deux relevés est calculée.

### Préparation des variables environnementales

Les données environnementales, récupérées sous format *Excel*, ont été traitées sous le logiciel *R* (R Development Core Team, 2005). L'ensemble des variables environnementales explorées et utilisées dans cette étude sont présentées dans le Tableau 2.

A partir des données physico-chimiques et hydrologiques mesurées en continu, les valeurs des paramètres mesurés pendant une période donnée (par ex. chaque mois ou pendant le temps de

pose des filets) sont moyennées par station. Les données continues peuvent présenter de grandes périodes sans données car manquantes ou inexploitable. Afin de limiter au maximum le manque de données, notamment pour l'analyse des effets environnementaux sur les captures de pêche, les relevés manuels effectués à chaque visite des filets sont utilisés et complétés au besoin par les données continues. Si ces variables complétées présentent encore quelques données manquantes, celles-ci sont remplacées par les mesures manuelles mensuelles disponibles au plus proche dans le temps et l'espace.

Pour la vitesse du courant et le débit, les flux sortants (en direction de la mer) sont dissociés des flux entrants (de la mer vers l'intérieur des terres).

La salinité est estimée à partir de l'équation fournie par Ifremer pour le canal du Versadou, milieu principalement d'eau douce. Pour les autres étangs, qui ont des compositions chimiques variées et qui peuvent présenter des conditions d'hypersalinité, une équation spécifique calculée par étang est utilisée.

**Tableau 2 : Liste des variables explicatives disponibles**

<b>Abréviation</b>	<b>Unités</b>	<b>Description</b>
<b>Variations interannuelles</b>		
YearSurvey		Variable facteur: année d'échantillonnage (2016-2017; 2017-2018 ; 2018-2019)
<b>Variations intra-annuelles</b>		
Saison		Variable facteur: saison d'échantillonnage (automne; hiver; printemps)
Mois		Variable facteur: mois d'échantillonnage (10; 11; 12; 1; 2; 3; 4; 5; 6)
<b>Spatialisation</b>		
Station		Variable facteur: stations d'échantillonnage (Beauduc, Vaisseau, Galabert1-2, Galabert, Tampan, Comtesse, Versadou, Gaze du Marteau)
DistSea	km	Distance entre la station d'échantillonnage et la mer
DistSeaCM	km	Distance entre la station d'échantillonnage et la mer, en tenant compte des connexions intermittentes
<b>Physico-chimie</b>		
Temp	°C	Valeur moyenne de température de l'eau obtenue à partir des relevés manuels
Cond	mS/cm	Valeur moyenne de conductivité obtenue à partir des relevés manuels
Sal	g/L	Valeur moyenne de salinité obtenue à partir des relevés manuels
Temp_Man	°C	Valeur moyenne de température de l'eau obtenue à partir des relevés manuels et complétées au besoin par les relevés continus
Temp_Man_Fac		Variable facteur: <=6°C: "below6"; >6 & <=12°C: "betw6and12"; >12:"Sup12"
Cond_Man	mS/cm	Valeur moyenne de conductivité obtenue à partir des relevés manuels et complétées au besoin par les relevés continus
Sal_Man	g/L	Valeur moyenne de salinité obtenue à partir des relevés manuels et complétées au besoin par les relevés continus
Sal_Man_Fac		Variable facteur: <=5 : "oligohalin"; >5 & <=18 : "mesohalin" ; >18 & <=35 : "polyhalin" ; >35 & <=45 : "mixohalin"; >45 : "hyperhalin".
<b>Hydrologie</b>		
Niv	mNGF	Valeur moyenne du niveau d'eau obtenue à partir des relevés manuels
Niv_Man	mNGF	Valeur moyenne du niveau d'eau obtenue à partir des relevés manuels et complétées au besoin par les relevés continus

Niv_Man_Fac	mNGF	Variable facteur: <=10: "low"; >10 & <=40: "medium"; >40: "high"
Niv_Man_Fac2	mNGF	Variable facteur: <=10: "low"; >10 & <=30: "medium"; >30 & <=50: "high"; >50: "very high"
Vit_entr	m/s	Valeur moyenne de vitesse du courant entrant, du sens de la mer vers l'intérieur des terres, obtenues à partir des mesures réalisées en continu
Vit_sort	m/s	Valeur moyenne de la vitesse du courant sortant, en direction de la mer, obtenue à partir des mesures réalisées en continu
Deb_entr	m3/s	Valeur moyenne du débit entrant, du sens de la mer vers l'intérieur des terres, obtenues à partir des mesures réalisées en continu
Deb_sort	m3/s	Valeur moyenne du débit sortant, en direction de la mer, obtenue à partir des mesures réalisées en continu
Haut	m	Valeur moyenne de la hauteur d'eau au sein d'un ouvrage de connexion, calculé à partir d'une loi d'ouvrage spécifique, obtenues à partir des mesures réalisées en continu
CM		Variable caractérisant les entrées de mer intermittentes.
<b>Météorologie</b>		
Temp_Air	°C	Valeur moyenne de la température de l'air
Precip	mm	Somme cumulée des précipitations
Dist_S	m	Distance parcourue par le vent de secteur Sud pour une durée donnée
Dist_N	m	Distance parcourue par le vent de secteur Nord par une durée donnée
Patm	Pa	Valeur moyenne de la pression atmosphérique
<b>Effet de la lune</b>		
Moon		Phases lunaires: 0= nouvelle lune; $\pi/2$ = premier quartier; $\pi$ = pleine lune ; $3\pi/2$ = dernier quartier.
Moon_Fac		Variable facteur: 0 - 0,785:"new" ; 0,785 - 2,355:"first" ; 2,355 -3,925:"full" ; 3,925-5,495:"last"
Moon_Sem		Variable semi-quantitative: "New"=0; "first" or "last" =0.5; "full"=1.

### *Caractérisation des entrées de mer intermittentes via l'étang des Batayolles*

Les entrées de mer intermittentes qui s'opèrent *via* l'étang des Batayolles et puis l'étang du Tampan court-circuitent le cheminement de connexion entre la mer et l'étang du Vaccarès *via* les EMSC (Figure 6).

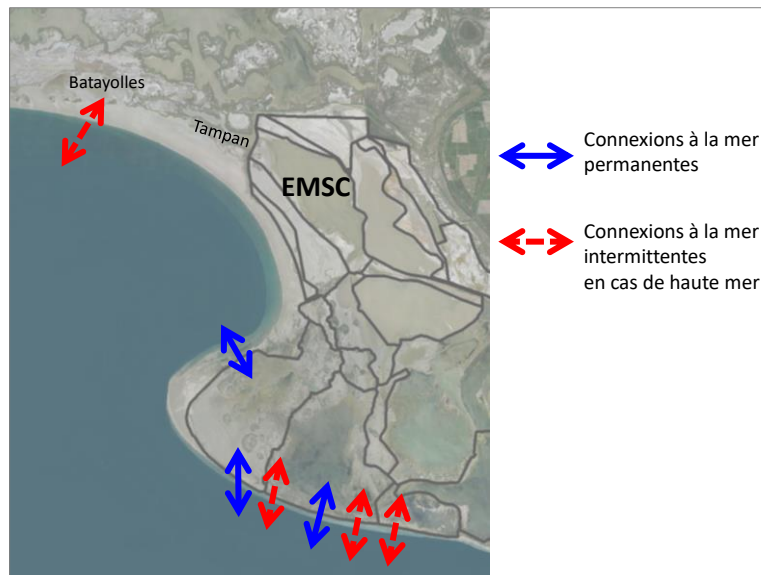


Figure 6 : Localisations des principales connexions à la mer permanentes et intermittentes en cas de haute mer.

Les « coups de mer » résultent le plus souvent d'une situation dépressionnaire (faible pression atmosphérique) associée à des vents de secteur Sud-Est à Sud-Ouest. Néanmoins, la prise en compte de la force et de la direction du vent ainsi que de la pression atmosphérique n'a pas permis d'identifier une règle simple (par exemple :  $P_{atm} < 1030 \text{ Pa}$  et  $Dist\_S > 550\text{m}$ ) pour caractériser sans erreurs ces entrées de mer intermittentes. L'étude graphique des variations des niveaux d'eau mesurées en continu permet de visualiser clairement des hausses de niveaux soudaines dans l'étang du Tampan qui corroborent avec celles observées au niveau de la plage des douanes (Figure 7). Les séries temporelles de niveaux d'eau mesurées au pertuis de la Fourcade et au niveau de l'ouvrage de Beauduc-Ste Anne sont les séries de données les plus complètes. Cependant, l'utilisation de ces deux séries permet d'identifier davantage de connexions intermittentes qu'il en paraît au niveau de l'étang des Batayolles. Etant donné que la série de la plage des douanes est incomplète, la série de niveaux d'eau de l'étang du Tampan est utilisée. Le seuil de 0.55mNGF observé dans cet étang a été choisi comme proxy pour déterminer une entrée de mer intermittente *via* l'étang des Batayolles (Figure 7).

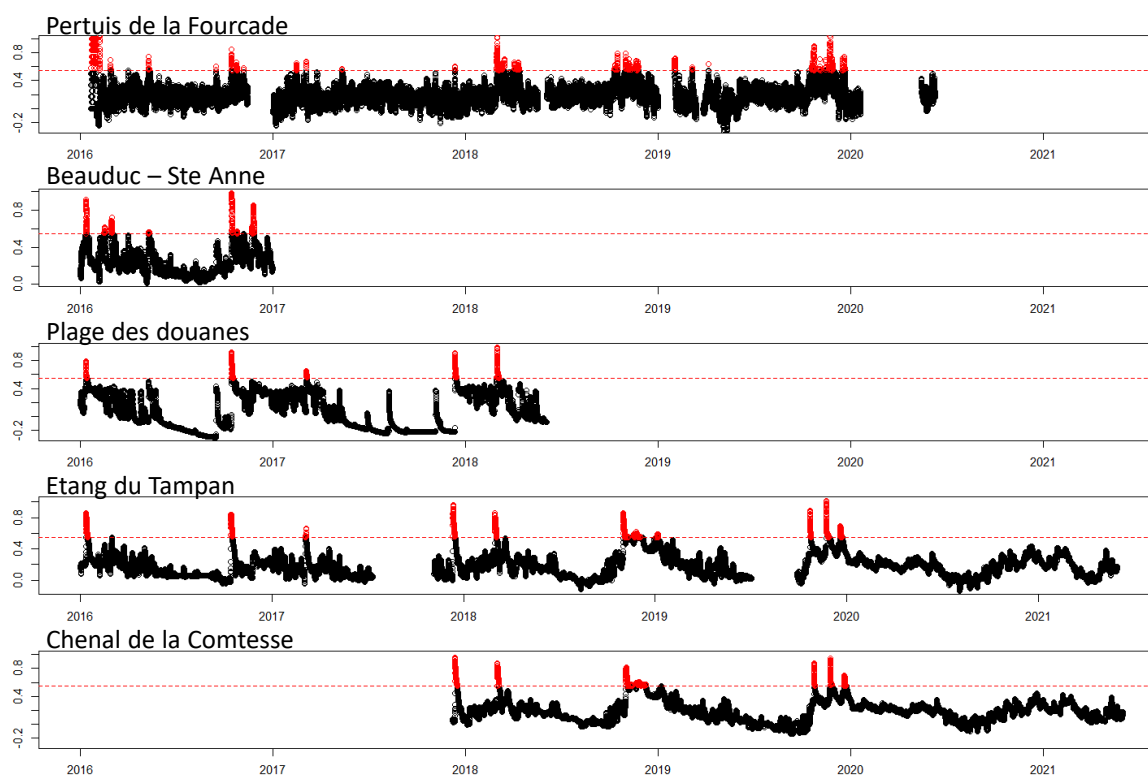


Figure 7 : Variations du niveau d'eau (mNGF) mesurées en continu en différents points du delta. Les niveaux supérieurs à 0.55mNGF sont indiqués en rouge. Source des données : SNP/PNRC/TDV.

A partir des dates et heures où le niveau d'eau du Tampan dépasse le seuil de 0.55mNGF, la durée (h) et le niveau d'eau maximal (m) de chaque coup de mer ont été calculés. Ces deux variables sont positivement corrélées ( $r_{\text{pears}}=0.88$ ,  $p\text{-value}<0.05$ ). Afin de caractériser l'influence d'une entrée massive d'eau de mer sur les captures de pêche, une variable *CM* (Tableau 2) a été construite en se basant sur les postulats suivants :

- Les captures de pêche (relèves toutes les 24h) peuvent être influencées par un coup de mer jusqu'à 6 jours maximum après sa date de parution.
- L'influence d'un coup de mer sur les captures est plus forte le jour de parution et diminue de jour en jour.
- L'influence d'un coup de mer dépend de sa durée.
- Plusieurs coups de mer d'affilés peuvent davantage influencer les captures.

L'influence de chaque coup de mer sur une relève de pêche est calculée de la manière qui suit (Figure 8) : Si une relève a été réalisée pendant un coup de mer, la valeur correspondant à la durée de ce coup de mer multipliée par 5 lui est attribuée. Si une relève a été réalisée entre 0 et 24h après la date de fin d'un coup de mer, la durée multipliée par 4 lui est attribuée. Et ainsi de suite, jusqu'à la durée multipliée par 1 pour une relève réalisée entre 48 et 96h après un coup de mer et par 0.5 pour une relève réalisée jusqu'à 120h après. Si une relève est influencée par plusieurs coups de mer, les valeurs calculées pour les différents coups de mer sont additionnées.

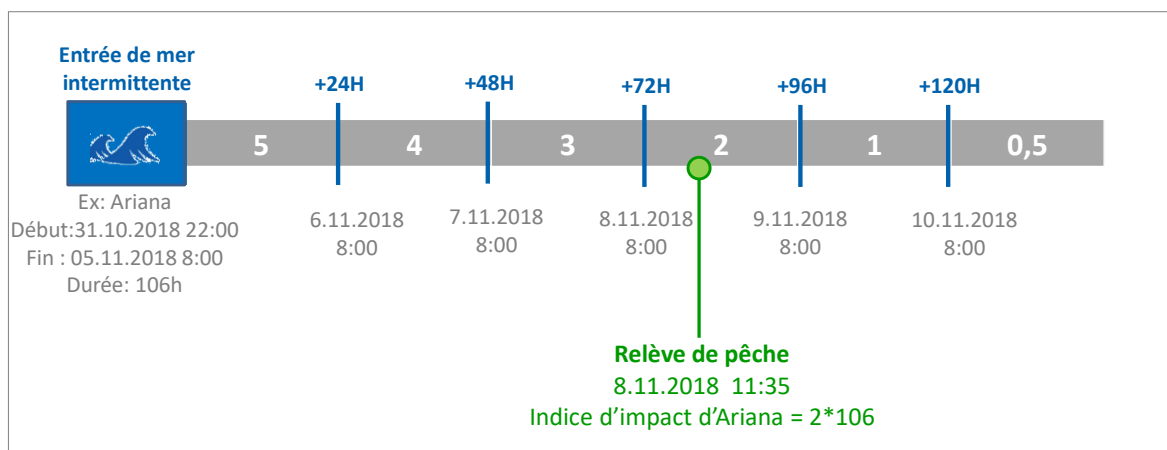


Figure 8 : Illustration explicative du calcul de la variable permettant de caractériser l'influence potentielle des entrées de mer intermittentes au niveau de l'étang des Batayolles

La distance à la mer de chacune des stations d'échantillonnage a été mesurée sous *Google.Earth* en tenant compte uniquement des connexions permanentes au Sud des EMSC (variable *DistSea*, Tableau 2). Afin de tenir compte des entrées intermittentes, une autre variable (*DistSeaCM*, Tableau 2) a été créée : lorsque la variable *CM* est supérieure à zéro, les distances à la mer *via* la localisation des connexions intermittentes les plus proches sont attribuées aux stations d'échantillonnage.

### Effet de la lune

Les phases lunaires ont été estimées à partir de la fonction *lunar.phase{lunar}* sous *R*. Deux facteurs sont construits de manière à caractériser, pour l'un, 4 phases de la lune (lune nouvelle, lune montante, pleine lune et lune descendante), et pour l'autre, 3 phases (lune nouvelle, quartiers de lune, pleine lune, Tableau 2).

### Exploration et pré-sélection des variables explicatives

Une analyse exploratoire des variables environnementales est effectuée afin d'identifier les variables qui sont limitantes du fait du manque de données. Une analyse des corrélations est effectuée avec le coefficient de Pearson. Si deux variables sont corrélées ( $r \geq |0.7|$ ), la plus pertinente d'un point de vue écologique est retenue. Des analyses en composantes principales normées sont appliquées afin d'explorer la structure des données.

### Traitement des captures

Les captures sont traitées sur place afin de limiter la mortalité par pêche. Pour les filets DCE, les prises sont triées, identifiées jusqu'à l'espèce dans la mesure du possible, dénombrées, mesurées et pesées. Pour les filets à civelles, les prises sont traitées seulement en présence-absence, à part les captures d'intérêt telles que les civelles ou les alevins d'espèces marines migratrices qui sont également au moins identifiées, mesurées et dénombrées. Entre chaque jour de pêche, les captures sont relâchées à des sites spécifiques de manière à éviter la recapture de mêmes individus à une même station.

La taille correspond à la longueur à la fourche et est mesurée au millimètre près. Le poids est mesuré au 0,1 g près. Les mesures de taille et de poids individuelles sont relevées pour au moins 30 individus par taxon, et par classe de taille au besoin, une fois par station et par jour de pêche. Pour

les petits individus (inférieurs à 100 mm), les mesures individuelles sont réalisées une seule fois par station et par semaine de suivi. Si les individus sont inférieurs à 30 mm, les poids deviennent trop imprécis et ne sont donc pas systématiquement pris. Toujours pour les petits individus, tous les jours de relève, 30 mesures de taille par taxon (et par classe de taille au besoin) sont réalisées par station de pêche. En cas de grandes densités, 3 lots d'environ 30 individus sont dénombrés et pesés afin de calculer un poids individuel moyen. Le reste des individus est pesé et à partir du poids moyen, le nombre total d'individus capturé est estimé. À chaque fois, les mesures de taille ou les pesées de lots sont réalisées à partir d'un échantillon qui cherche à représenter au mieux le spectre de taille en présence.

En cas de fortes densités de petits individus (et de plusieurs espèces), un « scan » est réalisé sur l'ensemble des prises afin de vérifier qu'aucun signal intéressant a été manqué (capture d'un alevin d'origine marine par exemple) et de séparer les taxons les moins abondants. L'ensemble des prises « scannées » est ensuite pesé, puis seul un lot représentatif (une moitié, un quart, un tiers, etc. selon la densité) est à nouveau pesé puis traité comme précédemment indiqué. Un facteur multiplicatif (Poids total / poids trié) est par la suite appliqué afin d'estimer les abondances et les poids totaux capturés.

Les captures non identifiées sont soit photographiées et remises à l'eau, soit, si les individus sont déjà morts, conservés au frais pour être identifiés plus tard au laboratoire. Pour les juvéniles de muges et les gobies, des échantillons ont été prélevés les deux premières années d'échantillonnage tous les mois pour être génétiquement analysés à l'Institut des Sciences de l'Evolution de Montpellier (ISEM). Un premier stage de Master a permis de tester une méthode pour identifier génétiquement les différentes espèces de muges (Dubettier, 2021). Bien que les résultats soient prometteurs, davantage de recherches sont nécessaires pour être en mesure de dissocier efficacement les différentes espèces.

### Traitement des anguilles

L'encadré n°1 rappelle le cycle de vie de l'anguille européenne et ses différents stades de vie rencontrés en milieu lagunaire. En fonction du stade de vie, différentes mesures sont effectuées.

#### ENCADRÉ n°1 : CYCLE DE VIE DE L'ANGUILLE EUROPÉENNE

Après avoir parcouru plus de 6000 km depuis la zone de reproduction dans l'océan Atlantique, l'anguille européenne, au stade civelle (Figure 9), remonte les réseaux hydrographiques continentaux à la recherche d'un territoire pour s'établir et y grandir plusieurs années. Une majorité d'individus opteront pour les systèmes les plus côtiers tels que les lagunes et les estuaires, mais l'anguille peut s'installer dans une grande diversité de milieux aquatiques (rivière, marais, canaux, lacs, etc.), et ce jusqu'à plus de 1000m d'altitude en cas d'absence d'obstacles à sa migration. Munies d'un odorat très sensible, les civelles sont attirées depuis la mer par les panaches fluviaux ou tous autres déversements d'eau douce. Les civelles fraîchement arrivées de la mer sont complètement transparentes. Alors qu'elles commencent à se nourrir en milieu continental, elles se pigmentent plus ou moins rapidement en fonction de la température de l'eau (et potentiellement de la salinité), jusqu'à devenir anguillette.

Les anguillettes devenues anguilles jaunes restent grandir plusieurs années en milieu continental afin d'emmagasiner un maximum d'énergie pour repartir et aller se reproduire dans l'océan Atlantique. Lorsqu'elles sont prêtes, les anguilles jaunes se métamorphosent en anguilles

argentées, le dernier stade qui annonce l'imminence de leur retour en mer. Dans le système du Vaccarès, cette période de croissance dure en moyenne 2 à 3 ans pour les mâles, avec des individus qui mesurent en moyenne  $387 \pm 30$  mm pour une masse de  $107 \pm 29$  g, et 4 à 5 ans pour les femelles, avec des individus de  $618 \pm 75$  mm pour une masse de  $504 \pm 220$  g en moyenne (Acou et al., 2003; Bevacqua et al., 2006).

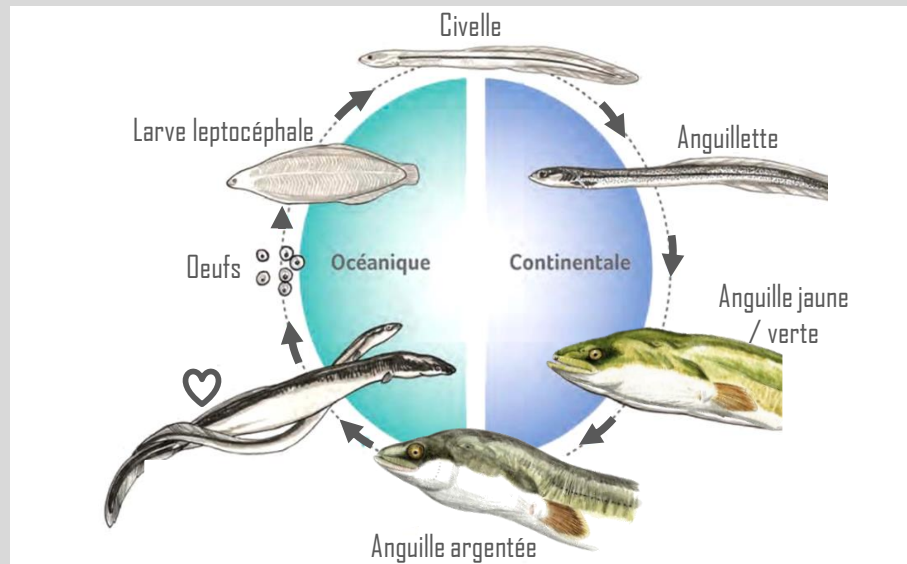


Figure 9 : Illustration du cycle de vie de l'anguille européenne. Source : Tour du Valat / Dessins : C. Girard

#### Stades de l'anguille européenne en milieu continental :

- **Civelle** : stade juvénile des anguilles non ou partiellement pigmentée
- **Anguilette** : stade juvénile des anguilles entièrement pigmenté et inférieur à 300mm
- **Anguille jaune ou verte** : individus supérieurs à 300 mm et non migrants. Le sexe des anguilles jaunes ne peut être déterminé avec certitude que par dissection.
- **Anguille argentée** : individus supérieurs à 300 mm et migrants.
  - ♂ Les anguilles argentées inférieures à 450 mm sont des mâles.
  - ♀ Les anguilles argentées supérieures à 550 mm sont des femelles.

#### Stade civelle

Par semaine de suivi, 50 civelles maximum par filet à civelles sont conservées vivantes au frais dans une glacière pour être ramenée au laboratoire et déterminer leur stade de pigmentation sous la loupe binoculaire. La vitesse de pigmentation dépend en partie de la température et de la salinité du milieu (Briand et al., 2004, 2005). L'identification des stades pigmentaires est ainsi une donnée importante pour estimer l'âge pigmentaire des civelles, les conditions environnementales qu'elles ont rencontré et donc renseigner la dynamique du recrutement. La première année (octobre 2016 – juin 2017), ce travail a été réalisé par l'association MRM. A partir de la deuxième année, le personnel de la Tour du Valat a effectué cette détermination. Chaque civelle est endormie avec une solution

anesthésiante à base d'isoeugénol. Elle est mesurée au millimètre près et pesée à 0,001g près avec une balance de haute précision. Si les prises sont supérieures à 50 individus, 6 lots de 30 civelles sont pesées afin de calculer un poids moyen par civelle et d'en déduire le nombre total pour le reste globalement pesé.

### **Stades anguillète, jaune et argenté**

Pour faciliter la manipulation des anguilles, les individus sont endormis avec un anesthésiant à l'eugénol, puis à partir de 2019 à la benzocaïne. Après manipulation, ils sont placés dans un bac de réveil équipé d'un aérateur et sont relâchés une fois réveillés.

Au moins 30 individus inférieurs à 300 mm sont mesurés et pesés individuellement par jour de relève. Pour les individus supérieurs à 300 mm, les mesures permettant de calculer l'indice Eelrep (Beaulaton, L. & Pénil, C., 2009) sont prises : la longueur totale, les diamètres horizontaux et verticaux des deux yeux et la longueur de la nageoire pectorale. Le poids est également relevé. La présence de la ligne latérale et d'un fort contraste de couleur latéral, permettant de confirmer l'argenture d'un individu, sont notés. L'état sanitaire extérieur de chaque anguille argenté est renseigné (Pénil, C. et al., 2011).

En cas de captures très élevées d'anguilles, lors de pics de dévalaison notamment, les mesures sont relevées pour au moins 30 individus par classe de taille (300-350 mm, 350-400 mm, 400-450 mm, > 450mm). Les anguilles sont ensuite triées par classe de taille et pesées en sous-lots dénombrés.

### **Traitement des crustacés décapodes**

Pour les crevettes grises (*Crangon crangon*) et les crabes, les mesures de taille et de poids sont également réalisées pour 30 individus une fois par station et par semaine de suivi, avec un minimum de 30 mesures de taille réalisées chaque jour. Chez les crevettes grises, la taille est mesurée de la pointe de la tête jusqu'à la pointe de la queue depuis janvier 2017. Les juvéniles de crevettes grises (<= 25 mm de longueur) sont distingués des adultes et la proportion des crevettes grises grainées est notée. Chez les crabes, la largeur céphalothoracique est mesurée au niveau des épines latérales, et le sexe et la présence d'œufs sont à chaque fois relevés.

Les crevettes blanches, de la famille des Palaemonidés, sont identifiées jusqu'à l'espèce pour les 3 lots de 30 individus maximum. Sur chacun de ces lots, il est noté le nombre de crevettes blanches avec le rostre cassé, déformé ou atypique (nombre de pointes anormales) ou/et avec des œufs.

### **Caractérisation de la diversité taxinomique et fonctionnelle**

La diversité taxinomique entre chaque station est comparée à partir du nombre de taxons observés globalement et par groupe fonctionnel relatif à leur cycle de vie (Tableau 3). Pour ces métriques de diversité, certains regroupements taxinomiques ont été réalisés afin d'éviter les biais liés aux erreurs d'identification. Les espèces de gobies *Pomatoschistus minutus*, *P. microps* et *P. marmoratus* sont regroupés en « Gobiidés ». Seule l'analyse génétique permet de différencier les espèces *P. microps* et *P. marmoratus* (Berrebi et al., 2005). Les espèces de muges, *Chelon ramada*, *C. aurata*, *C. saliens* et *Mugil cephalus*, qui sont très compliquées à différencier au stade juvénile, sont regroupés en « Mugilidés ».

Tableau 3 : Définitions des groupes fonctionnels relatifs au cycle de vie des espèces utilisés. (Adapté de Elliott et al., 2007; Franco et al., 2008; Nicolas, 2010).

Abréviation	Description
<b>Espèces marines</b>	
<b>MO</b>	Espèces marines occasionnelles qui se reproduisent en mer et entrent en nombre restreint dans les systèmes lagunaires. Elles sont le plus fréquemment observées dans les parties avales euryhalines
<b>MM</b>	Espèces marines migratrices, qui se reproduisent en mer et entrent régulièrement dans les lagunes en nombre important, plus particulièrement au stade juvénile. Ces espèces sont souvent euryhalines. Certaines dépendent pendant leur stade juvénile des lagunes, tandis que d'autres utilisent les lagunes de manière opportuniste.
<b>Espèces lagunaires</b>	
<b>LG</b>	Espèces lagunaires résidentes capable de réaliser la totalité de leur cycle de vie biologique en lagune. Certaines peuvent également être représentées par des populations marines discrètes.
<b>LG-M</b> 	Espèces lagunaires, qui se reproduisent en lagune et dont les femelles vont en mer pour l'éclosion de leurs œufs en larves pélagiques. Catégorie utilisée pour le crabe vert de Méditerranée ( <i>Carcinus aestuarii</i> ) et la crevette grise ( <i>Crangon crangon</i> )
<b>Espèces d'eau douce</b>	
<b>ED</b>	Espèces qui se reproduisent en eau douce, dont la distribution se limite aux parties dulçaquicoles des systèmes lagunaires.
<b>Espèces migratrices amphihalines</b>	
<b>CA</b> 	Espèces catadromes qui passent la totalité de leur vie trophique en eau douce et qui migrent ensuite en mer pour se reproduire. Cas de l'anguille européenne ( <i>Anguilla anguilla</i> ) et du flet ( <i>Platichthys flesus</i> ).
<b>AN</b> 	Espèces anadromes croissant en mer jusqu'à atteindre leur maturité et migrant dans les rivières où elles se reproduisent. Cas de l'aloise feinte du Rhône ( <i>Alosa fallax rhodanensis</i> ).

### Calcul des métriques biologiques

Une fois stockées dans une base Access, les données de pêche sont analysées sous R.

Les taxons sont tout d'abord traités en termes de présence-absence par station d'échantillonnage et par jour de relève de filets. Les captures totales en termes d'abondance et de biomasse, par taxon et globalement, par filet et par jour de relève sont ramenées à 24h d'effort de pêche et sont dénommées CPUE et BPUE respectivement :

**CPUE = Nombre total d'individus capturés\*24h/Temps de pose du filet (h)**

**BPUE = Biomasse totale (g) \* 24h/Temps de pose du filet (h)**

La présence et les variations mensuelles des CPUE et BPUE, par taxon et globalement, sont étudiées à l'aide de boîtes à moustache (*boxplot*). Afin de diminuer l'influence des quelques captures extrêmes en termes de densité ou de biomasse, une log-transformation ( $\text{Log}(x+1)$ ) est appliquée aux

CPUE et aux BPUE. A l'année, ce sont les CPUE et les BPUE moyennées par mois qui sont représentées.

Les spectres de taille par taxon peuvent être explorés graphiquement, à l'aide d'histogrammes ou de boxplots pour faciliter les comparaisons entre stations et mois. Les relations taille/poids sont vérifiées graphiquement, ce qui permet de corriger d'éventuels poids ou tailles anormaux.

L'index de condition de Fulton (K) peut être utilisé pour comparer la condition des individus entre les stations :

$$K = 100 * \text{Poids individuel (g)} / (\text{Longueur (cm)})^3$$

## Evaluation du degré de connectivité hydrobiologique

Le degré de connectivité à l'intérieur des EMSC est évalué dans le temps et l'espace à partir des patrons de distribution de 3 taxons présélectionnés (les athérines, les juvéniles de sole commune et les civelles) en termes de présence et d'abondance. Afin de valoriser les mesures en continues disponibles, une étude du franchissement est réalisée au niveau de quatre ouvrages de connexion clés. Enfin, l'influence des facteurs environnementaux sur certains indices de captures est testée à l'aide de modèles statistiques.

### Description des 3 taxons ciblés

- L'athérine (*Atherina boyeri/lagunae*) est une espèce euryhaline qui peut réaliser l'ensemble de son cycle de vie à l'intérieur des lagunes. Cette espèce est classée espèce résidente, bien qu'elle soit en réalité semi-sédentaire, pouvant également s'aventurer en mer (Kara & Quignard, 2018) ou en milieu d'eau douce (Rosecchi & Crivelli, 1995). La classification taxinomique des athérines est encore aujourd'hui source de débats entre spécialistes et il est possible que les individus correspondent à une ou plusieurs espèces (voir encadré n°2, Kara & Quignard, 2018a; Louisy, 2005). Dans tous les cas, les athérines ont une grande plasticité adaptative leur permettant de survivre dans des milieux très instables. Elles sont notamment capables de supporter de grandes variations de salinité (de 0 à 70g/L). Dans le cadre de notre étude, cette espèce est considérée sentinelle vis-à-vis des conditions de fortes salinités qui peuvent être rencontrées dans les EMSC. L'athérine est une espèce pélagique, s'orientant à la vue et ayant donc un comportement essentiellement diurne. Le sens des courants semble peu déterminant pour les déplacements de cette espèce qui a une bonne capacité de nage (Bardin & Pont, 2002). L'athérine est considérée apte à se déplacer dans des courants ayant une vitesse allant jusqu'à 1.5m/s, sachant qu'elle peut chercher à exploiter les courants à proximité des berges qui sont plus faibles.
- Les juvéniles de l'année (*Young of the Year, YOY*) de sole commune (*Solea solea*), espèce migratrice d'origine marine, colonisent les habitats côtiers (dont les lagunes) à partir de février-mars. Ces jeunes stades affectionnent particulièrement les fonds sablo-vaseux. La remontée dans le système de ces juvéniles peut être considérée comme un bon indicateur de connectivité hydroécologique. Seuls les individus de moins de 15 cm, considéré être arrivé entre février et juin de l'année dans le système, sont pris en compte dans nos analyses. Pour en savoir plus sur le cycle de vie de la sole commune, voir l'encadré n°3 ci-dessous. Les juvéniles de soles exploitent probablement le sens du courant (notamment en zone tidale) pour migrer en zone côtière et remonter les réseaux hydrographiques, en

alternant transport passif, lorsque le courant est rentrant, et enfouissement dans le sable ou transport actif, lorsque le courant est sortant.

- Les civelles (*Anguilla anguilla*), juvéniles de l'anguille européenne, espèce migratrice amphihaline d'origine marine, remontent les habitats côtiers et continentaux surtout d'avril à octobre avec des pics de recrutement en hiver. Les civelles sont surtout actives la nuit. Elles ne sont pas *a priori* attirées par les milieux hypersalins. Une surface juste humide (et faiblement inclinée) peut permettre leur passage. Les civelles cherchent en général à remonter le courant. Ayant une capacité de nage restreinte ( $0.5 \text{ m}\cdot\text{s}^{-1}$ ), la progression des civelles est limitée par les forts courants (Elie & Rochard, 1994; Harrison et al., 2014). Plus d'informations sur le cycle de vie de l'anguille Européenne sont disponibles dans l'encadré n°1 et sur ses voies de recrutement dans le delta de Camargue dans l'encadré n°4.

### Encadré n°2 : Le complexe *Atherina boyeri/lagunae* en Camargue

En Méditerranée, la présence de 4 espèces d'athérines est actuellement admise : *A. boyeri*, *A. punctata*, *A. lagunae*, *A. hepsetus*, et peut-être même *A. presbyter* (Kara & Quignard, 2018a). Les espèces *A. boyeri* et *A. punctata* sont considérées comme espèces marines et *A. lagunae* comme espèce lagunaire, bien qu'une population insulaire des îles Kerkennah en Tunisie se rapproche plus d'*A. lagunae* que des deux autres. Dans le cadre de notre étude, nous considérerons le cas de l'athérine comme le complexe *A. boyeri/lagunae*.

En Camargue, les athérines sont présentes toute l'année et se reproduisent de manière fragmentée (multiple) entre mars et juillet dans les eaux saumâtres de l'étang du Vaccarès ou entre avril et juin dans les eaux douces de canaux de drainage ou de marais temporaires (Poizat & Crivelli, 1997; Rosecchi & Crivelli, 1992, 1995). Pendant l'été, la plupart des athérines quittent les milieux d'eau douce pour rejoindre l'étang du Vaccarès (Rosecchi & Crivelli, 1992). Les athérines mâles et femelles, matures dès la première année, vivent le plus souvent 2 années mais peuvent atteindre un âge maximal de 4 ans (Rosecchi & Crivelli, 1992).

### ENCADRÉ n°3 : CYCLE DE VIE DE LA SOLE COMMUNE

La sole commune (*Solea solea*) est une espèce marine démersale, côtière et de fond sablo-vaseux, présente depuis le rivage jusqu'à 200 m de profondeur. Elle fréquente également les milieux saumâtres (estuaires, lagunes) et les juvéniles peuvent remonter jusqu'à la limite des eaux douces. Sa répartition dans le Golfe du Lion est certainement influencée par les apports rhodaniens, ses densités s'élevant à proximité de l'embouchure du fleuve (Gaertner et al., 1998; Sartor et al., 2002).

La sole commune se reproduit au large, entre décembre à mars dans le golfe du Lion, dans des zones de frayères (Figure 10). Les œufs pélagiques éclosent après 5 à 11 jours d'incubation en larves. Les larves pélagiques migrent de manière passive et active en direction de la côte. A proximité de la côte (au bout de 20 à 46 jours en Atlantique), les larves subissent une métamorphose et deviennent des alevins qui adoptent une vie benthique. Ces postlarves, inférieurs à 5 cm de longueur, colonisent les zones côtières de faibles profondeurs, les embouchures de fleuves et les lagunes côtières. Les juvéniles occupent ces nourriceries pendant toute la période estivale, jusqu'au mois d'août ou même jusqu'aux mois d'octobre-novembre avant de regagner la mer et les zones plus profondes. Les

individus les plus grands migrent en premiers alors que les plus petits ne repartent qu'au moment des tempêtes automnales et/ou des premiers froids (Kara & Quignard, 2018b). Les juvéniles de l'année ont alors une taille d'environ 20 à 25 cm. Au bout de 3 à 5 ans, ils rejoignent le stock reproducteur.

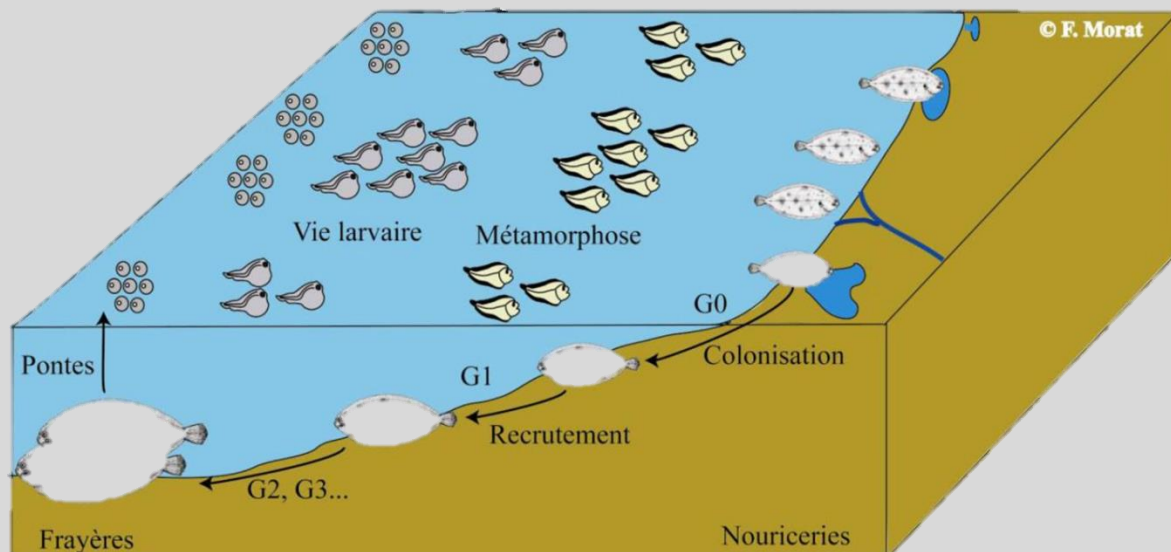


Figure 10 : Schéma illustrant le cycle de vie de la sole commune, *Solea solea*. (Morat, 2011a)

#### ENCADRÉ n°4 : Voies de migration de l'anguille européenne dans le delta de Camargue

Les civelles peuvent emprunter différentes voies de migration pour recruter dans l'hydrosystème du Vaccarès :

- à l'Ouest du delta au niveau de la commune des Saintes-Maries-de-la-Mer *via* le pertuis de la Fourcade, où le déversement des eaux de drainage et d'épuration de la station de l'éolienne créé un appel d'eau douce stimulant pour les civelles (A. J. Crivelli et al., 2008; Lefebvre et al., 2003). A cet endroit, une station piège à civelles est installée depuis 2004 afin de suivre d'octobre à avril le recrutement des civelles dans le système. Ce suivi est assuré par l'association MRM (Migrateurs Rhône-Méditerranée). Les résultats obtenus à cette station constituent un référentiel pour les captures réalisées dans les EMSC.

- Plus à l'Est du delta *via* les différentes brèches dans les digues du front de mer qui se créent désormais au gré des tempêtes et les connexions temporaires occasionnées lors des coups de mer. Les civelles qui pénètrent la partie du système à l'Est du grau de la Comtesse (une connexion à la mer autrefois quasi permanente) peuvent chercher à rejoindre l'étang du Vaccarès en remontant les EMSC.

- D'autres voies de passage existent *via* les systèmes de pompage qui sont positionnés tout le long des deux bras endigués du Rhône (A. J. Crivelli & Poizat, 2001; Poizat et al., 1999).

La dévalaison des anguilles s'effectue pour la majorité des individus à l'automne, plus particulièrement lors des crues ou, en milieu lacustre ou lagunaire, lors d'épisodes météorologiques qui entraînent une augmentation des niveaux d'eau (Trancart et al., 2017). Pour les anguilles

argentées du delta de Camargue, deux voies de sortie s'offrent à elles : *via* le pertuis de la Fourcade ou *via* le pertuis de la Comtesse et les EMSC.

### Etude du franchissement de 4 ouvrages de connexion

Le franchissement d'un ouvrage pour un taxon donné est stipulé ici dépendre de la température de l'eau, de la salinité, de la hauteur d'eau au sein de l'ouvrage, de la vitesse et du sens du courant. Par taxon, des seuils pour chacun de ces paramètres sont déterminés en se basant sur les informations trouvées dans la littérature (Tableau 4). En fonction de la biologie du taxon considéré, différentes périodes de l'année et les heures de jour et/ou de nuit sont ciblées.

Notons que cette étude de franchissement est montrée à titre indicatif et reste tout à fait théorique. En effet, la vitesse de nage des individus est très dépendante de leur taille, mais peut également varier en fonction de la température et de la condition de l'individu. Les vitesses de courant utilisées dans cette approche représentent des valeurs moyennes pour la totalité de la colonne d'eau. Or, en fonction de la rugosité du substrat de fond et de la configuration des berges, les vitesses de courant au plus près des bords peuvent être fortement diminuées. Par conséquent, pour un fort courant donné, il est possible que certains individus continuent à se déplacer en exploitant les couches d'eau les plus limitrophes. Enfin, les seuils de tolérance utilisés pour les taxons ont été recherchés dans la littérature, en tentant de se rapprocher au mieux des stades de vie juvéniles, mais ces informations restent difficiles à trouver. Ce sont donc des approximations générales qui ont été le plus souvent appliquées, notamment pour les gammes de tolérance à la salinité et à la température, ainsi que pour la hauteur d'eau.

**Tableau 4 : Seuils utilisés pour déterminer le franchissement des ouvrages pour les 3 taxons présélectionnés déterminés à partir des informations trouvées dans la littérature (Bardin & Pont, 2002; A. Crivelli, 2001; Kara & Quignard, 2018a).**

	Athérines	Juveniles de sole commune	Civelles
Salinité (g/L)	0-70	3-50	0-40
Température (°C)	5-30	5-30	5-30
Hauteur (cm)	2	2	0.1
Vitesse du courant sortant (m/s)	0-1.5	0-1.5	0-0.7
Vitesse du courant rentrant (m/s)	0-1.5	non limitant	non limitant
Jour/Nuit	Jour	Jour-Nuit	Nuit
Période de l'année	Toute l'année	Février - Juillet	Octobre - Avril

Le franchissement est caractérisé d'un point de vue théorique de janvier 2016 à Mai 2021 pour les 4 ouvrages de connexion suivants (Figure 11) :

- Le pertuis de la Comtesse (COMT), un ouvrage composé de plusieurs martelières ;
- l'ouvrage entre les étangs du Galabert et du Tampan (GA-TAMP), constitué de deux buses accolées et d'une martelière ;
- depuis l'automne 2019, le nouvel ouvrage créé entre les étangs du Galabert et du Tampan (GA-TAMP2) pendant l'été 2019 ([Annexe 3](#) et Figure 12) ;
- l'ouvrage entre les étangs du Vaisseau et du Pourtour du Rascaillan 2 (BDC-VSN-PRT2), qui correspond à une martelière. Cet ouvrage est considéré uniquement jusqu'en août 2019, une grande ouverture libre ayant été artificiellement créé entre ces 2 étangs en septembre

2019 permettant une connexion permanente et rendant les calculs d'échanges hydrologiques non pertinents.

Ces quatre ouvrages ont été sélectionnés car ils se situent sur la voie de cheminement entre la mer et l'étang du Vaccarès. De plus, tous les 4 sont équipés de sondes de mesures qui enregistrent en continu le niveau d'eau, la température et la salinité. A partir des variations de niveaux d'eau et d'une loi d'ouvrage, les débits, les vitesses de courant et la hauteur d'eau au sein de l'ouvrage sont estimées (voir § Données hydrologiques et physico-chimiques).

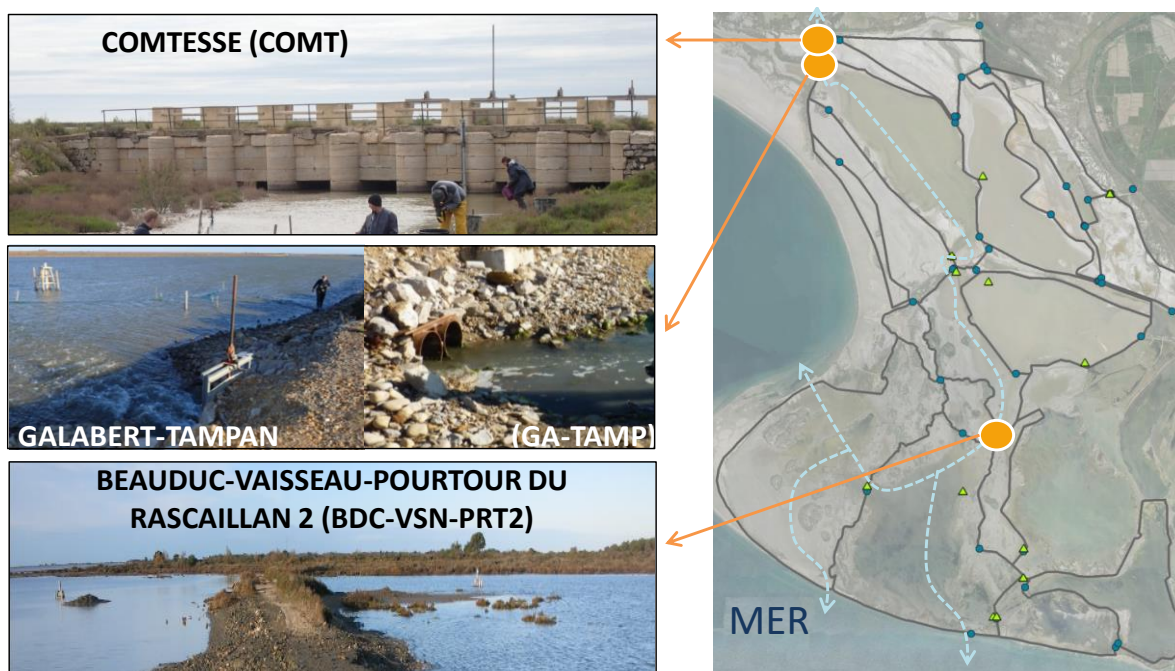


Figure 11 : Localisation et illustrations des 3 ouvrages de connexions pris en considération dans l'étude du franchissement jusqu'à l'été 2019. Photographies © D. Nicolas, G. Wasse.

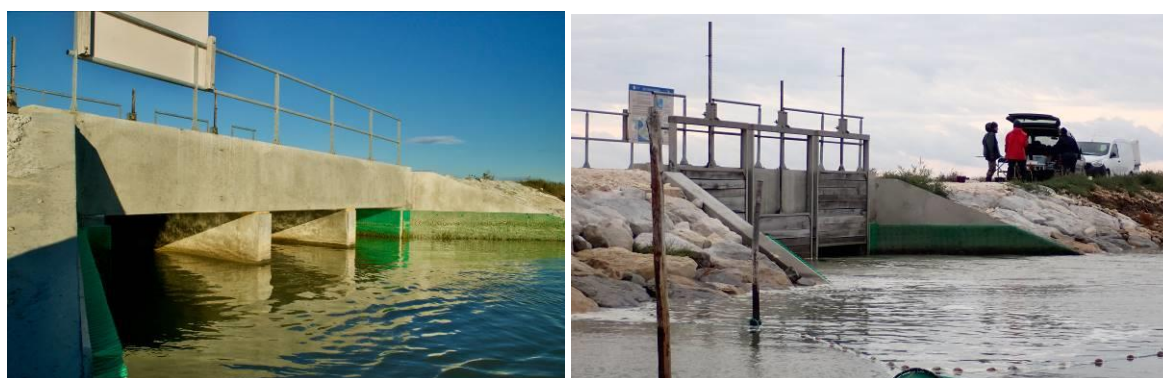


Figure 12 : Photographies du nouvel ouvrage créé durant l'été 2019 entre les étangs du Galabert et du Tampan © C. Bouchard, D.Nicolas

Par pas de temps horaire, le franchissement d'un ouvrage pour un taxon donné est déterminé de la façon qui suit (Figure 13) :

- Le franchissement est estimé favorable lorsque tous les paramètres mesurés sont compris dans les intervalles de valeurs favorables à la survie et au déplacement des individus
- Si une condition n'est pas remplie, alors le franchissement est jugé impossible.

- Si une valeur est manquante, le franchissement reste indéterminé, puisqu'il ne peut pas être évalué.

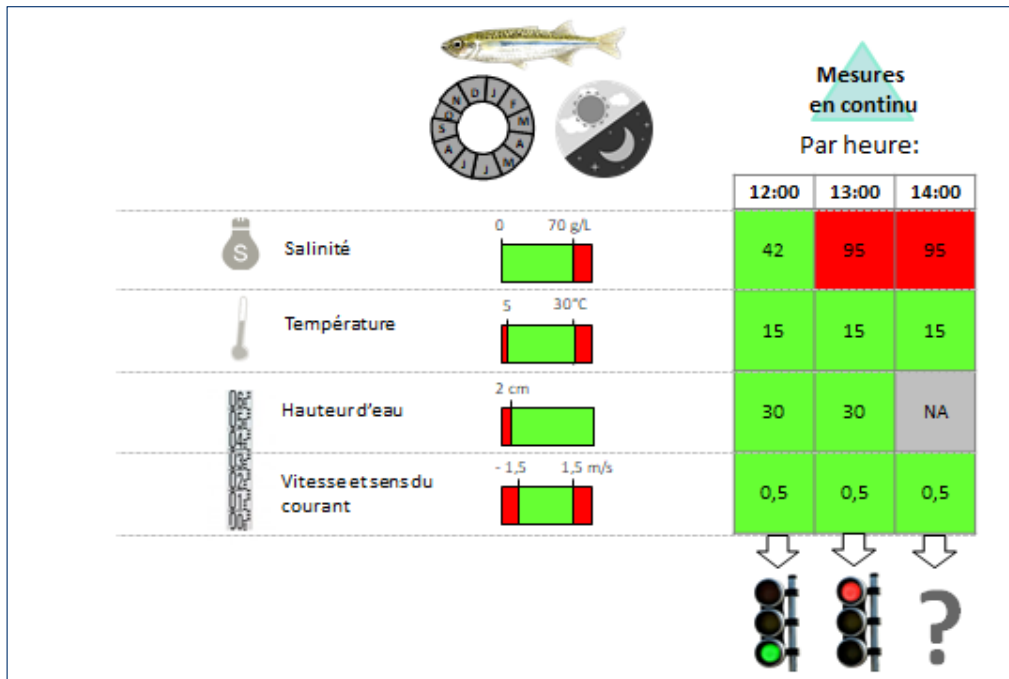


Figure 13 : Illustration explicative de la méthode de caractérisation pour le franchissement d'un ouvrage à partir de mesures hydrologiques et physico-chimiques continues. Ici l'exemple des athérines est utilisé.

Afin d'identifier les paramètres qui sont les plus limitants, la proportion relative du nombre de fois où un paramètre est favorable ou non au franchissement du taxon ciblé est calculé par mois, en tenant compte uniquement des périodes où l'ensemble des données sont disponibles. Lorsque la hauteur d'eau est nulle, une vérification des données est effectuée afin de savoir s'il s'agit d'une fermeture d'ouvrage ou d'un assèchement de la zone. Lorsque la hauteur est nulle, les données de débits, de température et de conductivité peuvent être manquantes, surtout si la zone est asséchée, puisqu'il n'y a pas suffisamment d'eau pour effectuer des mesures. Dans ce cas, la hauteur d'eau est considérée comme le facteur limitant et les autres variables comme facteurs non limitants (même si elles sont manquantes).

### Test de l'influence de paramètres abiotiques sur la présence et l'abondance de taxons présélectionnés

L'influence de paramètres environnementaux sur les taxons présélectionnés, en termes de présence-absence et de densité, est testée à l'aide de modèles linéaires généralisés (*glm*) sous le logiciel *R*. Les variables dépendantes de présence-absence sont modélisées à l'aide de modèles binomiaux (avec une fonction lien de type *logit*). Des tests graphiques préliminaires sur la distribution des données de densités montrent que la loi Gamma, applicable qu'aux données positives, est la mieux adaptée pour modéliser les CPUE log-transformées ( $\log(CPUE+1)$ ). Ainsi, les CPUE positives ( $CPUE^*$ ), sans tenir compte des valeurs nulles, sont modélisées avec des modèles Gamma utilisant la fonction de lien *Log*.

Dans les modèles sont testés des variables relatives au protocole d'échantillonnage, telles que la station d'échantillonnage, le mois ou l'année de suivi, afin d'évaluer les variabilités spatiales et temporelles. D'autres variables relatives à la physico-chimie ou à l'hydrologie peuvent expliquer, au

moins en partie, ces mêmes variabilités spatiales et/ou temporelles. Les modèles développés peuvent s'écrire ainsi :

$$\text{Indices biotiques} = X_1 + \dots + X_i + \dots + X_n$$

Où  $X_i$  correspond aux covariables ou facteurs abiotiques testés et sélectionnés.

Chaque descripteur est dans un premier temps testé individuellement dans les modèles. La meilleure combinaison de descripteurs proposée est sélectionnée à partir d'analyses de variance (test du Chi2 dans le cas des modèles binomiaux et test de Fisher dans le cas des modèles Gamma, au seuil de probabilité de 5%), du critère d'information d'Akaike (AIC), de la part de déviance expliquée, de la pertinence écologique et de l'analyse graphique des résidus. L'effet des variables explicatives continues sur les indices biotiques testés sont caractérisés à l'aide des coefficients de pente correspondants. Uniquement dans le cas des modèles des indices de CPUE+, la fonction *poly()* est appliquée aux variables continues afin de tester des relations non linéaires au deuxième degré. Dans le cas des variables facteurs, les modalités sont ordonnées en fonction de leur coefficient et les différences entre les modalités sont vérifiées à l'aide d'un test de *Student* (au seuil de 5%).

## Résultats & Discussion

### Variabilité interannuelle et saisonnière des conditions météorologiques

Les EMSC bénéficient d'un climat méditerranéen, avec une période estivale chaude et très sèche. Les autres saisons sont plus humides avec notamment des précipitations qui se concentrent au printemps et à l'automne (Figure 14). L'année 2017 fut marquée par un printemps plus chaud que les autres années et par un automne plus frais avec un déficit hydrique très marqué (Figure 15). Les plus faibles températures et le déficit hydrique observées pendant l'automne 2017 s'expliquent par des vents qui furent essentiellement de secteur Nord (mistral) en comparaison avec les autres années ([Annexe 5](#), Figure A5-67), ainsi que par un manque de précipitations remarquable (Figure 15). L'année 2018 fut une année particulièrement douce et humide en comparaison avec les autres années, notamment à l'automne (Figure 15). L'automne 2019 fut également plus chaud et légèrement humide que les autres années. L'année 2020 se démarque avec un hiver particulièrement doux.

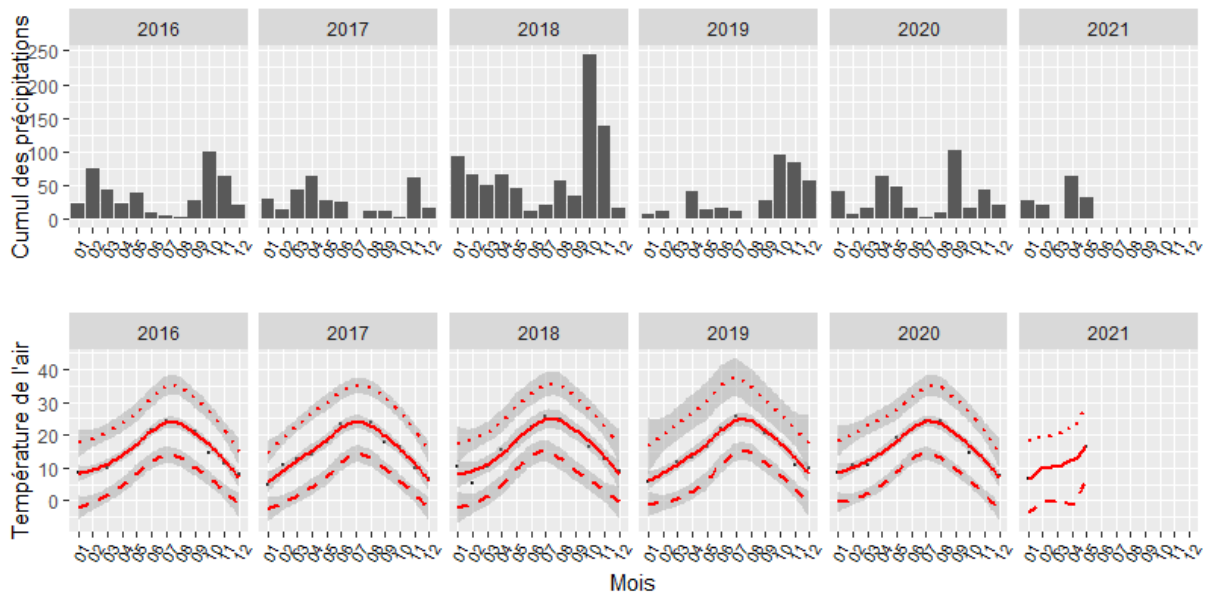


Figure 14 : Cumul des précipitations (mm), en haut, et température de l'air, en bas. En rouge, la ligne continue correspond à la moyenne mensuelle, en pointillés au maximum mensuel et en tirés au minimum. Source des données : station météorologique de la Tour du Valat.

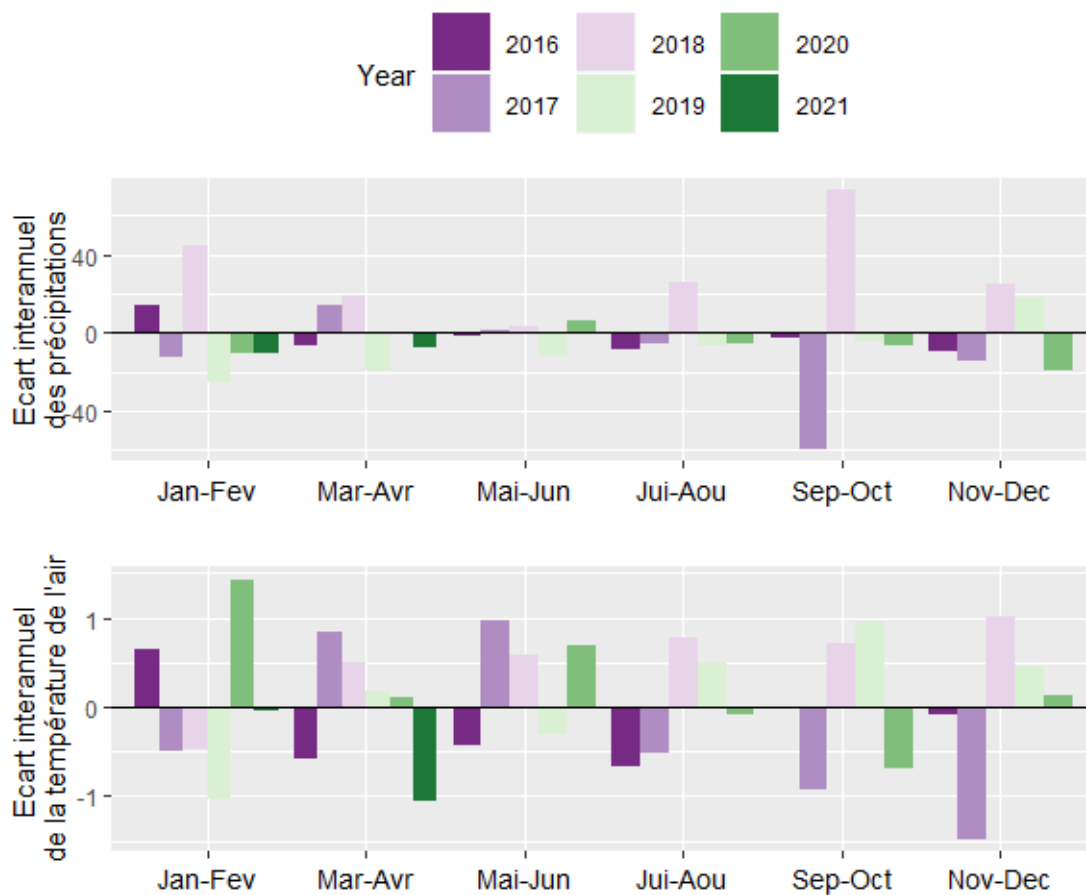


Figure 15 : Différences entre les moyennes mensuelles et les moyennes interannuelles par mois des précipitations cumulées, en haut, et de la température de l'air, en bas, pour la période de Janvier 2016 à Mai 2020.

## Variabilité spatio-temporelle des conditions hydrologiques et physico-chimiques

### Niveaux d'eau et salinité des étangs

Les EMSC présentent les plus faibles niveaux d'eau de l'année pendant la période estivale, du fait d'une forte exposition au soleil et d'importants taux d'évaporation (Figure 16) (Boutron et al., 2021). Les étangs les plus au Sud (Ste Anne, Beauduc, Vaisseau), au plus proche de connexions permanentes avec la mer, ont des niveaux d'eau permettant une circulation hydrobiologique permanente, au moins dans leurs chenaux. Alors qu'à cette période, l'étang du Tampan, situé plus au Nord et étant très peu profond est quasiment asséché. Ce déficit hydrique estival s'est étendu à la saison de l'automne en 2017, en raison d'une sécheresse marquée (Figure 15), et s'est plus particulièrement ressenti sur les étangs du Galabert et du Tampan et du chenal de la Comtesse.

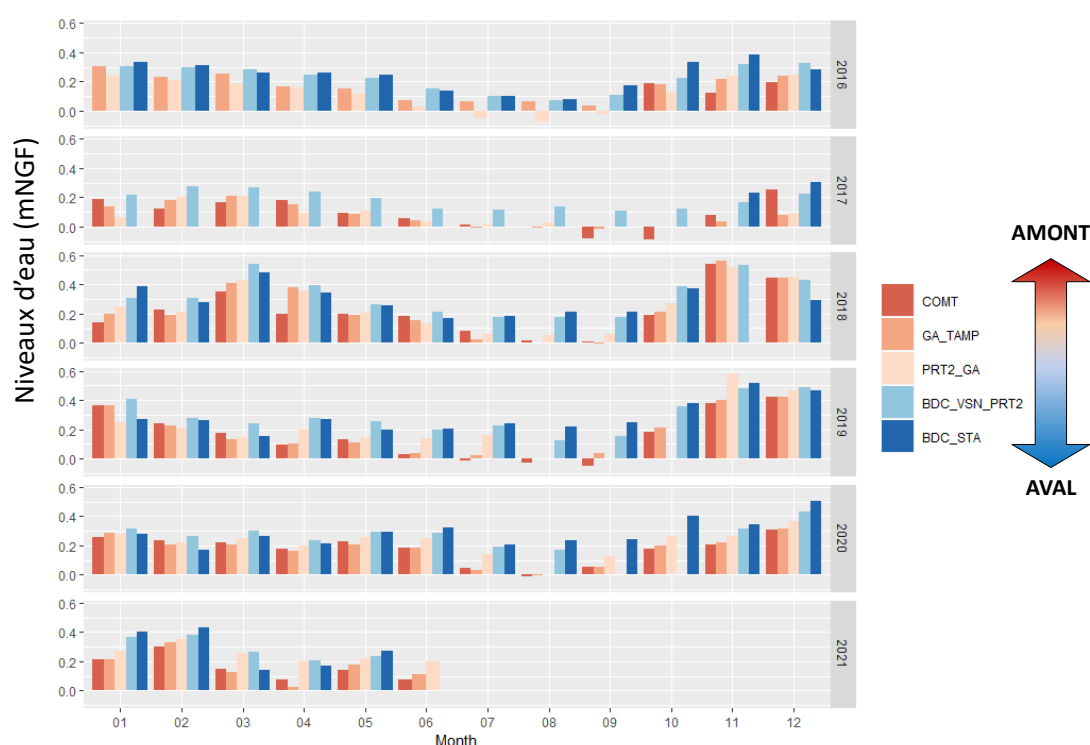


Figure 16 : Moyennes mensuelles des niveaux d'eau mesurés en continu ou manuellement en différents points du système. Les données pour l'ouvrage de la Comtesse sont disponibles qu'à partir d'octobre 2016. Les données pour l'ouvrage entre les étangs de Beauduc et de Sainte Anne sont indisponibles une large partie de l'année 2017.

Lors des périodes de sécheresse, la salinité des étangs peu profonds augmente drastiquement, ce qui est très visible au niveau de l'étang du Galabert, surtout en 2017 (Figure 17). Les conditions d'hypersalinité (salinité > 50g/L) apparaissent chaque année au moins de juillet à octobre dans cet étang. L'intensité des pics d'hypersalinité tend néanmoins à diminuer avec les années, notamment en 2018 et en 2020. Les plus faibles valeurs de salinité en 2018 peuvent s'expliquer par les précipitations plus abondantes cette année-là. En 2019, la zone des étangs du Galabert et du Tampan a été artificiellement maintenue à un niveau d'eau faible pour faciliter la construction du nouvel ouvrage entre ces deux étangs, ce qui explique en partie la forte remontée du sel. En 2020, la diminution des pics de salinité peut être expliquée par une amélioration des échanges hydrologiques

du fait de ce nouvel ouvrage ainsi que des échanges plus importants avec les étangs situés plus au Sud.

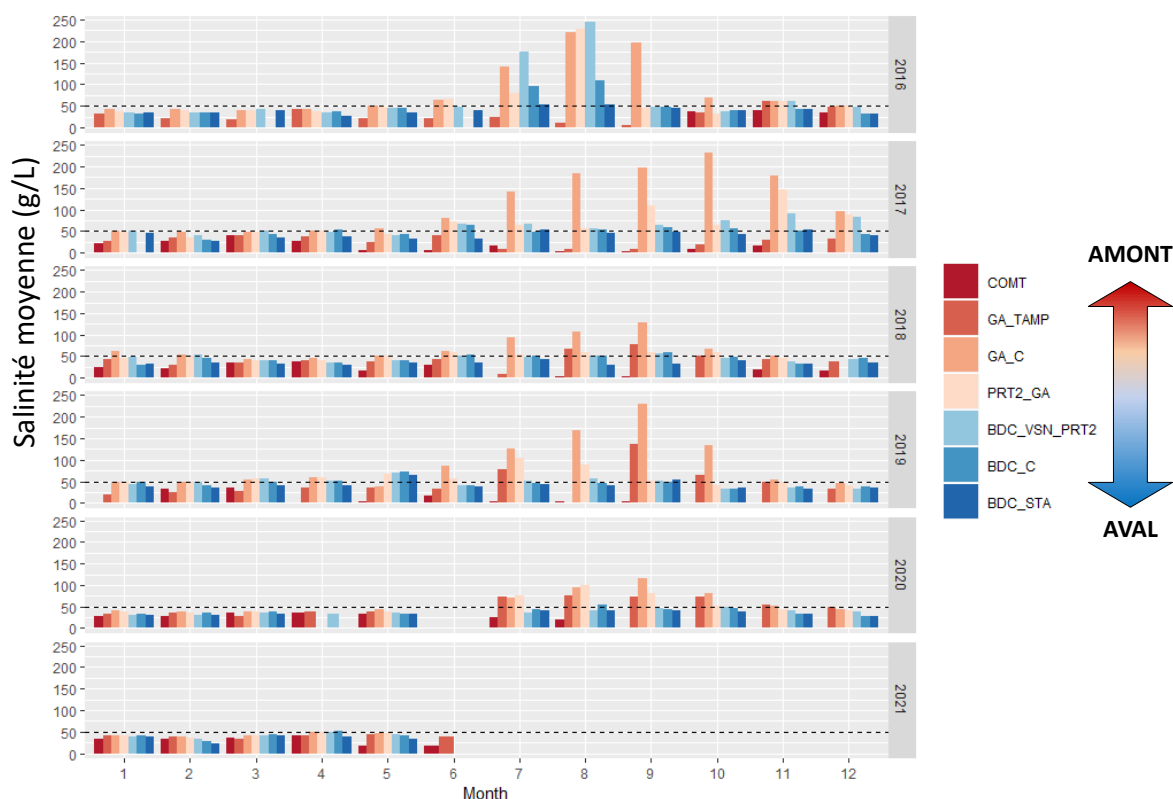


Figure 17 : Moyennes mensuelles des salinités mesurées en continu ou manuellement en différents points du système. Dame=étang de la Dame (RNNC/SNPN) ; COMT = chenal de la Comtesse ; GA\_TAMP = connexion entre les étangs du Tampan et du Galabert 2 ; GA\_C = Centre Nord de l'étang du Galabert 2 ; PRT2\_GA = connexion entre le Pourtour du Rascaillan et l'étang du Galabert 2 ; BDC\_VSN\_PRT2 = Connexion entre les étangs de Beauduc, Vaisseau et Pourtour du Rascaillan ; BDC\_C = Centre de l'étang de Beauduc ; BDC\_STA = connexion entre les étangs de Beauduc et de Ste-Anne. A noter que lorsque les niveaux sont très bas ou nuls, les mesures de conductivité ne sont pas disponibles.

### Mesures continues sur les 3 ouvrages de connexion ciblés

L'analyse en composante principale réalisée ci-dessous considère uniquement les données mesurées en continu sur les 3 ouvrages de connexion présélectionnés, positionnés sur le chemin de connexion entre la mer et l'étang du Vaccarès *via* les EMSC depuis le démarrage de l'étude (le nouvel ouvrage entre les étangs du Galabert et du Tampan est ici exclu, Figure 11 et Figure 18). Cette analyse met en évidence des hauteurs d'eau et des échanges hydrologiques plus élevés ainsi que des salinités plus faibles au niveau de l'ouvrage de la Comtesse qu'aux deux autres ouvrages. Le chenal de la Comtesse est en effet plus profond (jusqu'à 2m de hauteur d'eau) et en permanence en eau. Il s'agit de la porte d'entrée vers l'hydrosystème du Vaccarès au cœur de la réserve nationale de Camargue. Cette station, influencée par les eaux saumâtres de l'étang du Vaccarès lorsque le courant est sortant ou par les eaux douces du canal du Versadou lorsque le courant est rentrant, notamment en période estivale, présente des salinités plus douces qu'aux deux autres ouvrages.

Au niveau de la connexion entre les étangs du Tampan et du Galabert, les hauteurs d'eau les plus faibles et les salinités les plus élevées y sont enregistrées. De 2016 à l'été 2019, ces deux étangs étaient connectés *via* un ouvrage constitué de deux buses d'un diamètre d'environ 50 cm, ce qui

limitait les échanges hydrologiques, en comparaison avec l’ouvrage de la Comtesse. Suite à l’assèchement artificiel de la zone durant l’été 2019 et à la création du nouvel ouvrage, les niveaux d’eau y ont rapidement remonté dès octobre 2019. La présence de ce nouvel ouvrage à proximité de l’ancien ne permet pas de voir de nouvelles conditions significativement contrastées en 2020.

La hauteur d’eau au niveau de l’ouvrage du Vaisseau-Pourtour du Rascaillan est très faible. Cette analyse suggère que les courants y sont très faibles. Cependant, l’analyse réalisée sur les données horaires met en évidence, une plus haute fréquence de courants entrants ou sortants ([Annexe 5](#), Figure A5-68). Les étangs à proximité de cette connexion ont de grandes surfaces. Sous l’influence du vent, de grands volumes d’eau sont mis en mouvement ce qui se traduit, au niveau des connexions étroites, par de très forts courants. Les reverses de courants peuvent être très fréquentes, et même avoir lieu plusieurs fois par heure. Ainsi, la moyenne des variables débits et vitesses ne rend ici pas bien compte de leur forte variabilité.

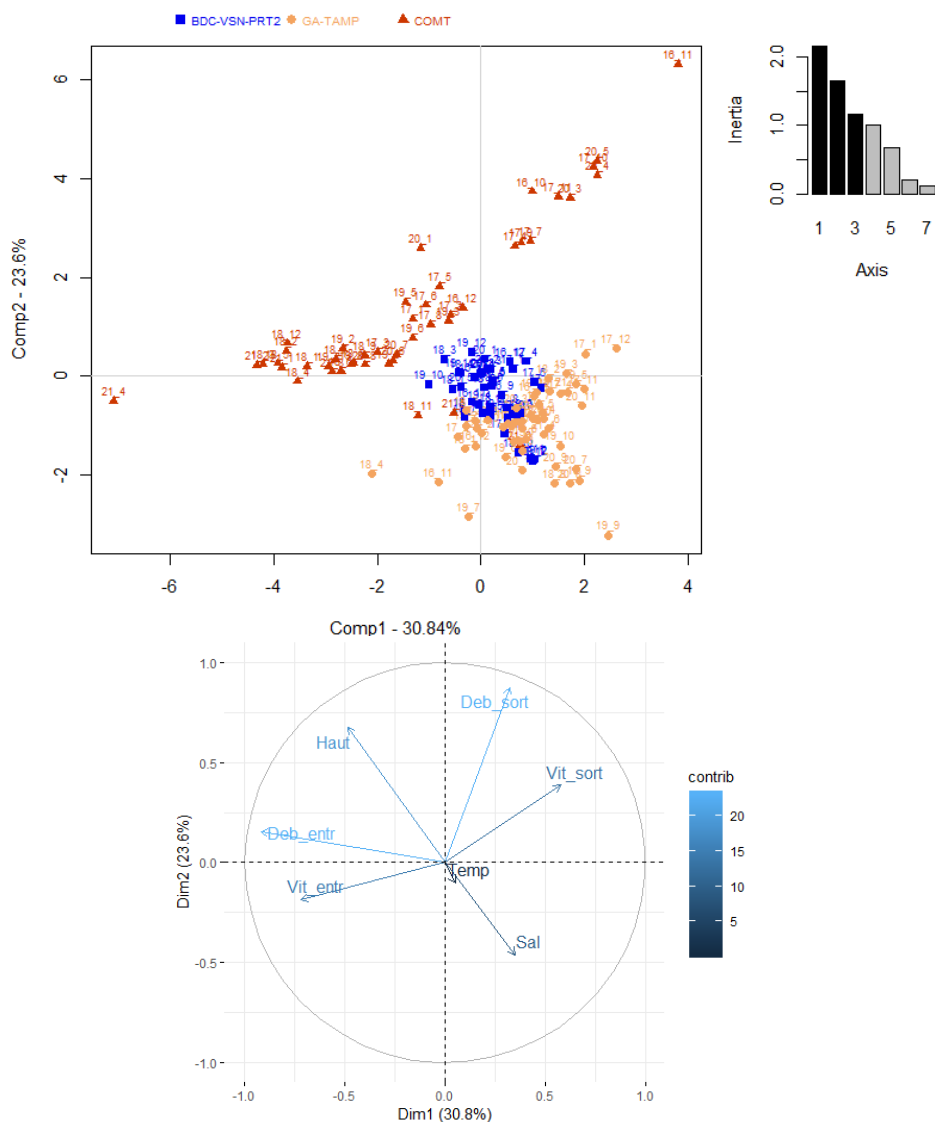


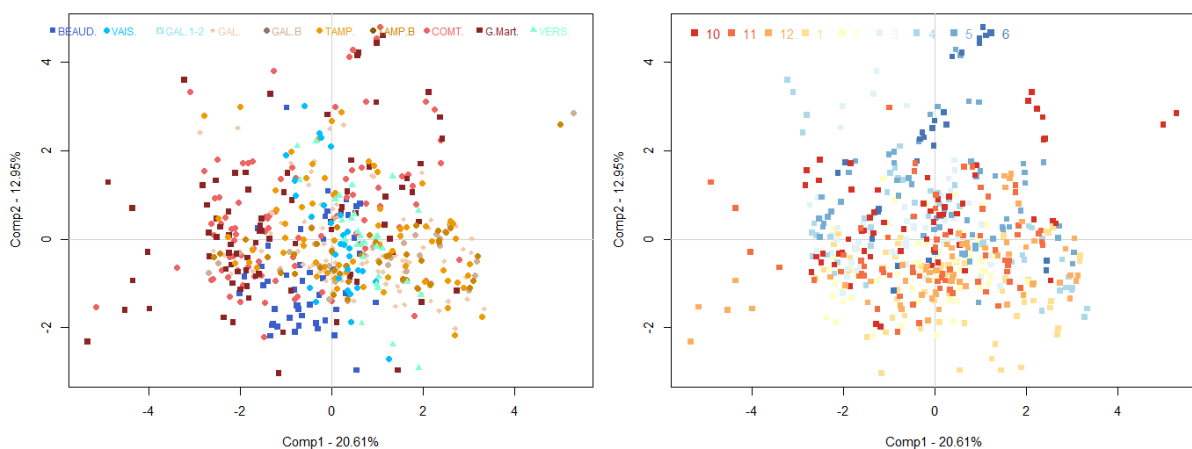
Figure 18 : Premier plan factoriel d’une ACP normée réalisées sur les moyennes mensuelles des variables hydrologiques et physico-chimiques mesurées en continu sur 3 ouvrages de connexion : Beauduc-Vaisseau-Pourtour du Rascaillan (BDC\_VSN\_PRT2), Galabert-Tampan (GA\_TAMP) et Comtesse (COMT). En haut, plan des individus (Site\_Année\_Mois, les étiquettes correspondent à l’Année\_Mois), en haut à droite, éboulis des valeurs propres, en bas, cercle de corrélations des variables.

## Exploration des variables explicatives abiotiques continues

Les variables environnementales permettant de caractériser les conditions abiotiques pendant les heures de pose des filets sont ici explorées. Au total, 757 jours-stations d'échantillonnages valides sont considérées. Les variables utilisées pour caractériser la physico-chimie de l'eau sont basées sur les mesures manuelles complétées par les données continues afin de limiter le manque de données. La prise en compte des données hydrologiques continues (vitesse du courant, débit et hauteur d'eau) conduit à éliminer 231 jours-stations d'échantillonnage, dont la totalité des jours de pêche réalisés à la station du Galabert 1-2, qui n'est pas équipée de sondes de chaque côté de l'ouvrage. La pression atmosphérique n'ayant pas pu être acquise pour les deux dernières années de suivi, cette variable a été omise de cette exploration.

L'analyse des corrélations a conduit à pré-sélectionner 13 variables continues ou semi-quantitatives qui ne sont pas ou peu corrélées (voir en [Annexe 5](#), Figure A5-69 à Figure A5-71). La température de l'air qui est largement positivement corrélée avec la température de l'eau ( $r=0.90$ ,  $p<0.001$ ) a été éliminée. Les deux variables de spatialisation sont également très corrélées ( $r=0.83$ ,  $p<0.001$ ) et c'est la distance à la mer qui tient compte des connexions intermittentes à la mer qui a été préférée à celle considérant uniquement les connexions permanentes. Notons, qu'en moindre mesure, les variables débit et vitesse rentrants sont positivement corrélées ( $r=0.61$ ,  $p<0.001$ ), tandis que la distance à la mer tenant compte des connexions intermittentes est négativement liée au niveau d'eau ( $r=-0.56$ ,  $p<0.001$ ). Les étangs les plus centraux et éloignés des connexions intermittentes ou permanentes sont en effet les moins profonds.

L'ACP réalisée sur les 13 variables retenues révèle une structuration peu marquée des données (Figure 19). Le long du premier axe principal (20.6% d'inertie totale expliquée) s'exprime une structuration en fonction de la station d'échantillonnage, qui dépend essentiellement de la force et du sens du courant. Le long du deuxième axe (13% d'inertie expliquée), un effet saisonnier se dénote avec des eaux globalement plus fraîches pendant les mois d'hiver, lorsque le vent du Nord souffle généralement le plus. Le troisième axe (12.3% d'inertie expliquée) reflète la spatialisation des sites, avec, d'une part, la station de Beauduc au plus près de la mer et des niveaux d'eau globalement plus élevés, et d'autre part, les stations à proximité de l'ouvrage de la Comtesse.



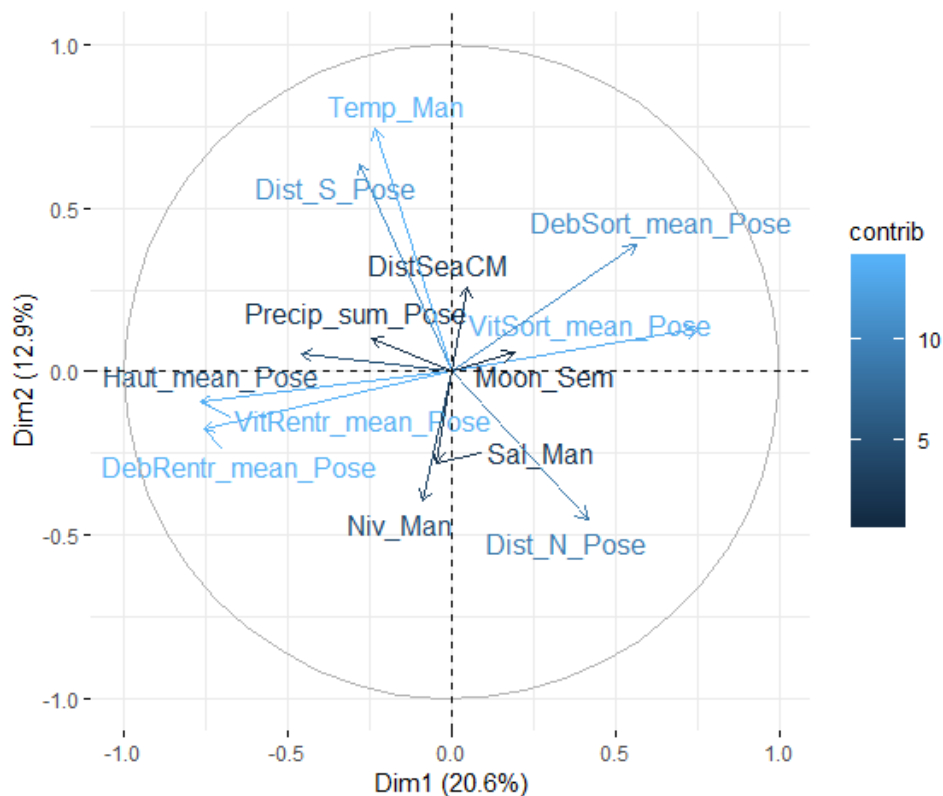


Figure 19 : Premier plan factoriel d'une ACP normée réalisées sur les moyennes mensuelles des variables météorologiques, hydrologiques et physico-chimiques associées au temps de pose des filets, par station d'échantillonnage. En Haut à droite, les individus sont colorés en fonction de la station, en haut au milieu, en fonction du mois. En haut à gauche, l'éboullis des valeurs propres est représenté et en bas, le cercle de corrélations des variables intégrées dans l'analyse.

## Effort de pêche

Au total, 1231 relèves, dont 533 relèves de filets DCE et 698 relèves de filets à civelles, sur les 1462 théoriquement prévues ont été réalisés et sont valides (soit un taux de validité global de 84.2%, Tableau 5 et Figure 20). Les relèves invalides correspondent à des filets décalés ou torsadés en raison de forts courants, d'un manque d'eau empêchant le filet de pêcher correctement ou d'une inaccessibilité à la station d'échantillonnage. Les filets non posés en raison d'un manque d'eau ne sont pas pris en considération dans ces calculs (ôtés des filets programmés).

Tableau 5 : Récapitulatif du nombre de relèves de filets prévues, réalisées et valides par station et type d'engin.

Station	Programmés		Réalisés et valides		Pourcentage de validité	
	DCE	CIV	DCE	CIV	DCE	CIV
BEAUDUC	90	92	84	84	93.33	91.30
COMTESSE	119	119	106	104	89.08	87.39
GALABERT	19	111	15	98	78.95	88.29
GALABERT_B	12	40	10	37	83.33	92.50
GALABERT1-2	46	74	36	51	78.26	68.92
GAZE DU MARTEAU	91	0	82	0	90.11	
TAMPAN	92	120	82	115	89.13	95.83
TAMPAN_B	16	40	0	40	0.00	100.00
VAISSEAU	58	107	26	50	44.83	46.73
VERSADOU	96	120	92	119	95.83	99.17

La station la plus problématique fut la station du Vaisseau, avec un taux de validité de seulement 46% d'octobre 2016 à février 2018. Plusieurs épisodes de pluie (janvier et décembre 2017, et mars à juin 2018) ont rendu à plusieurs reprises la digue d'accès au site d'échantillonnage impraticable. De plus, de forts courants y ont fréquemment empêché la pose ou le maintien des filets. À partir d'avril 2018, cette station a été abandonnée au profit de la station du Galabert Sud (Galabert 1-2). À cette station, la pose des filets a également été compliquée en raison des forts courants rencontrés mais fut par tous temps accessible, d'où un taux de validité globalement meilleur (72.5%).

Malgré les courants parfois très élevés, les filets des stations du chenal de la Comtesse et de la Gaze du Marteau ont plutôt bien tenu (taux de validité de 88.2 et 90.1 %, respectivement). La station du Versadou, plus abritée, a connu le moins de soucis (97.7% de validité).

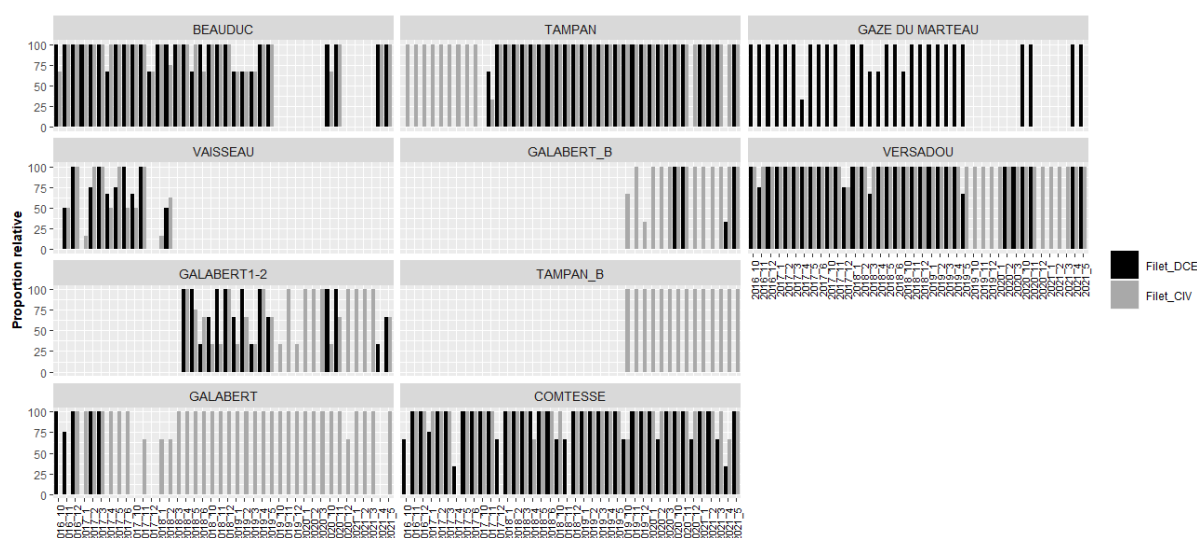


Figure 20 : Pourcentage de relèves valides par rapport au nombre de relèves prévues initialement, par station d'échantillonnage et par année de suivi.

## Comparaison en termes d'abondance du peuplement piscicole et du peuplement carcinologique

Au cours d'une campagne de pêche, les densités de captures peuvent être très variables (Figure 21). Globalement<sup>2</sup>, pour les mois d'octobre-novembre et avril-mai, la station du chenal de la Comtesse présente les densités moyennes les plus élevées de poissons (moyenne  $\pm$  intervalle de confiance à 95%,  $151 \pm 66.8 \text{ ind.h}^{-1}$  vs  $65.6 \pm 18.6 \text{ ind.h}^{-1}$  pour les autres stations) et de crustacés décapodes ( $275.3 \pm 142.7 \text{ ind.h}^{-1}$  vs  $82.5 \pm 28.9 \text{ ind.h}^{-1}$ , Figure 21). La profondeur de ce chenal (plus d'1m50 au pied de l'ouvrage), sa mise en eau permanente et ses courants (rarement nuls) contribuent certainement à cette plus grande attractivité pour la macrofaune aquatique. Les années de suivi 2016-2017 et 2018-2019, les captures furent globalement plus élevées aux stations les plus amont : Comtesse, Gaze du Marteau et Versadou, à l'automne pour les poissons ( $253 \pm 94.4 \text{ ind.h}^{-1}$ ) et les crustacés ( $200.2 \pm 95.7 \text{ ind.h}^{-1}$ ), et au printemps seulement pour les crustacés ( $246.4 \pm 183.3$

<sup>2</sup> Sans tenir compte de l'année de suivi 2019-2020 pendant laquelle uniquement les densités de civelles ont été relevées.

ind.h<sup>-1</sup> au printemps 2017 et encore davantage avec 663.9 ± 300.2 ind.h<sup>-1</sup> au printemps 2019, vs pour les poissons respectivement 36.8 ± 46.8 ind.h<sup>-1</sup> et 64.6 ± 33.4 ind.h<sup>-1</sup>). Les apports d'eau douce (précipitations et eaux de drainage du Versadou) ont sans doute contribué à ces proliférations.

A l'inverse, les stations localisées le plus au cœur des EMSC (Vaisseau, Galabert 1-2 et Galabert B) présentent les densités de poissons et de crustacés décapodes les plus faibles, surtout à l'automne (en moyenne 17.5 ± 16.0 ind.h<sup>-1</sup> de poissons et 0.7 ± 0.4 ind.h<sup>-1</sup> de crustacés). L'hypersalinité, peu favorable à la survie de la macrofaune aquatique, reste encore élevée à ces stations plusieurs mois après la période estivale, et explique ces faibles abondances. Néanmoins, dès que les conditions de salinité s'améliorent, le peuplement semble rapidement recoloniser les étangs. Ainsi, au printemps 2019, la station du Galabert 1-2 montre une nette augmentation de ses captures (110.4 ± 90.2 ind.h<sup>-1</sup> de poissons et 16.2 ± 16.5 ind.h<sup>-1</sup> de crustacés). Et pour sa seule année de suivi avec un filet DCE (2020-2021), les captures dans l'étang du Galabert (B) apparaissent relativement élevées au printemps (en moyenne 42.0 ± 48.8 ind.h<sup>-1</sup> de poissons et 37.0 ± 21.8 ind.h<sup>-1</sup> de crustacés), en comparaison avec les autres stations (Figure 21).

A la station de Beauduc, les poissons sont en moyenne plus abondants que les crustacés les deux premières années de suivis (en moyenne 59.3 ± 38.8 vs 4.3 ± 2.5 ind.h<sup>-1</sup>). Aux automnes 2018 et 2019, cette tendance s'inverse radicalement (respectivement 8.2 ± 4.7 vs 34.4 ± 20.8 ind.h<sup>-1</sup>). Durant ces campagnes de pêche, de très fortes abondances de crabes verts de Méditerranée ont été capturées. Les crabes ont certainement prédaté une large partie des petits poissons, mais également des poissons de taille moyenne, des arrêtes ayant été régulièrement retrouvées.

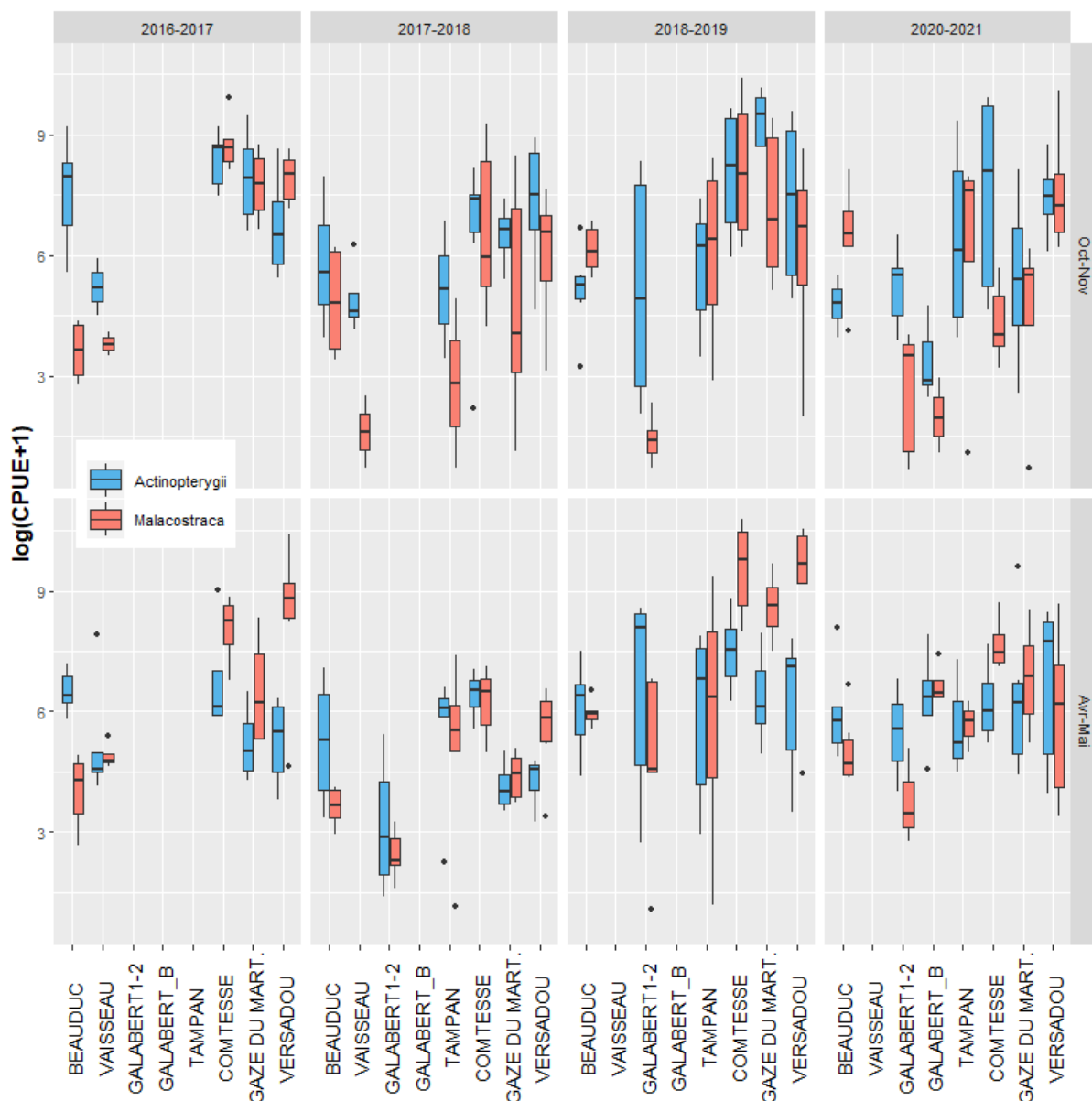


Figure 21 : Moyennes mensuelles des densités (CPUE) standardisées par l'effort de pêche et log-transformées obtenu dans les filets DCE, par station d'échantillonnage et par année de suivi pour les périodes octobre-novembre et avril-mai. Les poissons (classe des Actinoptérygiens, en bleu) sont dissociés des décapodes crustacés (classe des Malacostracés, en rouge). La station du Vaisseau est représentée à titre indicatif pour l'année 2017-2018 car seulement 3 campagnes de pêche (octobre et novembre 2017 et février 2018) y ont eu lieu.

## Diversités spécifique et fonctionnelle

La liste des taxons observés par station est indiquée en [Annexe 6](#) (Tableau A6-13). Globalement, les filets de 4mm de maille capturent une plus grande diversité de taxons que les filets à civelles (1.5mm de maille, Tableau 6). Les différences en nombre de taxons observés entre les deux types d'engin de pêche sont davantage prononcées aux stations de Beauduc, de la Comtesse et du Versadou. Aux stations les plus centrales (Vaisseau, Galabert 1-2 et Galabert), ces différences s'estompent ; ce sont les stations les moins diversifiées et, également, où les poses de filets DCE furent les plus compliquées.

**Tableau 6 : Nombre total de taxons piscicoles capturés par station et par type d'engins pendant les 5 années de suivis. Les chiffres grisés correspondent à des échantillonnages très incomplets.**

Station	Nb total de taxons filets DCE	Nb total de taxons filets CIV
BEAUDUC	32	12
VAISSEAU	9	9
GALABERT1-2	7	8
GALABERT	5	10
GALABERT_B	5	5
TAMPAN	14	11
TAMPAN_B	/	6
COMTESSE	21	12
GAZE DU MARTEAU	12	/
VERSADOU	23	13

Une structuration du peuplement piscicole en fonction d'un gradient de salinité s'établit entre l'aval, la station de Beauduc au plus près du front de mer, et l'amont, le canal du Versadou régulièrement alimenté en eau douce ou faiblement saumâtre en provenance du Rhône (Figure 22 et Figure 23). Alors que les espèces lagunaires, les espèces marines migratrices et l'anguille sont représentées sur l'ensemble des stations, les espèces marines occasionnelles sont uniquement observées à la station de Beauduc et les espèces d'eau douce à la station du Versadou et aux stations situées à proximité (Comtesse, Gaze du Marteau et Tampan).

Globalement, la station de Beauduc est la station la plus diversifiée avec un total de 32 taxons observés, dont 14 taxons marins occasionnels. Ces captures sont influencées par la proximité du front de mer et l'effacement de sa digue qui favorise de plus en plus l'entrée d'individus d'origine marine. Toutefois, ces espèces, non dépendantes des systèmes côtiers et non adaptées aux fortes variations de salinité, n'y sont observées que de manière très sporadique (Figure 25 et Figure 26).

A l'opposé, parmi les 23 taxons identifiés dans le canal du Versadou, 14 sont des espèces d'eau douce. Ces espèces dulçaquicoles dominent le peuplement du canal surtout à l'automne (Figure 22, Figure 25 et Figure 26). Le peuplement de ce canal est très dépendant du pompage des eaux de drainage et de la connexion avec l'ouvrage de la Comtesse. Les quelques captures de jeunes individus d'alose feinte du Rhône, une espèce amphihaline anadrome qui se reproduit en amont du Rhône, en juin (non montré ici) confirme l'existence de connexions hydrobiologiques depuis le Rhône *via* le réseau d'irrigation et de drainage (réseaux mal séparés dans la partie aval du sous-bassin versant du Japon) jusque dans le canal du Versadou.

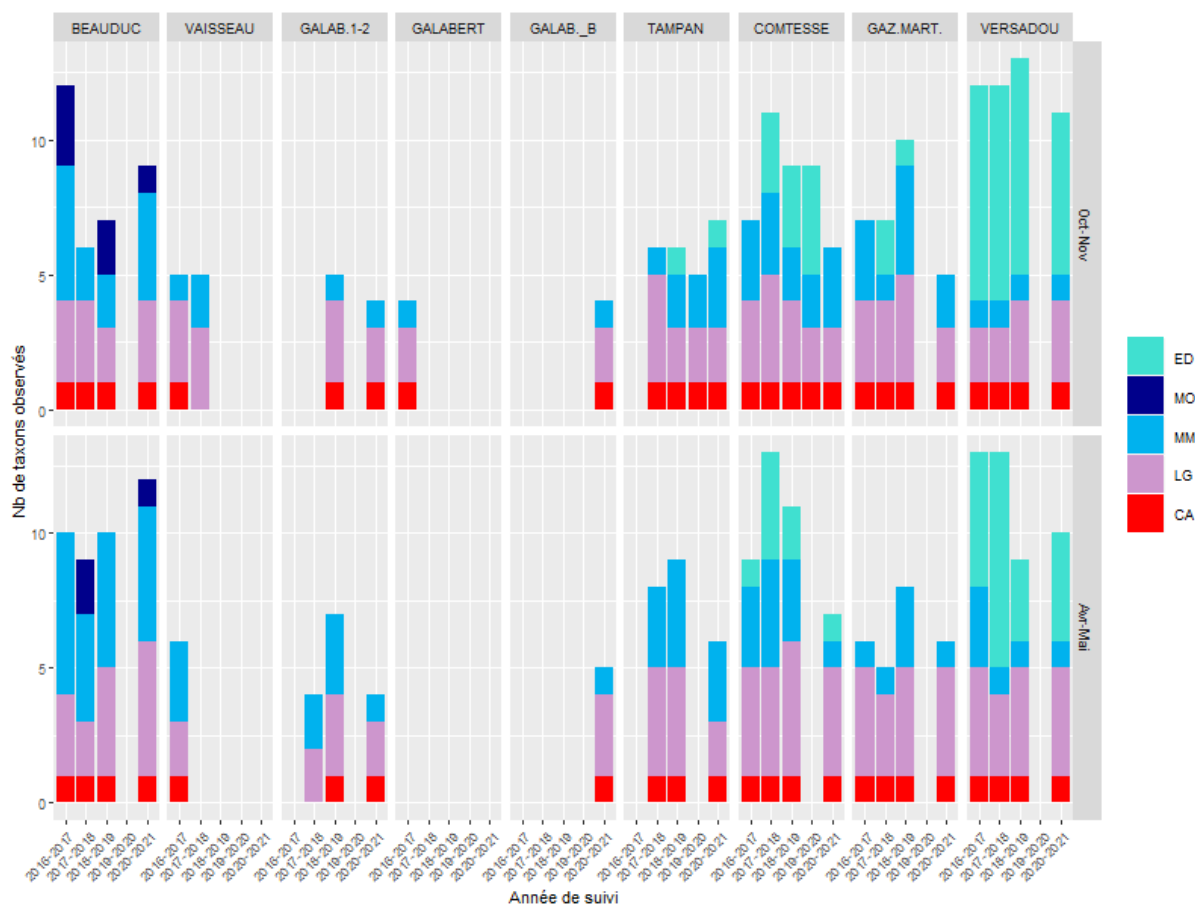


Figure 22 : Nombre de taxons piscicoles observés dans les filets ‘DCE’ par station, par année de suivi, pour les périodes octobre-novembre et avril-mai et par groupe fonctionnel relatif au cycle de vie. Les espèces de Mugilidés et de Gobiidés ont été regroupés au niveau de la famille afin d’éviter les biais potentiels liés aux erreurs d’identification. ED = Dulçaquicole ; MO = Marin occasionnel ; MM = Marin migrateur ; LG = Lagunaire ; CA = Catadrome.

Eloignées du front de mer et non influencées par le canal du Versadou, les stations du Vaisseau, du Galabert 1-2 et du Galabert sont les stations le plus souvent les moins diversifiées. Comme à toutes les autres stations, les groupes fonctionnels adaptés aux milieux fluctuants y sont retrouvés : les espèces lagunaires, les espèces marines migratrices et l’anguille. À la station du Galabert, les captures des filets à civelles montrent une augmentation du nombre de taxon au cours des trois premières années de suivi, pendant chacune des trois saisons suivies (Figure 23).

Le plus grand nombre d’espèces lagunaires a été observé à la station de Beauduc, avec l’observation unique de deux espèces : le gobie noir (*Gobius niger*) et le gobie paganelle (*Gobius paganellus*). A toutes les stations, ont largement été observées l’athérine (*Atherina boyeri*), le gobie buhotte (*Pomatoschistus microps*), le gobie tacheté (*P. minutus*), le syngnathe des lagunes (*Syngnathus abaster*) et l’épinoche à 3 épines (*Gasterosteus aculeatus*). En termes de densités, les espèces lagunaires sont les espèces mieux représentées à toutes les stations, sauf à la station du canal du Versadou (Figure 25).

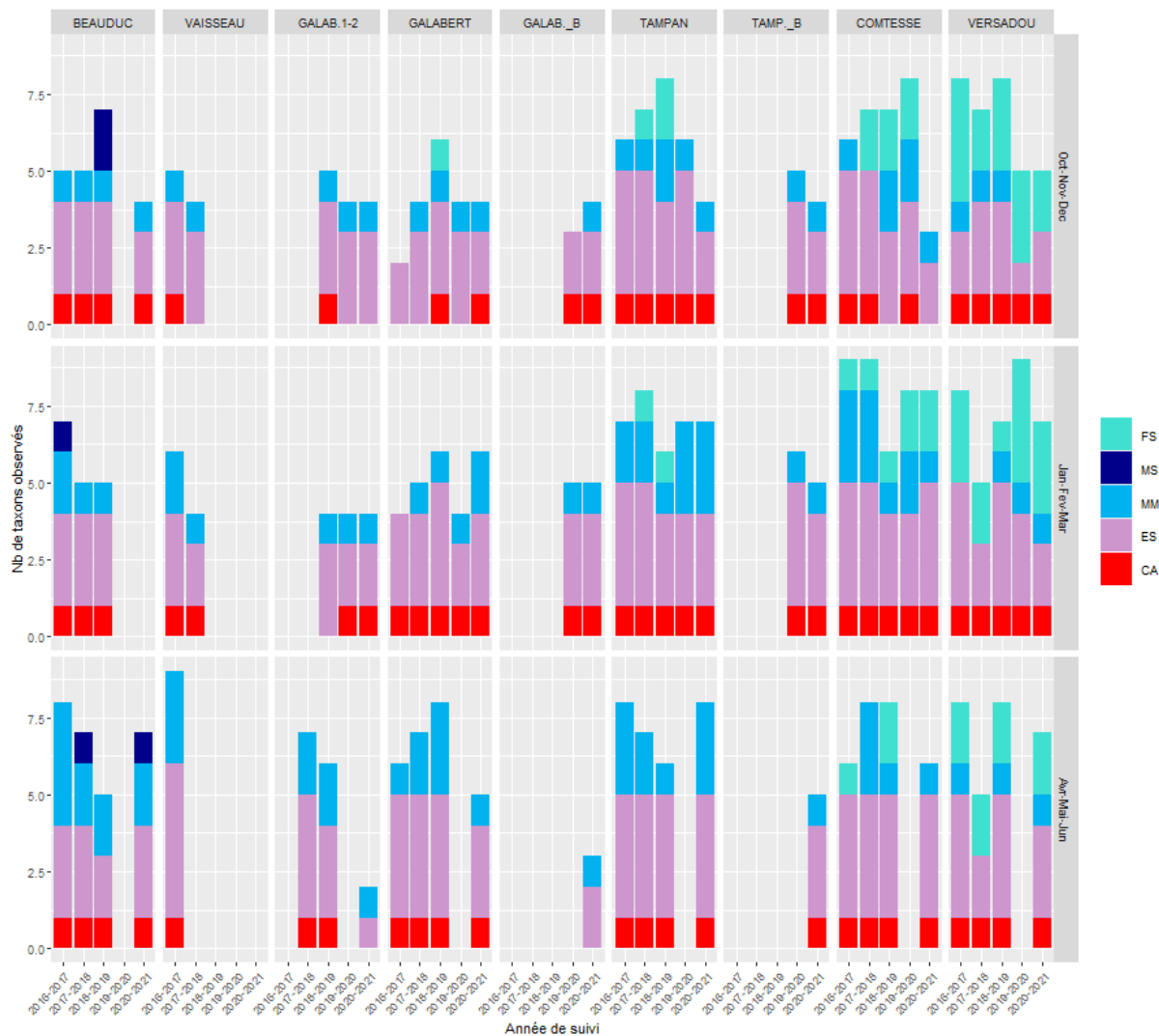


Figure 23 : Nombre de taxons piscicoles observés dans les filets à civelles par station, par année de suivi, par saison et par groupe fonctionnel relatif au cycle de vie. Les espèces de Mugilidés et de Gobiidés ont été regroupés au niveau de la famille afin d'éviter les biais potentiels liés aux erreurs d'identification. Les années de suivis 2018-2019 (octobre à mai) et 2019-2020 (octobre à mars) sont incomplètes par rapport aux deux premières années (octobre à juin). FS = Dulçaquicole ; MS = Marin occasionnel ; MM = Marin migrateur ; ES = Lagunaire ; CA = Catadrome.

C'est à la station de Beauduc que les espèces marines migratrices sont les plus diversifiées, avec notamment l'observation de quelques juvéniles de sar commun (*Diplodus sargus*), de saupe (*Sarpa salpa*) et de barbue (*Scophthalmus rhombus*, Figure 24). Des juvéniles de muges du type *Chelon sp.*, qui peuvent potentiellement correspondre à 3 espèces (*Chelon ramada*, *C. aurata* et *C. saliens*) et de mullet à grosse tête (*Mugil cephalus*) ont été observés à toutes les stations. D'intéressants signaux de colonisation depuis la mer ont également été obtenus pour la dorade royale (*Sparus aurata*), le bar européen (*Dicentrarchus labrax*) et la sole commune (*Solea solea*), bien que ces juvéniles aient toujours été notés absents au moins à l'une des stations les plus centrales. En termes de densités, les espèces marines migratrices sont en moyenne plus abondantes aux stations de Beauduc, du Vaisseau, du Galabert 1-2 et de la Comtesse qu'aux autres stations.



Figure 24 : Photographies de quelques juvéniles de poissons d'origine marine capturés à la station de Beauduc : barbue (*Scophthalmus rhombus*, ©DNS), mérou brun (*Epinephelus marginatus*, ©DNS), sar commun (*Diplodus sargus*, © S. Hilaire), blennie trigloïde (*Lipophrys trigloides*, ©DNS) et bar européen (*Dicentrarchus labrax*, ©S. Hilaire)

Les Figure 25 et Figure 26 mettent en évidence les fortes fluctuations saisonnières du peuplement piscicole entre les stations et les années, en termes de densités et de biomasses.

L'anguille, espèce catadrome, est bien représentée à toutes les stations, avec des densités et des biomasses en moyenne plus faibles aux stations du Vaisseau et du Galabert 1-2 (en moyenne  $0.07 \pm 0.03$  vs  $1.6 \pm 0.6$  ind.h<sup>-1</sup> pour les autres stations, Figure 25). De fortes biomasses d'anguilles ont été observées aux stations de la Gaze du Marteau et de la Comtesse durant les deux années de suivi 2017-2018 et 2018-2019 ( $2.5 \pm 2.0$  ind.h<sup>-1</sup>). Les plus fortes biomasses d'anguilles ont été observées en novembre 2017 aux stations de la Gaze du marteau et de la Comtesse ( $12.2 \pm 10.0$  ind.h<sup>-1</sup>). Ces anguilles étaient en grande majorité des anguilles argentées cherchant une sortie vers la mer.

Une autre espèce catadrome a été observée à la station de Beauduc en juin 2018 : il s'agit du flet (*Platichthys flesus*), dont deux juvéniles ont été capturés. Le flet était régulièrement capturé dans les eaux saumâtres du système Vaccarès jusque dans les années 2000s. Au cours de notre suivi, le flet n'a pas été rencontré aux autres stations d'échantillonnage, mais pendant l'hiver 2018, le pêcheur Michel Bénézet a capturé un individu à l'Est de l'étang du Vaccarès. Il est encore prématuré de parler d'un retour de cette espèce.

Au niveau du nouvel ouvrage de connexion construit entre les étangs du Galabert et du Tampan, les nouveaux filets à civelles placés pour les deux dernières années de suivi apparaissent moins efficaces que les filets à civelles placés de part et d'autre de l'ancien ouvrage. En effet, régulièrement, un nombre supérieur de 2 ou 3 taxons est observé aux stations les plus anciennes (Figure 23). Le nouvel ouvrage étant plus large que l'ancien, les filets sont moins efficaces pour barrer la totalité de la connexion. De plus, lorsque les courants sont élevés, les filets à civelle ont tendance à flotter et à ne plus barrer la totalité de la colonne d'eau.

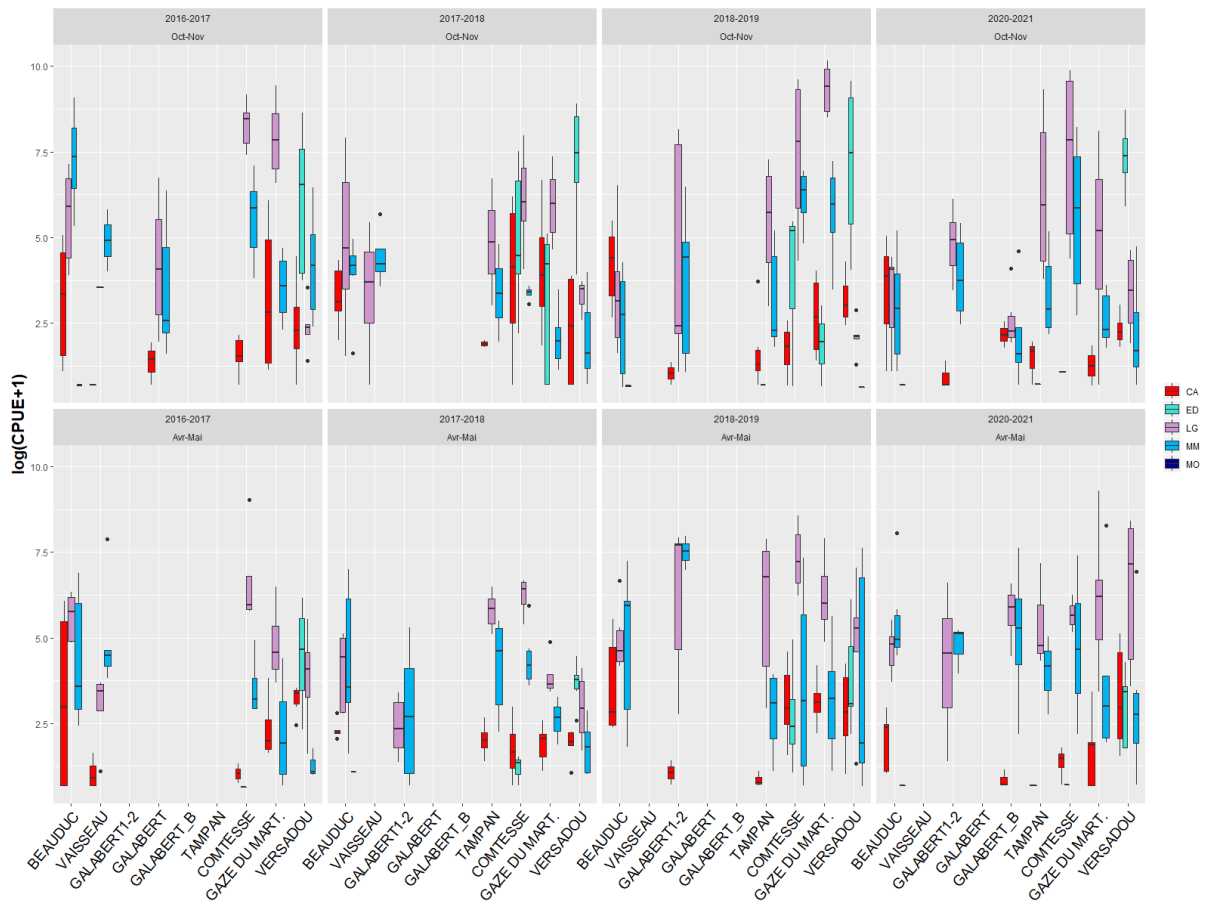


Figure 25 : Abondance standardisées par groupe fonctionnel relatif au cycle de vie, par station et par trimestre pendant les 3 années de suivi d’octobre à mai. Seules les captures des filets traités en entier (filet DCE) sont ici considérées. Les espèces de Mugilidés et de Gobiidés ont été regroupés au niveau de la famille afin d’éviter les biais potentiels liés aux erreurs d’identification.

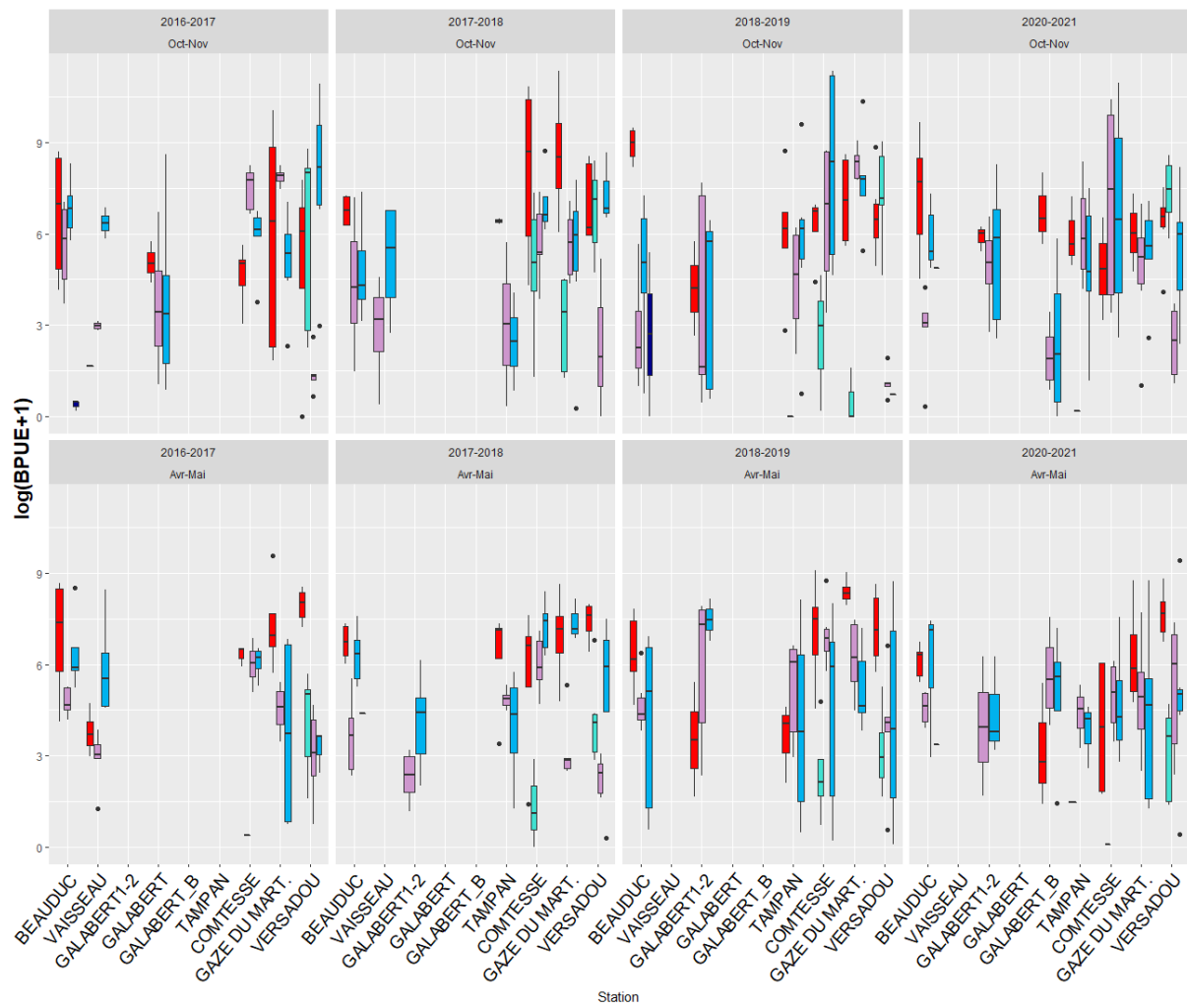


Figure 26 : Biomasse moyenne mensuelle standardisée par groupe fonctionnel relatif au cycle de vie, par station et par trimestre pendant les 3 années de suivi d'octobre à mai. Seules les captures des filets traités en entier (filets DCE) sont ici considérées. Les espèces de Mugilidés et de Gobiidés ont été regroupés au niveau de la famille afin d'éviter les biais potentiels liés aux erreurs d'identification.

## L'athérine des lagunes, espèce euryhaline

### Présence et abondance spatio-temporelles

En tant qu'espèces lagunaires euryhalines, les athérines (*A. boyeri/lagunae*) sont attendues présentes dans l'ensemble de l'hydrosystème du Vaccarès tout au long de l'année (Kara & Quignard, 2018a). Durant les campagnes de pêche, les athérines sont effectivement présentes à quasiment toutes les stations une majorité des mois échantillonnés (Figure 27), en représentant en moyenne  $13.7 \pm 3.0$  % du nombre d'individus capturés. Les athérines sont le plus souvent absentes ou en faibles densités à la station du Versadou, station le plus souvent caractérisée par de l'eau douce (Figure 27 et Figure 28). Lors des deux premières années de suivi, les athérines sont souvent notées absentes des stations du Galabert et, en moindre mesure, du Tampan (Figure 27). La présence des athérines est bien plus régulière pendant l'année 2018-2019, semblant indiquer une amélioration des conditions de circulation dans les EMSC. Une amélioration qui ne perdure pas en 2019-2020, où les athérines sont de nouveau très peu présentes aux stations du Galabert 1-2, du Galabert, et du Galabert\_B. Cette année de suivi, moins de filets DCE ont été posés et les captures autres que les civelles n'ont été traitées qu'en présence-absence. La dissociation des captures par type d'engins ne permet pas de conclure que l'absence de filets DCE explique ces faibles détections d'athérines. L'assèchement partiel de la zone pendant l'été 2019 a eu sans doute un rôle, même si les hypersalinités engendrées n'ont pas été aussi élevées et maintenues dans le temps qu'en 2017, année où l'athérine fut plus régulièrement présente dans le secteur.



Figure 27 : Présence mensuelle de l'athérine en considérant (en haut) tous les filets posés (filets DCE et filets à Civelles, même ceux qui ont pêchés qu'en partie – filets décrochés) et (en bas) uniquement les filets DCE valides pendant les 5 années de suivi. Blanc = non capturé ; gris clair = présence détectée ; gris foncé = absence d'effort de pêche

En moyenne, pour les périodes octobre-novembre et avril-mai, les densités d'athérines sont globalement plus faibles dans l'étang du Galabert ( $4.8 \pm 4.8$  ind.h<sup>-1</sup>) et l'étang du Tampan ( $3.5 \pm 3.4$  ind.h<sup>-1</sup>) qu'aux stations de la Comtesse ( $78.0 \pm 82.6$  ind.h<sup>-1</sup>) et de la Gaze du marteau ( $28.7 \pm 33.6$  ind.h<sup>-1</sup>).

ind.h<sup>-1</sup>, Figure 27). Plus au sud, la station du Galabert 1-2 ( $17.7 \pm 23.8$  ind.h<sup>-1</sup>) enregistre en moyenne davantage d'athérines que la station de Beauduc ( $4.6 \pm 4.5$  ind.h<sup>-1</sup>).

Les densités d'athérines semblent suivre un patron saisonnier, avec des abondances plus ou moins élevées d'octobre à janvier ( $42.3 \pm 26.5$  ind.h<sup>-1</sup>) et une diminution des effectifs de février à mai ( $4.0 \pm 2$  ind.h<sup>-1</sup>). Les deux premières années de suivi, une nouvelle recrudescence est observée en juin ( $74.8 \pm 54.6$  ind.h<sup>-1</sup>). La période de mars à mai correspond à la période de reproduction, suggérant que la diminution des effectifs reflète une hausse de la mortalité ou une migration des individus vers une autre partie du système pour se reproduire. La sensible augmentation des effectifs obtenue dans le canal du Versadou à cette période pourrait suggérer qu'au moins une partie d'entre elles utilisent ce canal de drainage pour leur reproduction. Les tailles des individus capturés dans les filets DCE en juin (en moyenne  $38.8 \pm 0.9$  mm) sont significativement inférieures à celles mesurées le reste de l'année ( $52.6 \pm 0.3$  mm), suggérant que les augmentations d'effectifs de juin s'expliquent par l'arrivée massive de juvéniles de l'année (Figure 29).

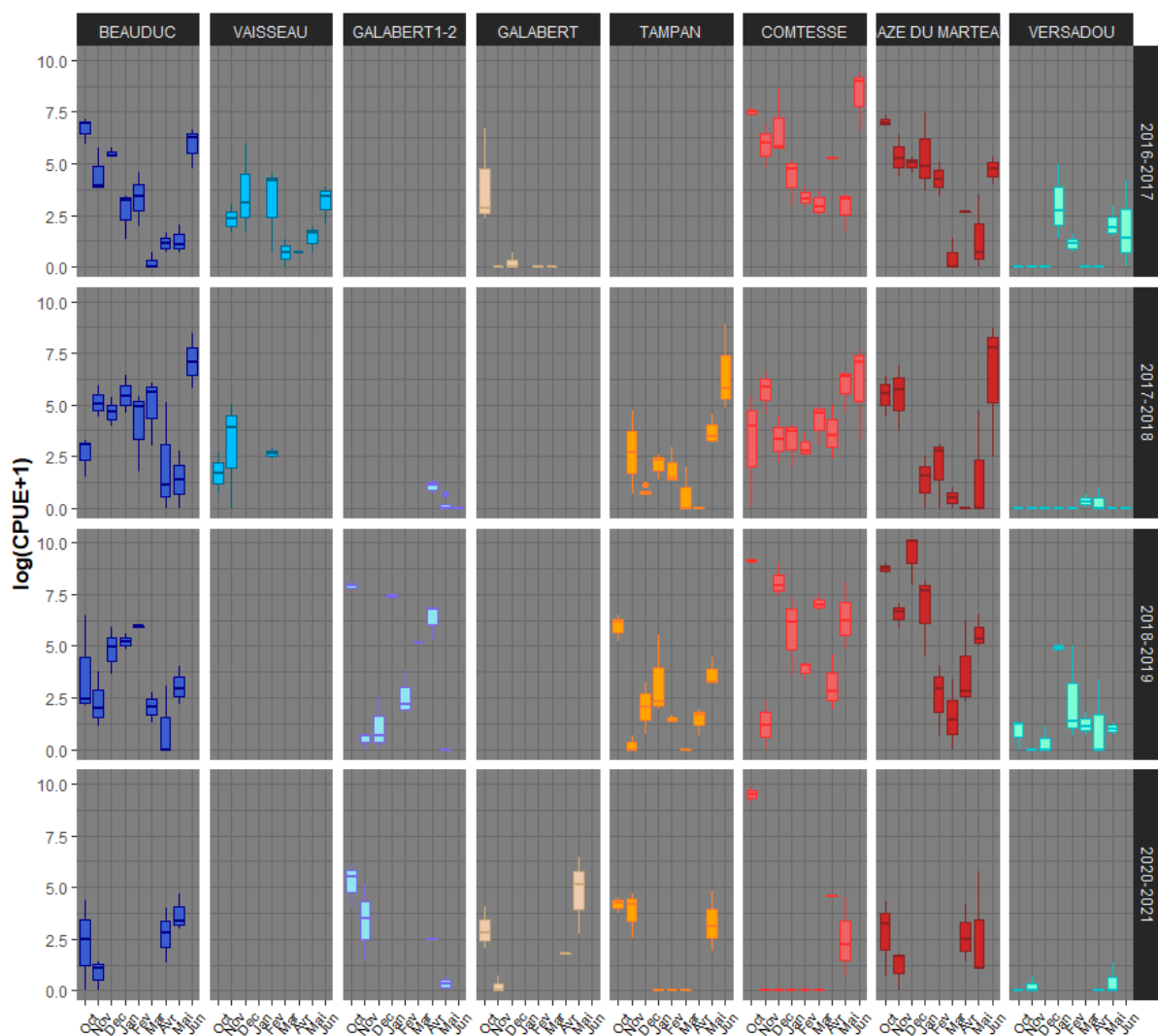


Figure 28 : Abondance standardisée de l'athérine par station et par campagne de pêche mensuelle. Seules les captures des filets DCE valides sont ici considérées.

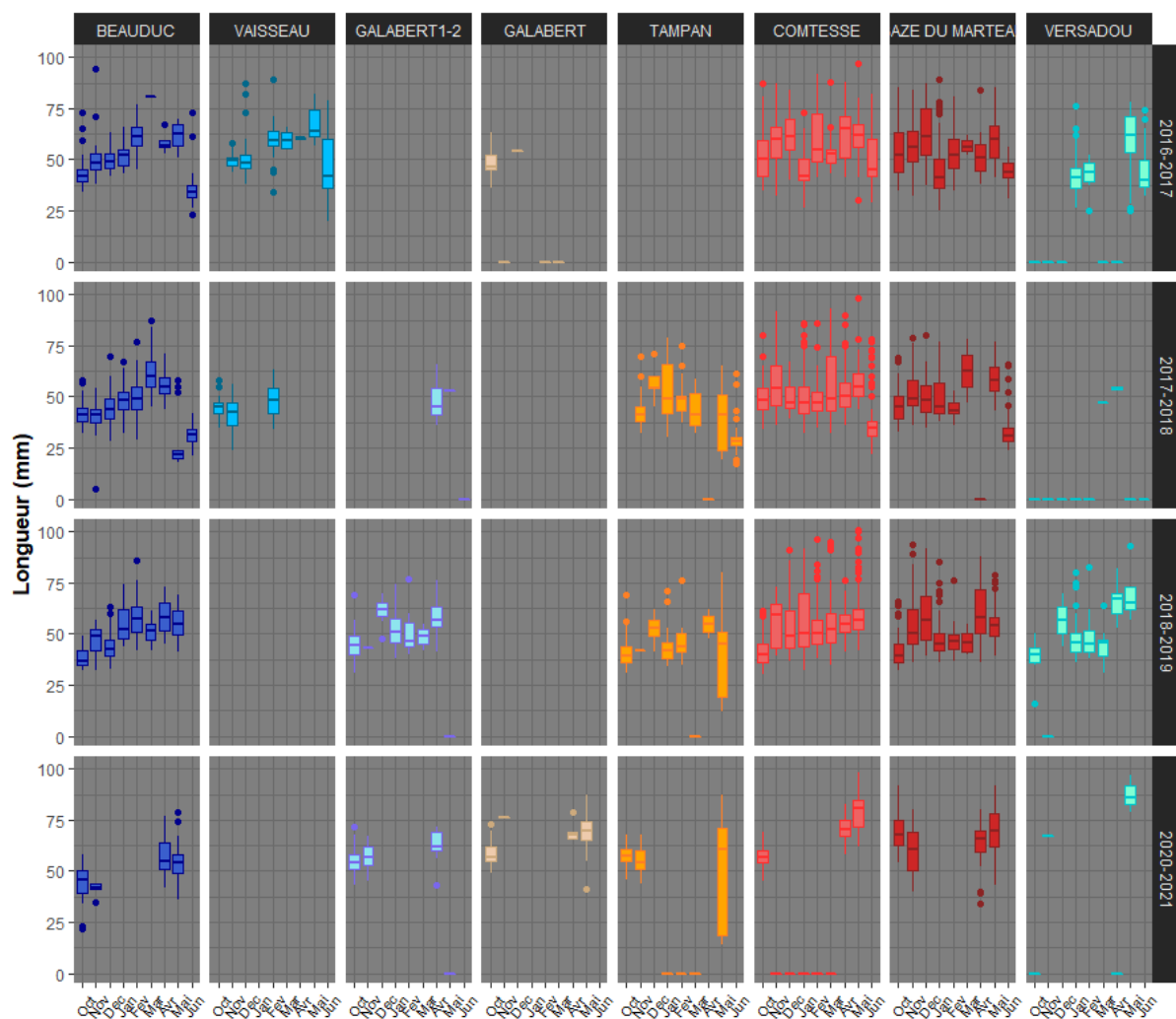


Figure 29 : Spectre de taille (mm) des individus d'athérines mesurés par station et par campagne de pêche mensuelle. Seules les captures des filets DCE valides sont ici considérées.

### Franchissement des 4 ouvrages de connexion suivis

**Points sur la méthodologie** - L'étude du franchissement des 4 ouvrages de connexion a été réalisée à partir des mesures réalisées en continu sur un pas de temps horaire. Ces mesures sont précieuses pour capter la forte dynamique des EMSC sur l'ensemble de l'année. Toutefois, comme le montre la Figure 30, de longues périodes n'ont pas pu être exploitées en raison d'au moins un des paramètres considérés manquants (lié à des problèmes techniques). Cette étude est donc partielle mais fournit néanmoins, lorsque les données sont disponibles, un aperçu des conditions théoriques de circulation pour chaque taxon ciblé. Cette étude peut également être qualifiée de partielle du fait qu'elle ne cible que 4 ouvrages de connexion des EMSC (Annexe 3, Figure 4-66). Néanmoins, il s'agit d'ouvrages clés le long du cheminement aujourd'hui fonctionnel entre la mer et l'hydrosystème du Vaccarès. Il manque ici deux ouvrages de connexion : celui entre les étangs du Galabert 1 et du Galabert 2, ainsi que celui entre les étangs de Galabert 1 et du Pourtour du Rascaillan 2. Les instruments positionnés à leur proximité permettent de veiller à l'évolution du niveau d'eau, mais il manque un instrument entre les deux ouvrages pour le calcul des paramètres hydrologiques. Comme indiqué dans la partie « Méthodologie », à partir d'octobre 2019, est également considéré le nouvel ouvrage entre les étangs du Galabert et du Tampan et, par contre, à partir de septembre 2019,

l'ouvrage entre les étangs du Pourtour du Rascaillan et l'étang du Vaisseau n'est plus pris en compte étant devenu non fonctionnel en raison de l'ouverture permanente créée à sa proximité.

Notons que des conditions de niveau d'eau très faibles peuvent être limitantes pour le déplacement de la faune aquatique en quelques points hauts à l'intérieur de certains étangs. Ces points hauts n'ont pas pu être pris en considération dans cette étude : il aurait fallu disposer d'un LIDAR à jour car le profil bathymétrique des étangs évolue rapidement, au fil des travaux réalisés et des tempêtes. Durant l'été 2019, plus d'un kilomètre de chenal a d'ailleurs été curé dans l'étang du Pourtour du Rascaillan 2 et les connexions avec l'étang du Rascaillan ont été renforcées, ce qui devrait désormais améliorer les conditions de circulation.

Par ailleurs, les conditions physico-chimiques, et en particulier la salinité, relevées à proximité immédiate de ces ouvrages, reflètent le mélange entre deux masses d'eau (deux étangs). Les mesures sont ainsi fortement influencées par le sens du courant et ne sont donc pas forcément représentatives des conditions associées aux étangs dans leur globalité. Autrement dit, la caractérisation du franchissement est uniquement valable à l'échelle de l'ouvrage ciblé.

Rappelons que cette étude de franchissement est montrée à titre indicatif, notamment en raison de l'utilisation de données approximatives issues de la littérature pour la détermination des valeurs des seuils de tolérance et du fait que les capacités de nage peuvent varier en fonction de la taille et de la condition des individus et de la température de l'eau.

**Franchissabilité pour les Athérines** - En ce qui concerne les athérines, l'étude du franchissement des 4 ouvrages de connexion suggère que les conditions, lorsque l'ensemble des paramètres sont disponibles, sont favorables à leur circulation, hormis à certaines périodes (Figure 30). Alors que la température et la vitesse du courant ne sont quasiment jamais observées limitantes, la hauteur d'eau et la salinité le sont, au moins temporairement (Figure 31). Lorsque la hauteur d'eau est limitante aux ouvrages de la Comtesse et du Vaisseau-Pourtour du Rascaillan 2, il s'agit en réalité d'une fermeture d'ouvrage. Le pertuis de la Comtesse a été fermé pendant un mois, du 8 novembre 2018 à 14:30 au 7 décembre 2018 à 14:25, en prévention d'une pollution aux hydrocarbures, engendrée par la collision d'un roulier tunisien et d'un porte-conteneurs chypriote qui a eu lieu le 7 octobre au large de la Corse et qui a atteint la côte bucco-rhodanienne le 27 octobre. Pendant cet intervalle, en raison du haut niveau d'eau du côté de l'étang du Tampan, l'eau est passée au moins épisodiquement (12 et 13 novembre 2018) sous les piles à l'Est du pertuis. Nous ne savons pas si ces écoulements ont pu être favorables à des échanges ichtyologiques. Au printemps 2021, l'ouvrage de la Comtesse a été fermé afin de limiter la pénétration des eaux polluées du Versadou en direction de l'étang du Vaccarès, sauf pendant la durée du suivi piscicole.

Afin de limiter les entrées d'eaux salées puis de prévenir la pollution aux hydrocarbures, l'ouvrage du Vaisseau-Pourtour du Rascaillan a été fermé le 9 octobre 2018 à 8:00 et, pour des raisons non déterminées, n'a été ré-ouvert que le 23 février 2019 à 10:00, soit environ 4.5 mois plus tard. D'après le technicien en charge du suivi, la connexion a été rompue. Par contre, en cas d'entrées massives d'eau et de hauts niveaux d'eau, l'eau a pu épisodiquement passer au-dessus de l'ouvrage. La hauteur d'eau alors nécessaire n'a pas été déterminée.

Pendant les mois de septembre et d'octobre 2017, aucune fenêtre de circulation n'est obtenue au niveau de l'ouvrage du Galabert-Tampan (Figure 30), en raison de l'assèchement de la

zone (Figure 16 et **Erreur ! Source du renvoi introuvable.**). L'été et l'automne 2017 ont en effet été fortement marqués par la sécheresse (voir §Niveaux d'eau et salinité des étangs). A cette période, la salinité a été contraignante au niveau de l'ouvrage du Vaisseau-Pourtour du Rascaillan 2. C'est en effet souvent en fin de période estivale, après une longue période chaude avec peu ou pas de précipitations que la salinité dépasse dans les étangs peu profonds des seuils non favorables à la circulation des athérines. Cet effet est peu marqué les années 2018 et 2019, sans doute en raison du manque de données, mais de nouveau bien visible en 2020.

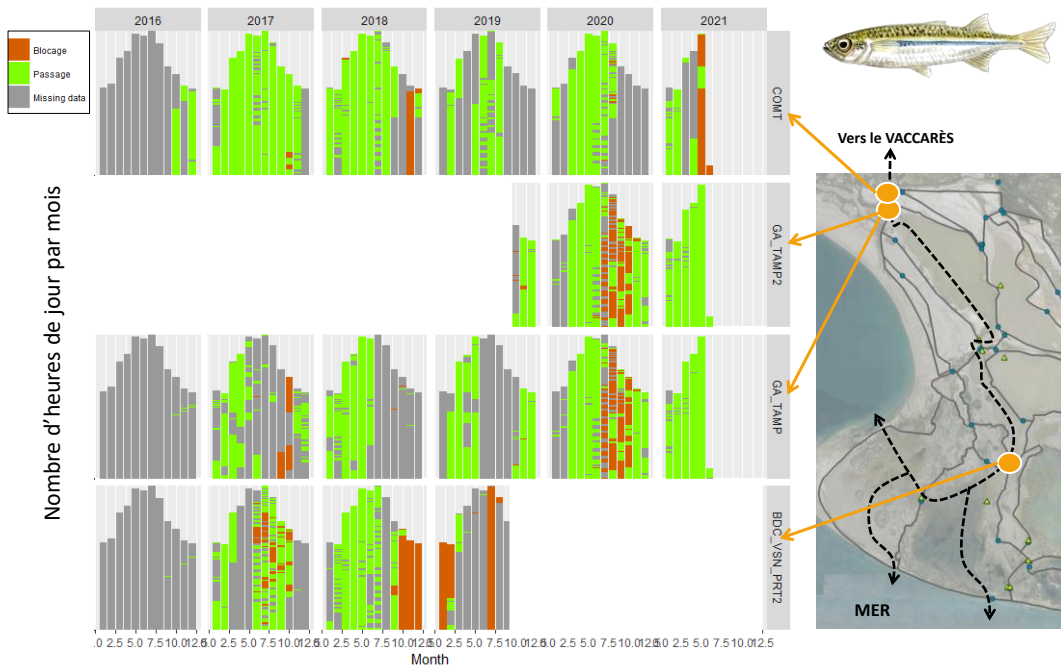


Figure 30 : Franchissement des 3 ouvrages de la Comtesse, du Galabert-Tampan et du Vaisseau-Pourtour du Rascaillan estimé par heure de jour à partir de seuils de tolérance de l'athérine vis-à-vis de la température, de la salinité, de la hauteur d'eau et de la vitesse du courant, et présentée par mois et année.

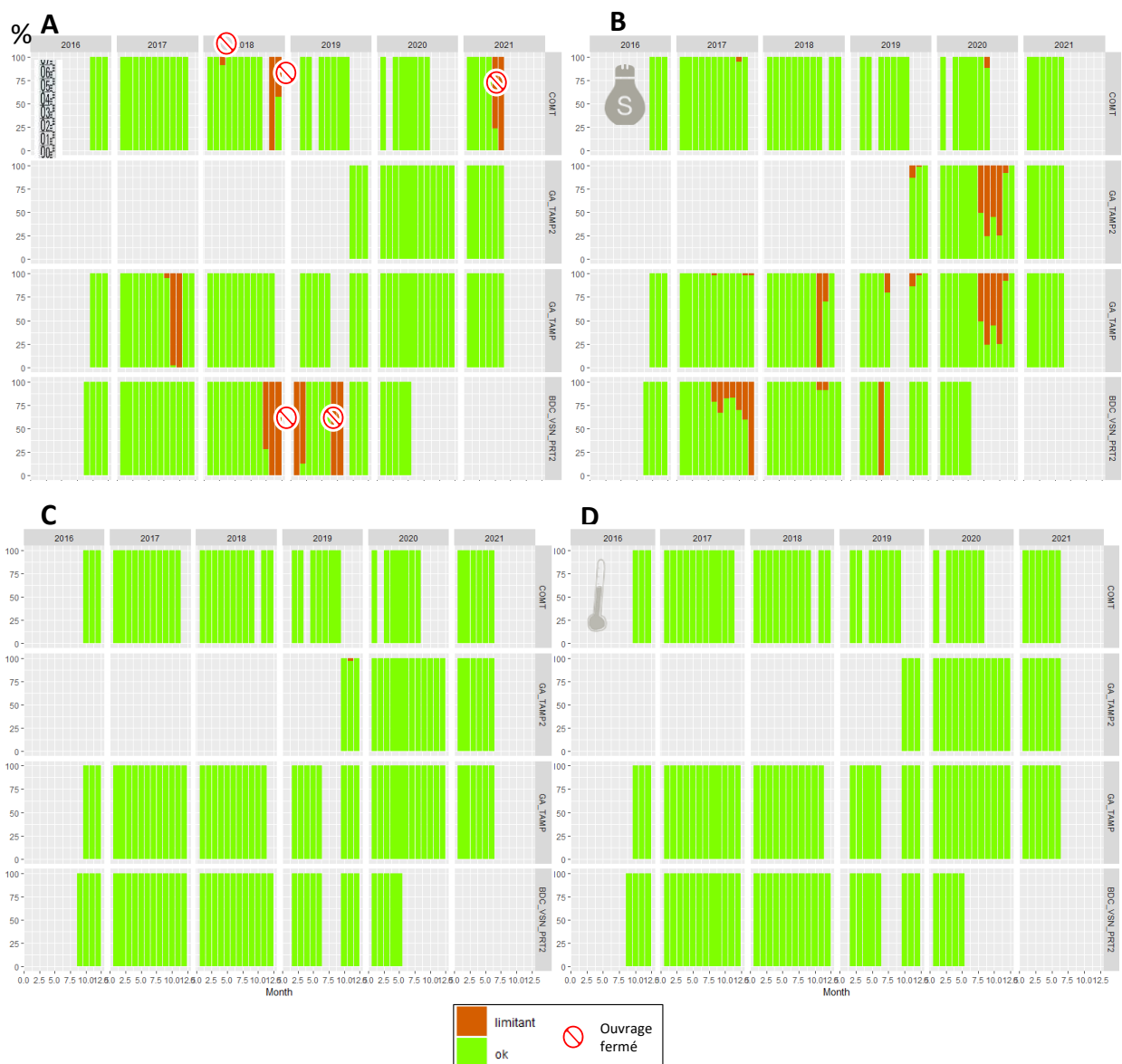


Figure 31 : Barplot représentant le pourcentage du nombre d'heures jour par mois (où toutes les données sont disponibles) où A/ la hauteur d'eau, B/ la salinité, C/ la vitesse du courant et D/ la température, qui sont pris en compte dans le calcul de franchissement, sont favorables ou limitants pour le passage des athérines.

### Influence de paramètres environnementaux

Le complexe des athérines (*Atherina lagunae/boyeri*) peut inclure des polymorphes aux caractéristiques morphologiques, écobiologiques et comportementales divergentes (Focant et al., 1999; Kara & Quignard, 2018a). Bien que nous suspectons avoir essentiellement des individus d'origine lagunaire (camarguaise), il est possible, notamment au plus près du front de mer et en cas de coups de mer, que des individus de populations plus marines (*A. punctulata* ?) aient été capturés. Les résultats des modèles présentés peuvent ainsi être en partie biaisés.

Les résultats des modèles binomiaux (Présence-absence des athérines) intègrent l'ensemble des données disponibles pour les filets DCE sur les 5 années de suivis. Les modèles Gamma des CPUE+ intègrent uniquement les années et les mois de suivis pendant lesquels les estimations de densités ont été effectuées (l'année de suivi 2019-2020 et les mois de décembre 2020 à mars 2021

sont éliminés). Le facteur *Mois* explique 3.8% de la part de déviance de la présence des athérines (Tableau 7) et 12.2% des CPUE+ log-transformées (

Tableau 8). Les athérines sont les moins présentes et les moins abondantes de février à mai, comme précédemment évoqué (Figure 28). Il s'agit de leur période de reproduction. Cette diminution peut traduire un déplacement de la population vers des zones de reproduction, en milieu saumâtre dans l'étang du Vaccarès ou en milieux d'eau douce dans les canaux de drainage ou les marais temporaires (Rosecchi & Crivelli, 1992, 1995). Les athérines recherchent alors des sites présentant une végétation submergée dense ou du chevelu racinaire pouvant servir de support pour la ponte de leurs œufs. Le site des EMSC présente relativement peu de zones d'algues dressées ou de phanérogames. Des herbiers de *Ruppia* se développent néanmoins dans les étangs de Beauduc et de Sainte Anne. Et de petits herbiers de zostères (*Zostera nolti*) se développent de plus en plus à proximité des graus et jusqu'à 700m à l'intérieur de l'étang de Beauduc. Ces herbiers pourraient potentiellement être de nouveaux sites de reproduction pour les athérines, si la salinité leur convient.

L'année 2018-2019 est l'année où les athérines sont significativement les plus présentes. Cet effet *Année*, qui explique 12% de la déviance (Tableau 7), indique une sensible amélioration des conditions de circulation pour les athérines en 2018-2019, notamment au niveau de la station du Galabert, en comparaison avec les années précédentes (Figure 27). En 2019-2020, les conditions apparaissent de nouveau moins favorables, certainement en lien avec l'assèchement partiel du secteur de la Comtesse pour la construction du nouvel ouvrage entre les étangs du Galabert et du Tampan et des faibles précipitations. L'effet *année* est en revanche non significatif pour expliquer les variations de densités des athérines.

La distribution des athérines varie spatialement, notamment en lien avec les conditions de salinité. L'effet *Station d'échantillonnage* (17.8% et 16.3 % de déviance expliquée respectivement pour les 0/1, Tableau 7, et les CPUE+, Tableau A7-16) est en effet le facteur le plus influençant. Cet effet concorde avec celui des classes de salinité (7.5% et 2.6 % de déviance expliquée respectivement pour les 0/1 et les CPUE+). Les athérines sont en moindre présence et abondance dans le canal du Versadou, où les conditions les plus oligohalines sont rencontrées. Les athérines sont également les moins bien représentées dans les stations les plus salées telles que les stations du Vaisseau (en termes d'abondance), du Galabert et du Tampan. Au contraire, elles apparaissent significativement plus fréquentes en conditions mésohalines à polyhalines. Le léger effet négatif significatif obtenu par la variable qui caractérise la distance à la mer (5.4% de déviance expliquée de la présence) montre également que les athérines tendent à éviter les secteurs les plus éloignés de la mer, qui sont ceux qui présentent les salinités les plus élevées. Les faibles niveaux d'eau rencontrés en différents points du cheminement entre la mer et le secteur de la Comtesse, notamment aux alentours des stations du Vaisseau et du Galabert 1-2, pourraient également expliquer ces disparités spatiales (et temporelles).

La prise en compte des variables hydrologiques obtenues à partir des mesures continues conduit à une réduction du jeu de données en raison des données manquantes et de l'élimination de la station du Galabert 1-2 qui est non équipée en sondes.

La hauteur d'eau calculée à l'intérieur des ouvrages a un effet positif significatif sur les athérines en termes de présence (8.1 % de déviance expliquée, Tableau A7- 15) et de CPUE+ (1.9%, Tableau A7-16). Cet effet reflète à nouveau une disparité spatiale de la distribution des athérines, les

hauteurs d'eau les plus élevées étant retrouvées aux stations de Beauduc, de la Comtesse et de la Gaze du Marteau.

D'après l'étude de Bardin et Pont (2002), les athérines n'ont pas de préférence vis-à-vis du sens du courant. Dans le cas présent, la vitesse et le débit sortant ont un effet positif sur la présence des athérines, alors que la vitesse du courant rentrant a un effet négatif (Tableau 7). La station du Galabert est celle qui présente le plus fréquemment des courants rentrants de forte intensité, ce qui pourrait refléter à nouveau plutôt un effet de disparité spatiale. Par contre, lorsque les athérines sont présentes, la vitesse du courant sortant a un effet négatif sur les densités et le débit rentrant un effet positif, en tout cas lorsque ces variables sont testées séparément dans les modèles (Annexe 6, Tableau A7-16).

Un effet de la lune est obtenu significatif pour expliquer la présence (2.7% de déviance expliquée, Tableau A7- 15) et les CPUE+ (4.7%, Tableau A7-16). La présence des athérines apparaît ainsi plus fréquente lors des premiers croissants de lune. Alors que les CPUE+ sont significativement moins élevées lors des quartiers qu'au moment de la pleine lune et de la nouvelle lune. Etant donné que l'activité de l'athérine est surtout associée au jour, il pourrait être avancé que la pleine lune qui apporte plus de luminosité favorise davantage ses déplacements. Néanmoins les CPUE+ des pleines et nouvelles lunes ne sont pas significativement différenciées.

En combinant les différentes variables significatives qui nous apparaissent les plus pertinentes pour expliquer la présence et l'abondance des athérines, les modèles développés expliquent jusqu'à 33.7 % ou 31 % de déviance totale, respectivement.

Tableau 7 : Analyse de déviations pour les modèles binomiaux de type GLM développés pour expliquer la variabilité de la présence des athérines à partir des variables abiotiques présélectionnées. Dans la colonne « Effet » est indiqué pour les covariables le coefficient de pente et pour les variables facteurs les différentes modalités classées. La significativité des différences entre les modalités sont indiquées par rapport à la modalité référence signalée en gras. Si les différences ne sont pas significatives, les modalités comparées sont en gris.

Variable testée	AIC	Degrés de liberté	Significativité	Déviante expliquée (%)	Effet
<b>Athérines_Pres ~ Année de suivi +</b>	<b>602.14</b>	<b>533</b>	<b>***</b>	<b>11.98</b>	2019-2020 < 2020-2021, 2017-2018 < <b>2016-2017</b> < 2018-2019
+ Month	586.56	525	***	16.68	3 < 11 < 12 < 4 < 2 < 5 < <b>1</b> < 10 < 6
+ Sal_Man_Fac	543.32	529	***	21.92	oligohalin < <b>hyperhalin</b> < mixoeuhalin < mesohalin < polyhalin
+ Station	485.18	525	***	31.75	Galabert < Versadou < Gal1-2 < Tampan < Gaze.Mart. < Comtesse < Vaisseau < <b>Beauduc</b> < Gal_B
+ DistSea	578.55	532	***	15.79	-0.12245
+ DistSeaCM	584.09	532	***	14.96	-0.09789
+ Niv_Man_Fac	595.73	531	**	13.53	medium < <b>high</b> < low
+ Temp_Man_Fac	598.28	529	*	12.95	betw6and12 < sup12 < <b>inf6</b>
+ Moon_Fac	592.6	530	**	14.29	last < full < new < <b>first</b>
+ Haut_mean	336.44	369	***	25.86	2.32949
+ Vitesse_Sortant	334.15	356	**	21.08	2.5577
+ Vitesse_Rentrant	306.38	356	***	27.89	-3.4341
+ Débit_Rentrant	342.18	356	NS		
+ Débit_Sortant	332.3	356	**	21.54	2.4997
<b>Athérines_Pres ~ Année de suivi + Sal_Man_Fac +...</b>	<b>543.32</b>	<b>529</b>		<b>21.92</b>	
+ Month	502.48	521	***	30.4	3 < 2 < 4 < 12 < 11 < <b>1</b> < 5 < 6 < 10
+ Saison	531.61	527	***	24.25	Win < <b>Aut</b> < Spr
+ Station	479.84	521	***	33.73	Galabert < Versadou < Tampan < Gal1-2 < Gaze.Mart. < Comtesse < <b>Beauduc</b> < Gal_B < Vaisseau
+ DistSea	533.09	528	***	23.73	-0.10058
+ DistSeaCM	537.72	529	**	23.04	-0.07048
+ Niv_Man_Fac	537.93	527	**	23.31	medium < <b>high</b> < low
+ Temp_Man_Fac	537.95	525	*	23.13	betw6and12 < sup12 < <b>inf6</b>
+ Haut_mean	328.95	354	***	24.9	1.1897
+ Vitesse_Sortant	333.29	352	**	23.25	2.6785
+ Vitesse_Rentrant	306.61	352	***	29.79	-3.4574
+ Débit_Rentrant	339.13	352	NS		
+ Débit_Sortant	328.65	352	***	24.39	3.1808

Tableau 8 : Analyse de déviations pour les modèles Gamma (fonction de lien Log) de type GLM développés pour expliquer la variabilité des CPUE positives log-transformées des athérines à partir des variables abiotiques présélectionnées. Dans la colonne « Effet » est indiqué pour les covariables, le coefficient de pente, et pour les variables facteurs, les différentes modalités classées. La significativité des différences entre les modalités sont indiquées par rapport à la modalité référence signalée en gras. Si les différences ne sont pas significatives, les modalités comparées sont en gris.

Variable testée	AIC	Degrés de liberté	Significativité	Déviante expliquée (%)	Effet / Coefficient de pente
<b>Athérines_CPUE+ ~ Station...</b>	<b>1542.4</b>	<b>355</b>	<b>***</b>	<b>16.28</b>	Vers < Vaisseau < Tampan < Galabert, Galabert1-2, <b>Beauduc</b> < Gaze_Marteau < Comtesse
+ YearSurvey	1542.5	352	NS		
+ Saison	1538.3	353	*	18.03	<b>Aut</b> >Spr, Win
+ Mois	1499.9	347	<b>***</b>	<b>28.13</b>	4 < 3 < 2 < 5 < 11 < 12 < <b>1</b> < 10 < 6
+ DistSeaCM	1506.9	346	<b>**</b>	17.9	-0.03033
+ Moon_Sem	1503.4	345	<b>**</b>	19.1	0.5< <b>0</b> <1
+ Moon_Fac	1498.2	344	<b>***</b>	20.62	last< <b>first</b> < new< full
+ Sal_Man_Fac	1548.5	350	NS		
+ Niv_Man	1513.6	346	NS		
+ Niv_Man_Fac	1515.0	345	NS		
+ Vitesse_Sortant	1125.4	252	NS		
+Vitesse_Rentrant	1126.6	252	NS		
+Débit_Sortant	1126.5	252	NS		
+Débit_Rentrant	1126.3	252	NS		
+Haut_mean	1122.3	253	<b>**</b>	18.5	-0.32311
<b>Athérines_CPUE+ ~ Station + Mois ...</b>	<b>1499.9</b>	<b>347</b>		<b>28.13</b>	
+ Saison	1499.9	347	NS		
+ DistSeaCM			NS		
+ Moon_Sem	1453.9	337	<b>***</b>	32.08	0.5 < <b>0</b> < 1
+ Moon_Fac	1447.2	336	<b>***</b>	33.65	last < <b>first</b> < new < full
+ Haut_mean	1092.8	245	*	31.01	-0.29009

## Les juvéniles de sole commune, espèce marine migratrice

### *Présence et abondance spatio-temporelles*

Pour les 5 années de suivi, la totalité de juvéniles de Soléidés de l'année capturés est estimée à 2 256 individus dans les filets DCE et à 486 individus dans les filets à civelles. Les filets à civelles s'avèrent efficaces pour capturer uniquement les plus jeunes stades (aucune capture en juin). Néanmoins, durant la deuxième campagne (2017-2018), alors que des captures sont obtenues dans quelques filets DCE en tout début de saison de recrutement (février-mars), les filets à civelles n'ont rien détecté (Figure 35). En revanche, en 2021, la présence de juvéniles de soles dans l'étang du Tampan en mars et en avril a été signalée uniquement dans les filets à civelles. Par conséquent, l'utilisation des deux types d'engins s'avère complémentaire pour capturer les juvéniles de cette espèce, et leur efficacité dépend également de leur localisation.

L'arrivée des premiers juvéniles de l'année est observée à partir de mars en 2017, en 2020 et en 2021, et dès février en 2018 (Figure 33 et Figure 34). Les premiers juvéniles capturés ont une taille entre 14 (station du Vaisseau) et 41 mm (chenal de la Comtesse, Figure 36). À ce stade, il est compliqué de déterminer l'espèce. Toutefois, les mois suivants, les captures de Soléidés plus âgés deviennent plus faciles à identifier avec leur tâche caractéristique sur la nageoire pectorale (face dorsale). Il est ainsi fort probable que tous les individus capturés correspondent à des juvéniles de sole commune (Figure 32).



Figure 32 : Photographies des juvéniles de Soléidés à la station du Vaisseau le 23 Mars 2017 (en haut ©K. Ferjancic et en bas à droite ©D.Nicolas), et à la station de chenal de la Comtesse le 16 Mai 2018 (en bas à gauche, © D.Nicolas)

La plupart des juvéniles de l'année ont été capturés lors des deux premières campagnes de pêche (2016-2017 et 2017-2018, Figure 34). Lors des campagnes suivantes, le recrutement en juvéniles de soles a été très faible ou totalement manqué.

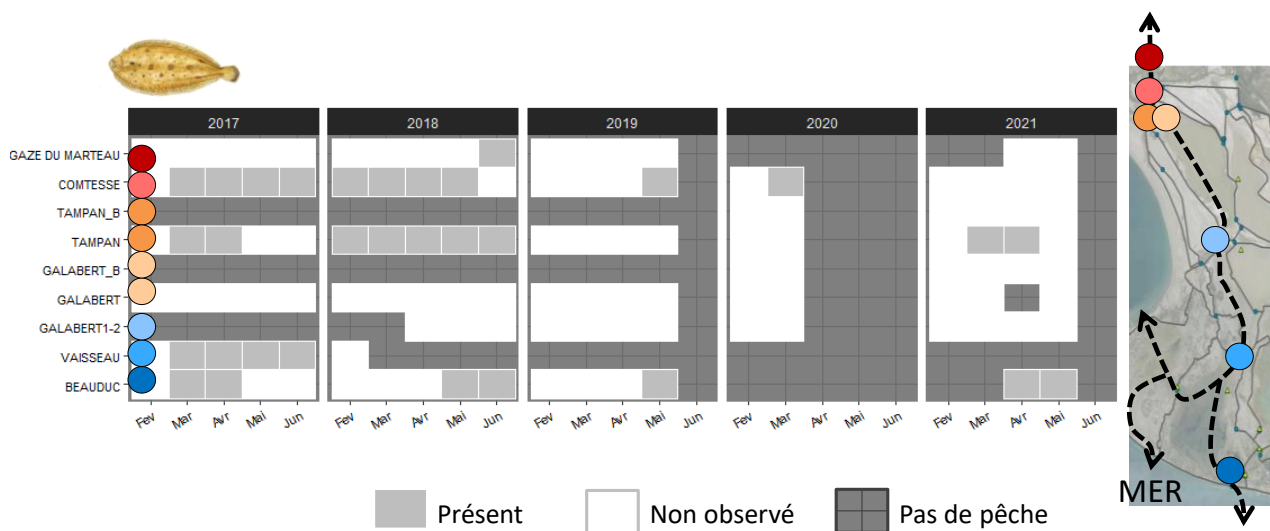


Figure 33 : Présence mensuelle de juvéniles de Soleïdés en considérant tous les filets posés (filets DCE et filets à Civelles, même ceux qui ont pêchés qu'en partie – filets décrochés).

La première année de suivi, en 2017, une remontée massive des juvéniles de soles a été observé depuis la mer jusqu'à la station du Vaisseau (Figure 34 et Figure 35). Pendant toute la durée du suivi, les juvéniles de sole ne sont jamais détectés aux stations les plus centrales : Galabert 1-2, Galabert et Galabert\_B, alors qu'ils sont observés à l'aval (stations de Beauduc et du Vaisseau) et à l'amont (stations du Tampan et de la Comtesse, Figure 34). Les faibles niveaux d'eau et les fortes salinités ont probablement empêché la migration des juvéniles dans la zone centrale des EMSC. Les densités élevées de juvéniles de soles observées dans l'étang du Tampan et dans le chenal de la Comtesse dès les premières arrivées de l'année suggèrent que les juvéniles de soles ont emprunté une autre voie de migration que celle des EMSC. Aucun juvénile de sole n'ayant été capturé à la station de la Gaze du Marteau (ou pas avant juin, seulement en 2018), il est probable que les individus aient profité d'une connexion intermittente entre la mer et l'étang des Batayolles pour pénétrer directement dans ce secteur du système.

En 2019, le recrutement des juvéniles de soles n'est capté qu'en Mai, seulement aux stations de Beauduc et du chenal de la Comtesse en faibles densités (Figure 33 et Figure 34). La rupture de connexion au niveau de l'ouvrage du Vaisseau-Pourtour de Rascaillan 2 en janvier - février 2019 pourrait être mis en cause. Néanmoins, de février à avril, aucun juvénile de soles n'a été capturé à aucune des autres stations. Ni à Beauduc, pourtant proche du front de mer, ni au niveau du chenal de la Comtesse, alors que plusieurs connexions intermittentes avec la mer ont eu lieu. Il est possible que la vague de recrutement ait été manquée car les pêches sont réalisées seulement durant 3 jours consécutifs par mois. Une autre hypothèse pour expliquer ce faible recrutement est l'occurrence d'événements en mer, liés au succès de reproduction, à la localité des frayères et/ou à la force et à la direction des courants littoraux, qui ont pu limiter la production de juvéniles de soles et/ou ont empêché leur arrivée dans les EMSC cette année-là.

En 2020, une seule journée de pêche a été réalisée en mars, puis le suivi a été stoppé en raison du confinement lié au Covid. Seulement un individu a alors été détecté à la station de la Comtesse. Il

est ainsi possible qu'un recrutement massif plus tardif des juvéniles de soles ait été manqué. En 2021, un timide signal de recrutement a été détecté en mars et avril, uniquement aux stations de Beauduc et du Tapan (Figure 33 et Figure 35).

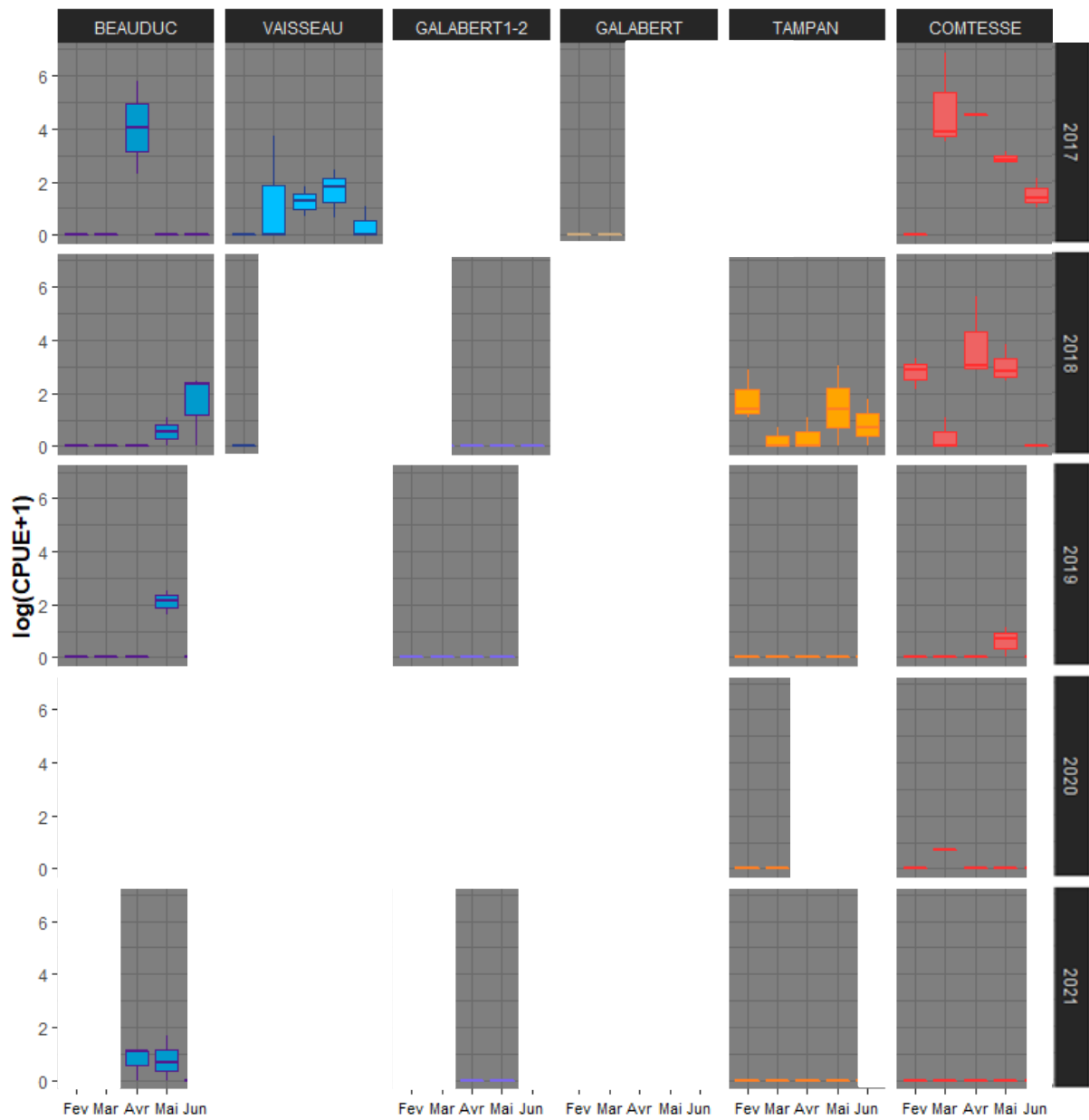


Figure 34 : Boxplots des densités mensuelles de sole commune (*Solea solea*) log-transformées dans les filets DCE par station.

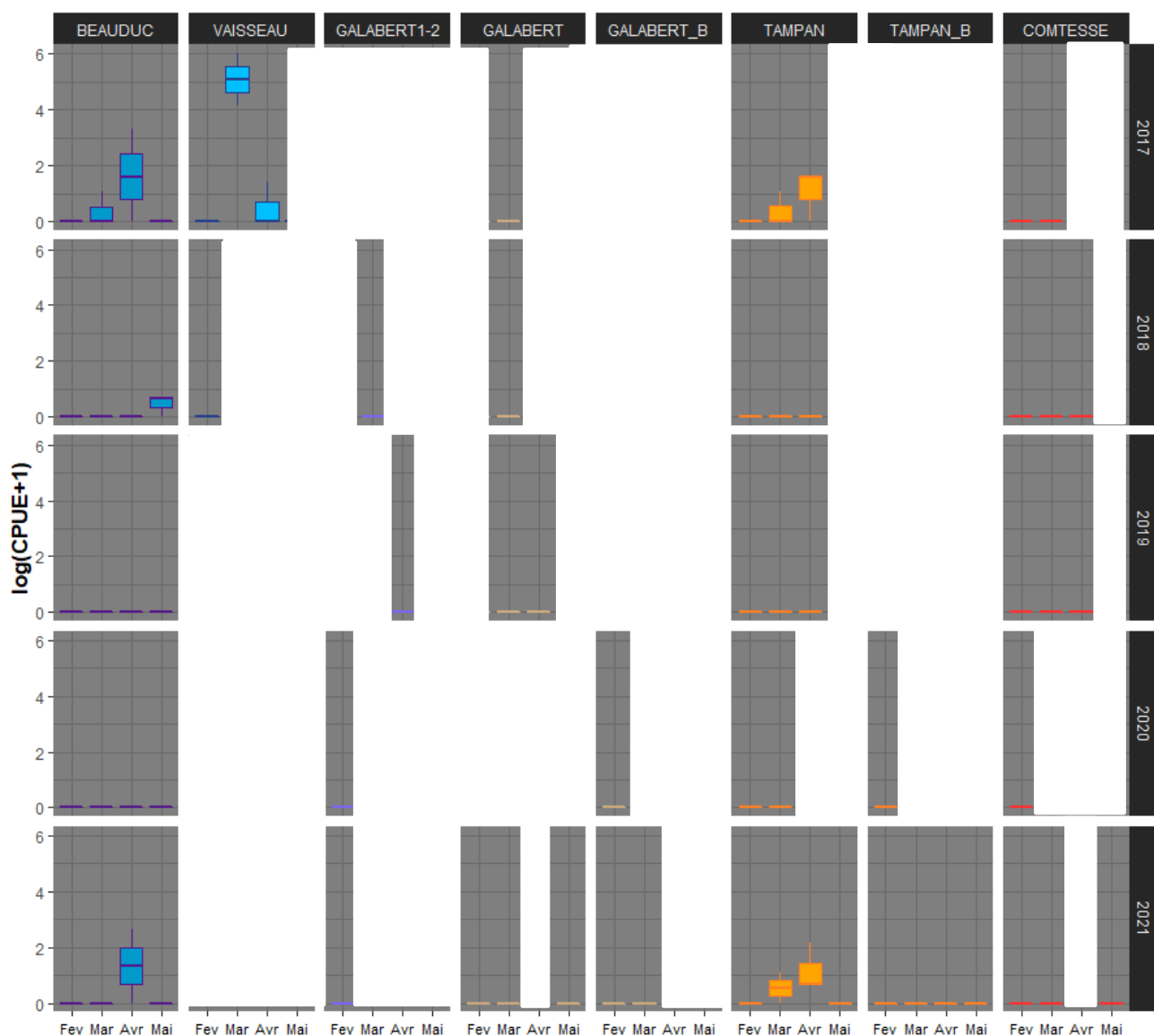


Figure 35 : Boxplots des densités mensuelles de sole commune (*Solea solea*) log-transformées dans les filets à civelles par station.

Les deux premières années de suivi, une diminution globale des densités est observée de mars à juin (Figure 34), ce qui peut correspondre à une perte par mortalité naturelle ou par prédation et/ou à une dissémination des individus dans l'ensemble du système Vaccarès. La taille des individus capturés suggère une croissance rapide, augmentant d'environ 20 à 25 mm par mois (Figure 36). Cette forte croissance est favorisée par les températures de l'eau qui se réchauffent rapidement au printemps et par une disponibilité abondante des ressources trophiques (Fonds, 1979).

En 2017 et en 2018, les juvéniles de soles sont en moyenne chaque mois plus grands dans le secteur du chenal de la Comtesse qu'aux stations les plus au Sud, Beauduc et Vaisseau. Les juvéniles de Beauduc et de Vaisseau font peut-être partie de cohortes plus tardives que ceux de la Comtesse. Il est néanmoins intéressant de noter qu'en mai et juin 2017 la condition des juvéniles de soles à Vaisseau diminue par rapport à avril 2017, alors qu'elle augmente significativement du côté de la Comtesse (Figure 37). En mai 2018 et en juin 2018, les indices de conditions sont également en moyenne plus élevés dans la partie Nord du système en comparaison avec la station de Beauduc. Ces résultats suggèrent une meilleure survie des individus, avec une meilleure condition et une

croissance plus rapide dans le secteur de la Comtesse. Ce signal pourrait ainsi indiquer de meilleures conditions, notamment du point de vue des ressources trophiques pour ces juvéniles, dans la partie Nord du système en comparaison avec la partie Sud.

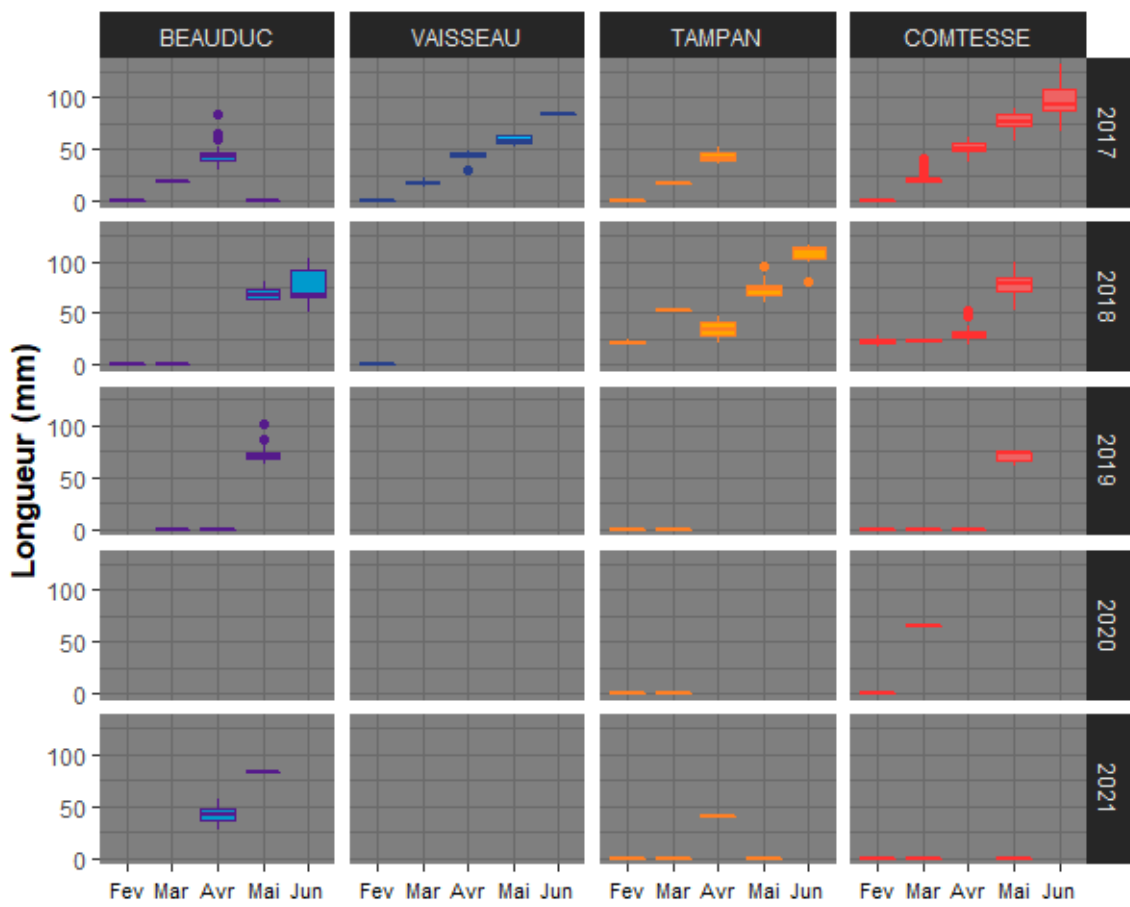


Figure 36 : Mesures de taille effectuées sur les captures de sole commune par station et par mois, incluant à la fois les filets DCE et à civelles.

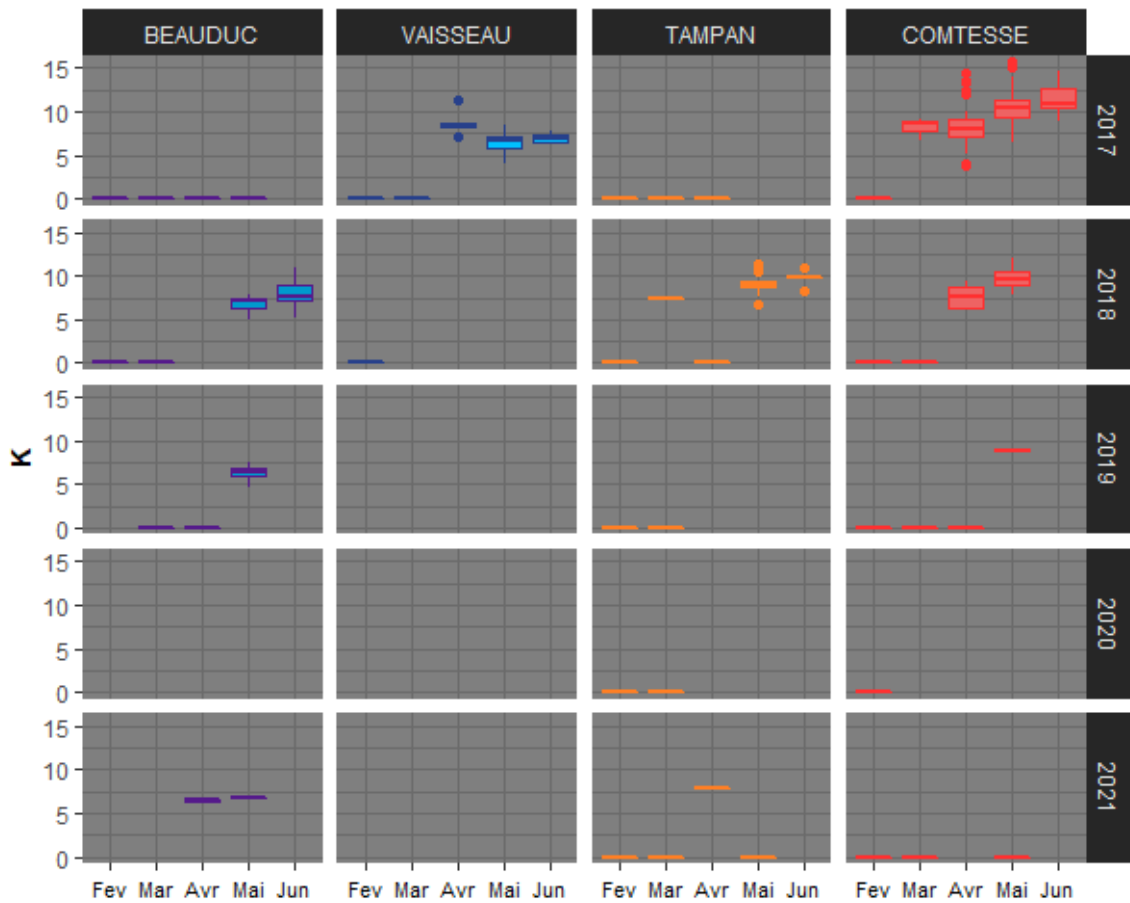


Figure 37 : Indice de condition K des juvéniles de sole commune pour lesquels les données de taille et de poids sont disponibles, par mois et par station.

#### *Franchissement des 4 ouvrages de connexion suivis*

L'étude du franchissement révèle, lorsque l'ensemble des paramètres est disponible, *a priori* aucune difficulté majeure pour la circulation des juvéniles de soles pendant leur période de recrutement, de février à juillet (Figure 38). Les seuls blocages sont occasionnés par la fermeture des martelières.

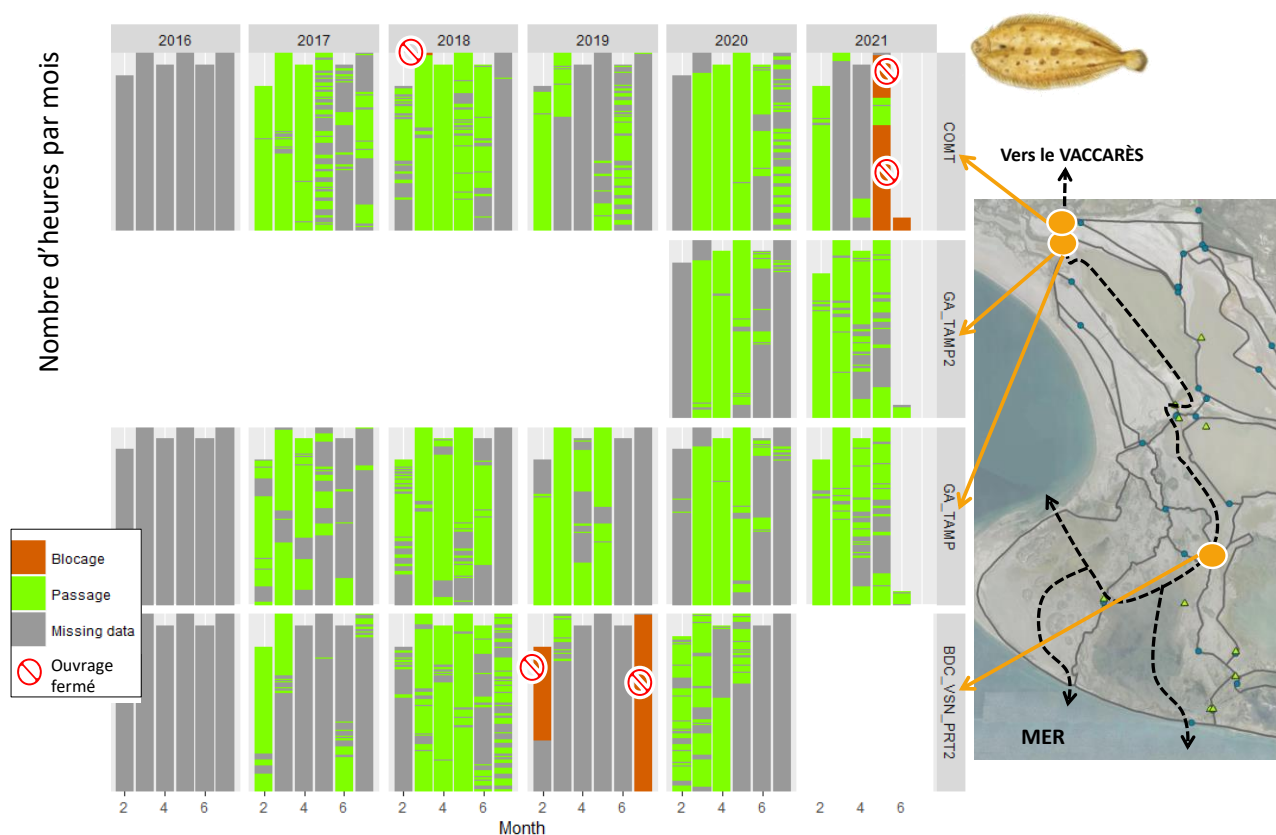


Figure 38 : Franchissement des 3 ouvrages de la Comtesse, du Galabert-Tampan et du Vaisseau-Pourtour du Rascaillan 2 estimée par heure à partir de seuils de tolérance des juvéniles de Soléïdés vis-à-vis de la température, de la salinité, de la hauteur d'eau et de la vitesse du courant, et présentée par mois pour la période de recrutement de février à juillet.

### *Influence de paramètres environnementaux*

Les modèles pour les juvéniles de soles de l'année utilisent uniquement les données de février à juin pour les 5 années de suivi obtenus avec les deux types d'engins de pêche (filet DCE et filet à civelles). Afin de prendre en compte le biais potentiel lié à un effet « *engin de pêche* », ce facteur est testé en premier lieu dans tous les modèles. Il a été obtenu significatif uniquement pour les modèles binomiaux (2.6% de déviance expliquée, Tableau 9) et a alors été systématiquement inclus. Les juvéniles de soles ont été plus fréquemment capturés dans les filets DCE que dans les filets à civelles. Du point de vue des CPUE+, les différences ne sont pas significatives.

L'effet *Année* est obtenu significatif pour expliquer à la fois les données de présence-absence (7.3 % de déviance expliquée, Tableau 9) et de CPUE+ (19.06%, Tableau 10), dénotant des saisons de recrutement récentes (2019 à 2021) significativement plus faibles que les premières. Les faibles recrutements peuvent être liés à des facteurs qui ne sont pas pris en compte dans nos analyses : l'occurrence d'événements en mer non favorables à la production de juvéniles de soles et/ou à leur colonisation du système.

Un effet *Mois* est obtenu significatif seulement pour les modèles binomiaux (9.3% de déviance, Tableau 9), les juvéniles de soles étant plus facile à détecter en fin de saison (avril à juin) qu'en début (février-mars). Lorsque testé seul, le facteur *Saison* est significatif pour les deux types de modèles, confirmant qu'en hiver les juvéniles de soles sont moins fréquents mais en densités plus élevées qu'au printemps. A nouveau, cette diminution des effectifs au cours du temps correspond

classiquement à une perte par mortalité naturelle, très élevée chez les jeunes stades, et/ou à une dissémination des individus dans l'ensemble du système Vaccarès. Cet effet saisonnier est également expliqué par la température de l'eau, qui indique des CPUE+ plus élevées entre 12 et 20°C (de février à avril).

Le facteur *Station* a un effet significatif élevé, expliquant 11 % de la variabilité des présences-absences (Tableau 9) et jusqu'à 18% de celle des CPUE+ (Tableau A7-18). Les juvéniles de soles sont ainsi observés plus souvent aux stations de la Comtesse et de Beauduc et plus rarement aux stations affiliées à l'étang du Galabert. Le facteur *Salinité* explique en partie cet effet (5.3% pour les 0/1 et 16.1% pour les CPUE+ lorsque testé seul). Les jeunes de l'année sont obtenus significativement plus abondants en conditions mésohalines et hyperhalines qu'en conditions mixoeuhalines. Les fortes densités en conditions hyperhalines correspondent aux pics de recrutement observés très ponctuellement à la station du Vaisseau, tandis que les faibles CPUE+ en conditions mixoeuhalines sont associées à la station du Tampan.

La hauteur d'eau au sein des ouvrages a un effet positif significatif sur les CPUE+ des juvéniles de l'année (16.3% de déviance expliquée, Tableau A7-17). Les débits sortants et rentrants les plus élevés sont obtenus aux stations de Beauduc et de la Comtesse, alors que les vitesses de courants sortants sont les plus élevées aux stations du Tampan et du Galabert. Les débits sortants et rentrants ont tous deux un effet positif sur la présence des juvéniles de soles (de 3.4 à 8.5 % de déviance expliquée (Tableau 9), avec un effet sensiblement supérieur lorsque les débits jusqu'à 72h avant la relève des filets sont considérés. La vitesse du courant sortant obtient également un effet globalement positif sur la présence des juvéniles de soles (de 4.4 à 11.4%), avec un effet supérieur pour un décalage de 48h. Lorsque l'effet année est pris en compte dans le modèle, un petit effet positif du débit rentrant, uniquement, est obtenu pour expliquer les CPUE+ (Tableau 10). L'hydrologie pourrait ainsi avoir un effet d'attrait pour la colonisation de juvéniles de soles, notamment à la suite d'un coup de mer.

Néanmoins, pendant la période ciblée, de février à mars, aucun gros coup de mer n'a été détecté durant les 6 jours précédents une relève de pêche. Ainsi, il n'est pas possible de mettre en évidence un effet des connexions intermittentes sur la présence et l'abondance des juvéniles de soles, notamment au niveau des secteurs du Tampan et de la Comtesse.

Tableau 9 : Analyse de déviations pour les modèles binomiaux de type GLM développés pour expliquer la variabilité de la présence des juvéniles de l'année de Soléidés (Soles\_YOY) à partir des variables abiotiques présélectionnées. Dans la colonne « Effet » est indiqué pour les covariables le coefficient de pente et pour les variables facteurs les différentes modalités classées. La significativité des différences entre les modalités sont indiquées par rapport à la modalité référence signalée en gras. Si les différences ne sont pas significatives, les modalités comparées sont en gris.

Variable testée	AIC	Degrés de liberté	Significativité	Déviante expliquée (%)	Effet
<b>Soles_YOY_Pres ~ Engin</b>	<b>323.26</b>	<b>306</b>	<b>**</b>	<b>2.6</b>	DCE > CIV
<b>Soles_YOY_Pres ~ Engin + Année +</b>	<b>307.23</b>	<b>302</b>	<b>***</b>	<b>9.9</b>	<b>2017</b> > 2018 > 2021 > 2019 > 2020
<b>Soles_YOY_Pres ~ Engin + Année + Mois +</b>	<b>284.89</b>	<b>298</b>	<b>***</b>	<b>19.16</b>	<b>2</b> < 3 < 6 < 4 < 5
Temp_Man_Fac	255.81	291	***	26.42	sup12 < betw6and12 < <b>inf6</b>
Station	263.31	291	***	<b>30.02</b>	Galabert1-2 < Galabert_B < Galabert < Tampan_B < <b>Beauduc</b> < Tampan < Vaisseau < Comtesse
Sal_Man_Fac	281.39	294	*	22.67	polyhalin < <b>hyperhalin</b> < mixoeuhalin < mesohalin < oligohalin
Moon_Fac	286.96	295	NS		
<b>Soles_YOY_Pres ~ Engin + Année + Mois +</b>	<b>202.99</b>	<b>217</b>	<b>***</b>	<b>26.53</b>	
Vitesse_Sortant	199.81	216	*	28.61	2.26
Poly(Vit_sortant)	188.77	215	***	33.85	9.04 / -10.70
Vit_Sort_48H	199.93	216	*	28.57	2.42
poly(Vit_Sort_48H)	180.86	215	***	<b>37.02</b>	9.91 / -9.89
Débit_Sortant	202.58	216	NS		2.53
Débit_Sort_72H	191.96	216	***	31.76	<b>6.33</b>
poly(deb_sort)	200.9	215	*	28.98	5.71 / -5.3
poly(Débit_Sort_72H)	193.76	215	**	31.85	<b>12.37</b> / 1.88
poly(deb_renr)	182.84	215	***	36.23	-3.42 / 20.15
poly(Débit_Rentr_72H)	184.73	215	***	35.47	-0.53 / 20.27

Tableau 10 : Analyse de déviations pour les modèles Gamma (fonction de lien Log) de type GLM développés pour expliquer la variabilité des CPUE positives des juvéniles de l'année de Soléidés (Soles\_YOY) à partir des variables abiotiques présélectionnées. Dans la colonne « Effet » est indiqué pour les covariables le coefficient de pente et pour les variables facteurs les différentes modalités classées. La significativité des différences entre les modalités sont indiquées par rapport à la modalité référence signalée en gras. Si les différences ne sont pas significatives, les modalités comparées sont en gris. La fonction *poly()* est appliquée aux covariables pour tester des effets non linéaires d'ordre 2. Dans ce cas, ce sont les deux coefficients de pente associés à cette relation qui sont indiqués dans la colonne « effet ».

Variable testée	AIC	Degrés de liberté	Significativité	Déviante expliquée (%)	Effet / Coefficient de pente
<b>Soles_YOY_CPUE+ ~ Année +</b>	<b>219.74</b>	<b>64</b>	<b>**</b>	<b>19.06</b>	<b>2017 &gt; 2018 &gt; 2019 &gt; 2021 &gt; 2020</b>
+ Engin	221.69	63	NS		
+ Saison	218.68	63	NS		
+ Temp_Man_Fac	206.94	58	NS		
+ Temp_Man_Fac2	<b>198.89</b>	<b>57</b>	<b>**</b>	<b>31.52</b>	sup20 < betw6and12 < <b>inf6</b> < betw12and20
+ Station	<b>216.79</b>	<b>61</b>	<b>*</b>	<b>28.46</b>	Tampan < <b>Beauduc</b> < Vaisseau < Comtesse
+ Moon_Sem	218.93	62	NS		
+ Moon_Fac	219.02	61	NS		
+ Vitesse_Sortant	178.93	48	NS		
+Vitesse_Rentrant	180.2	48	NS		
+Débit_Sortant	179.79	48	NS		
+Débit_Rentrant	<b>175.96</b>	<b>48</b>	<b>*</b>	<b>25.56</b>	<b>0.5608</b>
+poly(Débit_Rentr)	<b>174.94</b>	<b>47</b>	<b>*</b>	<b>29.43</b>	<b>4.57 / 0.99</b>
+Débit_Rentr_48H	<b>176.3</b>	<b>48</b>	<b>*</b>	<b>25.11</b>	<b>0.54</b>
+Débit_Rentr_72H	<b>176.28</b>	<b>48</b>	<b>*</b>	<b>25.14</b>	<b>0.54</b>
+Débit_Rentr_96H	176.55	48	NS		
+Haut_mean	<b>172.85</b>	<b>48</b>	<b>**</b>	<b>29.54</b>	<b>0.5435</b>

## Recrutement des civelles

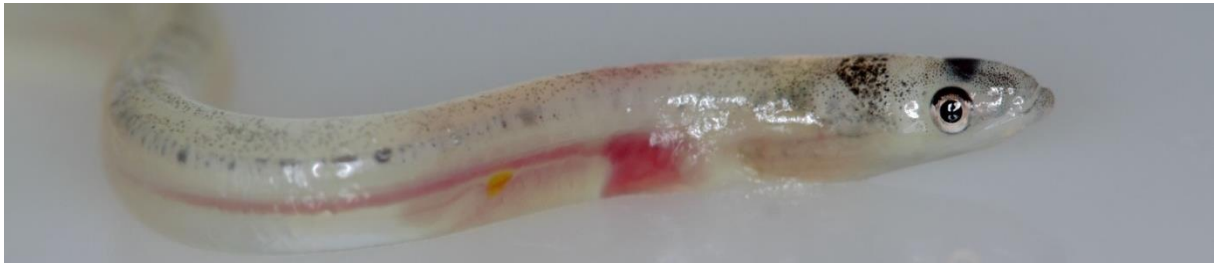


Figure 39 : Photographie de civelles plus ou moins pigmentées. ©F. Leborne

### Présence et abondance spatio-temporelles

Globalement, le recrutement en civelles observé dans les EMSC est très faible en comparaison avec les quantités qui peuvent être capturées à la passe-piège de la Fourcade (Lambremon et al., 2020). Cependant, d'octobre à mai, les civelles sont régulièrement détectées dans les EMSC (Figure 40), et chaque année, des pics de recrutement, plus ou moins élevés, ont été observés entre décembre et mars (Figure 41). Les civelles sont présentes à la majorité des stations échantillonnées le long du chemin de connexion entre décembre et mars, étant généralement notées absentes d'au moins une des stations les plus centrales : Galabert 1-2 et Galabert (\_B, Figure 40). Les deux premières années de suivi, les captures en termes de densité et de stades pigmentaires indiquent que les civelles remontent facilement au moins jusqu'à la station du Vaisseau (Figure 41 et Figure 42).

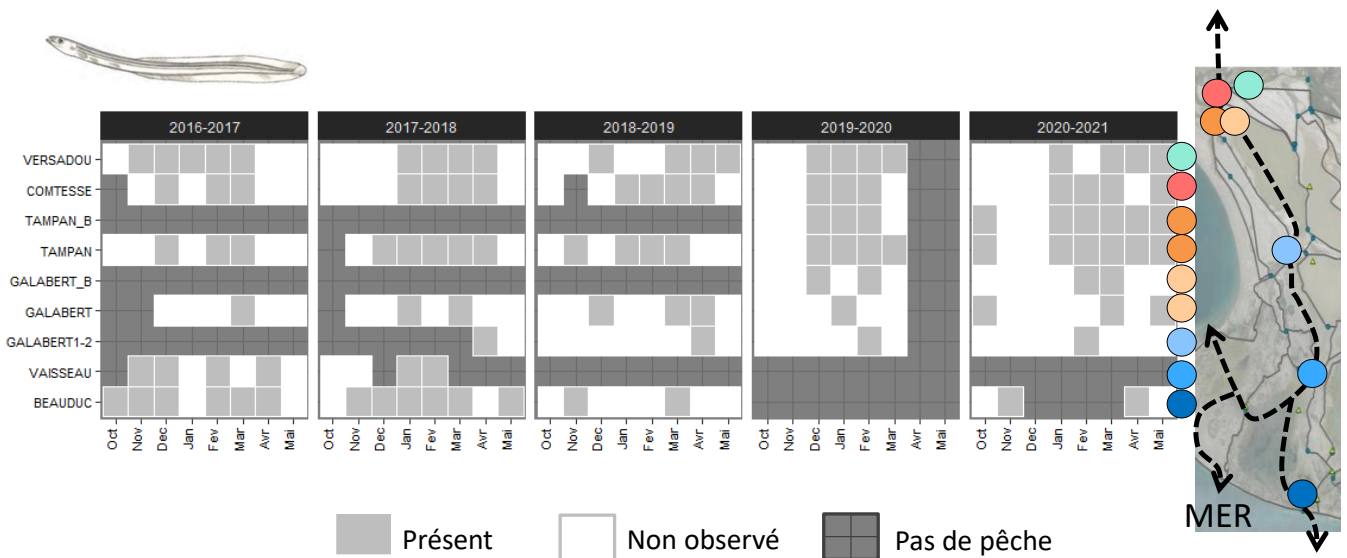


Figure 40 : Présence mensuelle de civelles détectées dans les filets à civelles.

Les pics les plus denses ont été obtenus la première année de suivi : en décembre 2016 à la station du Vaisseau, et en février 2017, aux stations du Tampan et du chenal de la Comtesse (avec une journée record d'environ 800 civelles, Figure 41). En Janvier 2017, seulement 2 civelles au total ont été capturées : une avec un stade pigmentaire de 6A4, donc déjà bien pigmentée, dans le canal du Versadou ; et l'autre avec un stade 5B, à la station du Vaisseau dans un filet invalidé car laissé en place plus de 4 jours en raison des intempéries qui ont empêché l'accès à la station. Cette quasi-absence de civelles en ce mois de janvier pourrait s'expliquer par les faibles températures de l'eau qui ralentissent leur métabolisme et limitent leurs capacités de migration (A. J. Crivelli et al., 2008;

Edeline et al., 2006). Pourtant, aux périodes de janvier-février des années 2018 et 2019, notées autant voire plus froides (Figure 15), des civelles sont capturées. L'effet de la température doit être analysé à plus fine échelle, les civelles pouvant profiter de courtes fenêtres de migration.

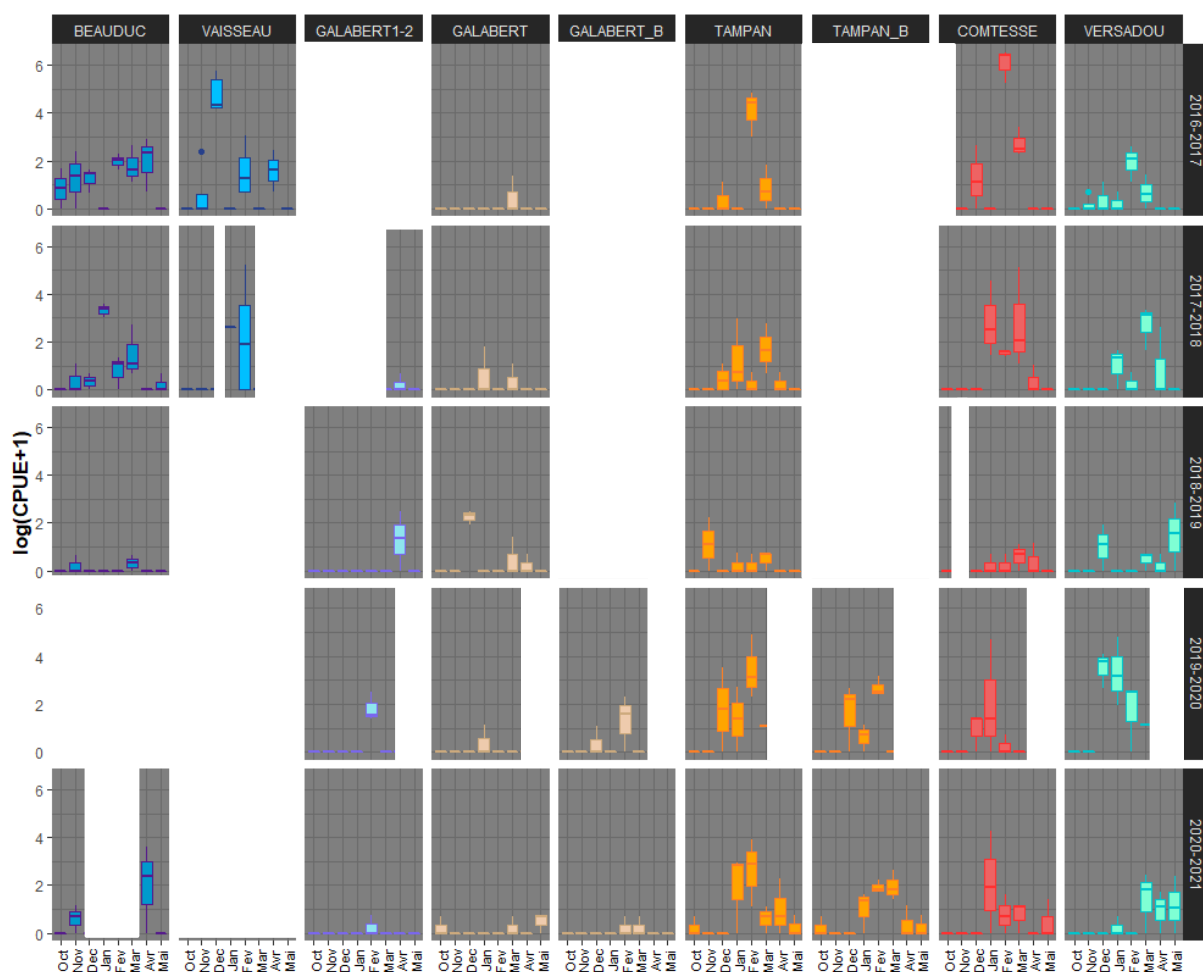


Figure 41 : Densités mensuelles de civelles log-transformées obtenus dans les filets à civelles par station et par année de suivi pour les mois d'octobre à mai.

En février 2017, les captures les plus massives de civelles sont obtenues aux stations du Tampan et du Chenal de la Comtesse. Le stade pigmentaire 5B, très précoce, est celui qui prédomine: 70% pour les civelles du chenal de la Comtesse et 87 % pour celles l'étang du Tampan (Figure 42). Ce même mois, aucune civelle n'est observée dans l'étang du Galabert. Ces résultats (densités élevées, faible pigmentation et absence dans l'étang du Galabert) suggèrent fortement que les civelles ont emprunté une autre voie que celle des EMSC, peut-être une connexion temporaire entre la mer et l'étang des Batayolles, pour s'introduire dans le système.

En mars 2017, une vingtaine de civelles sont capturées dans l'étang de Beauduc, aucune dans l'étang du Vaisseau et une cinquantaine dans le chenal de la Comtesse. Cette fois-ci, la pigmentation des civelles est nettement plus marquée à la Comtesse qu'à Beauduc (6% vs 53% de stade 5B). C'est ce mois-ci que la seule civelle du suivi 2016-2017 (de stade 6A1) a été capturée à la station du Galabert. Etant donné que cette capture est unique et qu'aucune civelle n'a alors été capturée à la station du Vaisseau, il est difficile de conclure quant à une éventuelle montaison des civelles *via* les EMSC. Il est plutôt probable que la civelle pêchée dans l'étang du Galabert provienne initialement de l'étang du Tampan.

Pendant les campagnes de pêche de janvier et de mars 2018, des civelles sont capturées à toutes les stations d'échantillonnage, évoquant une continuité écologique complète du cheminement entre la mer et les étangs intérieurs *via* les EMSC (Figure 40). Toutefois, les civelles capturées à l'étang du Galabert, bien que peu pigmentées (stade 5B à 6A1) restent encore en nombre très limité (5 en janvier et 2 en mars 2018).

En avril 2018, la première civelle de stade 6A3 a été capturée à la station du Galabert 1-2. Il s'agit du premier mois de cette année où la station est échantillonnée. L'année suivante, c'est également uniquement en avril que des civelles y sont capturées, au nombre de 14, dont 9 avec un stade pigmentaire de 5B à 6A2. Ces captures suggèrent ainsi une montaison des civelles au moins temporaire jusqu'à l'étang du Galabert.

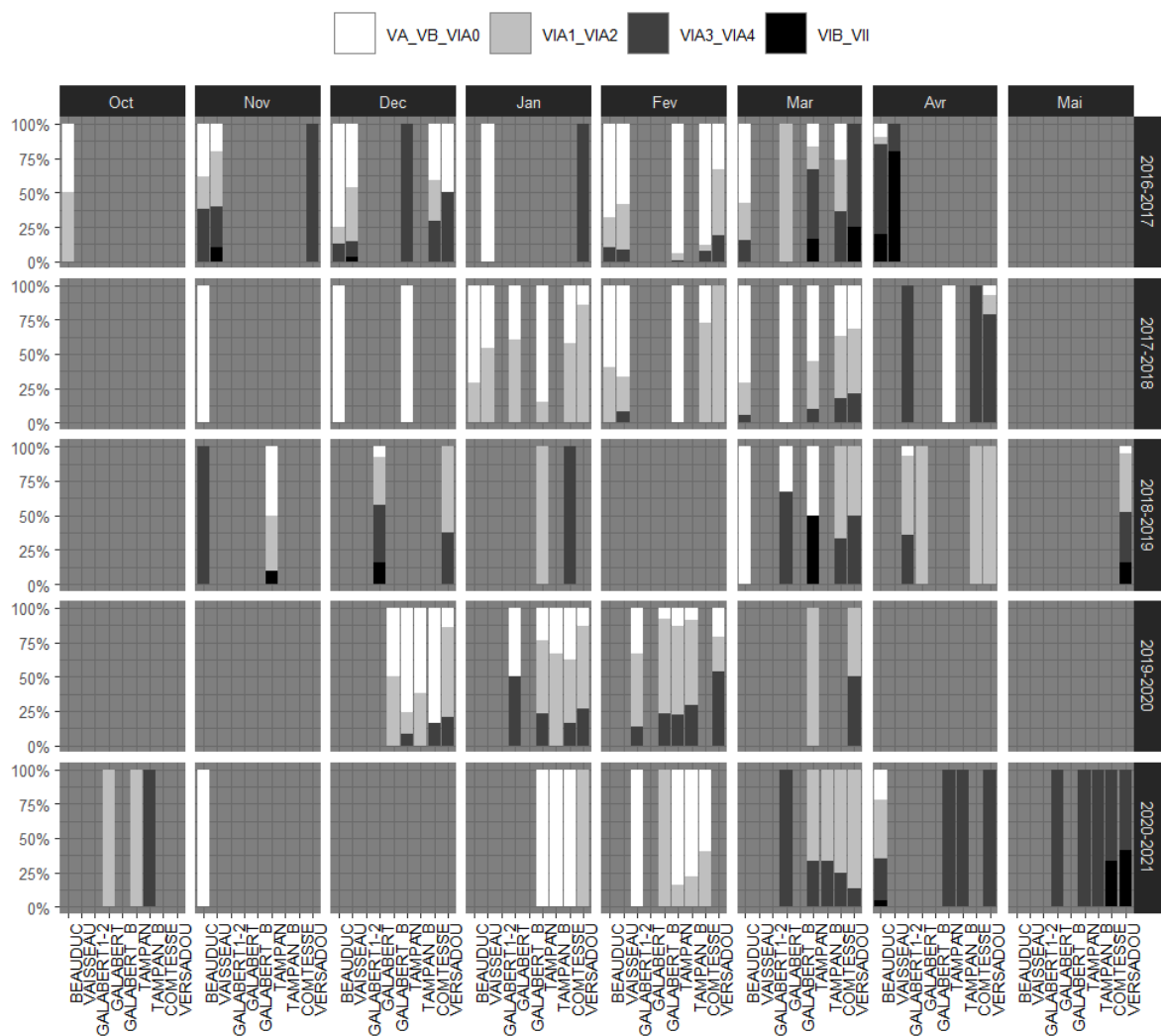


Figure 42 : Proportion relative (en %) des stades de développement des civelles capturées par mois, par station et par année de suivi.

En 2018-2019, aucun pic de recrutement important n'a été observé. En 2019-2020, les civelles ont été principalement capturées de décembre à février, sachant qu'une seule journée de pêche a été réalisée en mars 2020. Durant le suivi 2019-2020, seul le mois de février suggère une continuité hydroécologique complète depuis la mer jusqu'au nord des EMSC, des civelles ayant été capturées à toutes les stations, y compris aux stations de Galabert 1-2 (n=18, dont 5 stades VB ou VIA0 et 10 de

VIA1 à VIA3) et de Galabert\_B (n=13, dont 1 stade VB et 12 de stade VIA1 à VIA4), au niveau du nouvel ouvrage, en nombre relativement important (Figure 40 et Figure 41).

Tous les mois échantillonnés, d'octobre 2016 à avril 2017 et d'octobre 2017 à mars 2018, des civelles peu pigmentées (stades 5B à 6A1) ont été observées, notamment à la station de Beauduc, au plus près du front de mer (Figure 42). Le recrutement en civelles apparaît ainsi continu durant les deux premières années de suivi. Cet arrivage continu n'est pas constaté en 2018-2019. La quatrième année de suivi 2019-2020, des civelles peu pigmentées ont été observées de décembre à février, et en 2020-2021, de novembre à avril mais de manière discontinue.

En fin de saison (avril-mai), la plupart des civelles sont bien pigmentées. Dans le canal du Versadou, les civelles sont en général plus pigmentées qu'aux autres stations, dénotant une présence dans le système plus ancienne qu'ailleurs.

Les civelles capturées dans les EMSC pendant les 5 années de suivi ont une taille moyenne de  $65.4 \pm 0.8$ mm, la plus petite ayant été capturée en avril 2017 à Beauduc (49 mm, stade VIA3), et la plus grande en décembre 2018 à la station du Galabert (85mm, stade VII). Le poids moyen est  $0.23 \pm 0.003$ g, la plus légère ayant été capturée en mars 2018 dans le chenal de la Comtesse (0.0903g, 55mm, stade VIA2), et la plus lourde en mai 2021 à la station du Galabert (0.62g, 76mm, stade VIA4).

Comme à la passe-piège de la Fourcade (Lambremon et al., 2020), une diminution de la taille moyenne et du poids moyen est observé au cours de la saison de recrutement à partir du mois de janvier, notamment aux stations de Beauduc, du Tampan et de la Comtesse (Figure 43). Cette diminution de taille s'accompagne avec une diminution de l'indice de condition jusqu'aux mois de mars-avril, selon l'année et la station (Figure 44). La diminution de taille et de condition s'observe également en ne considérant que les stades les plus jeunes. Entre avril et mai, les individus présentant de forts indices de condition ( $K > 1$ ) correspondent à des stades de pigmentation déjà avancés (VIA3, VIA4 et VIB). Les civelles de stades précoces qui arrivent en fin de saison de recrutement pourraient être plus tardives que celles du début de saison en raison d'une taille et d'une capacité de nage moindres (Wilson et al., 2007). Leur taille plus limitée pourrait également être liée à une plus faible production de phytoplancton lors de leur cheminement dans l'océan (Desaunay & Guerault, 1997; Jellyman & Lambert, 2003).

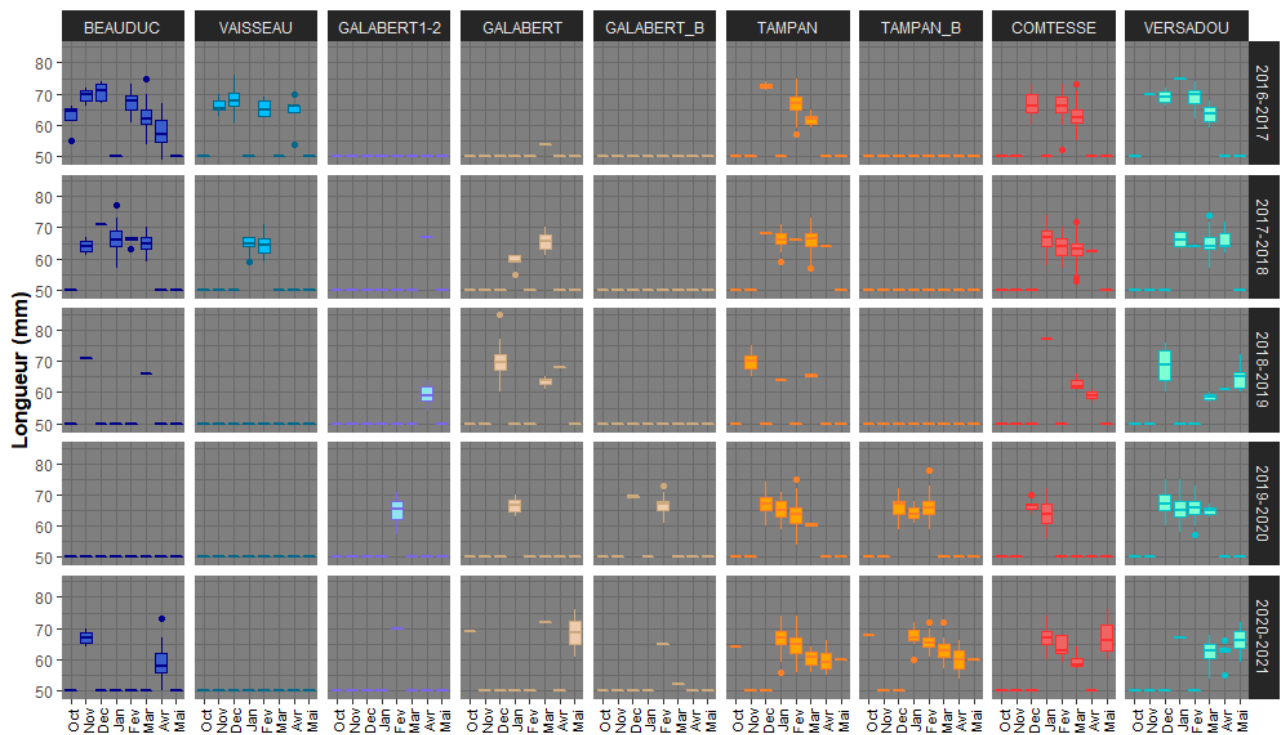


Figure 43 : Taille des cicelles de stades VA à VIA1 par station, par mois et par année de suivi.

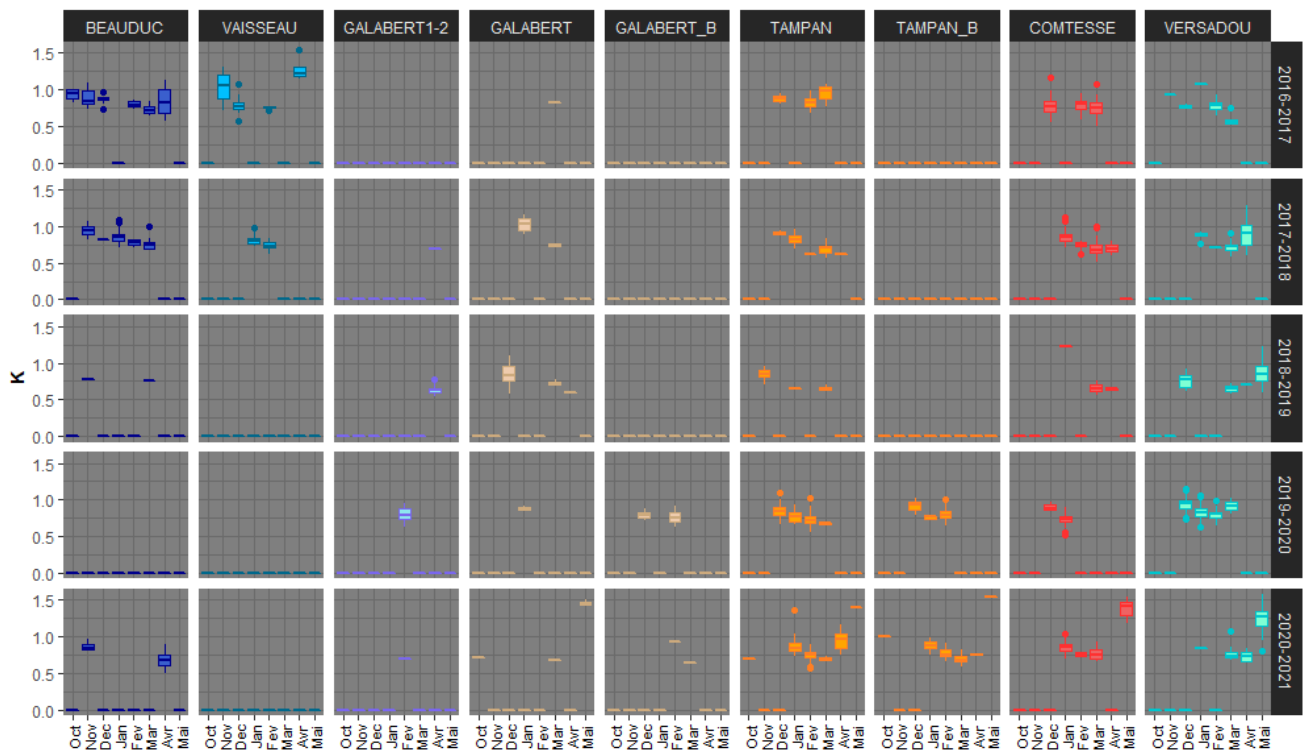


Figure 44 : Indice de condition des cicelles par station, par mois et par année de suivi.

### Franchissement des 4 ouvrages de connexion suivis

L'étude du franchissement pour les civelles montre que, pour les périodes de nuit d'avril à octobre, les fenêtres de montaison sont nettement moins fréquentes que pour les athérines et les juvéniles de sole aux quatre ouvrages de connexion (Figure 45). Ceci résulte de la prise en compte d'un seuil de tolérance à la salinité plus faible (40g/L maximum vs 70 et 50 g/L respectivement), et d'une limite de vitesse de courant sortant plus faible (0.7 vs 1.5 m/s).

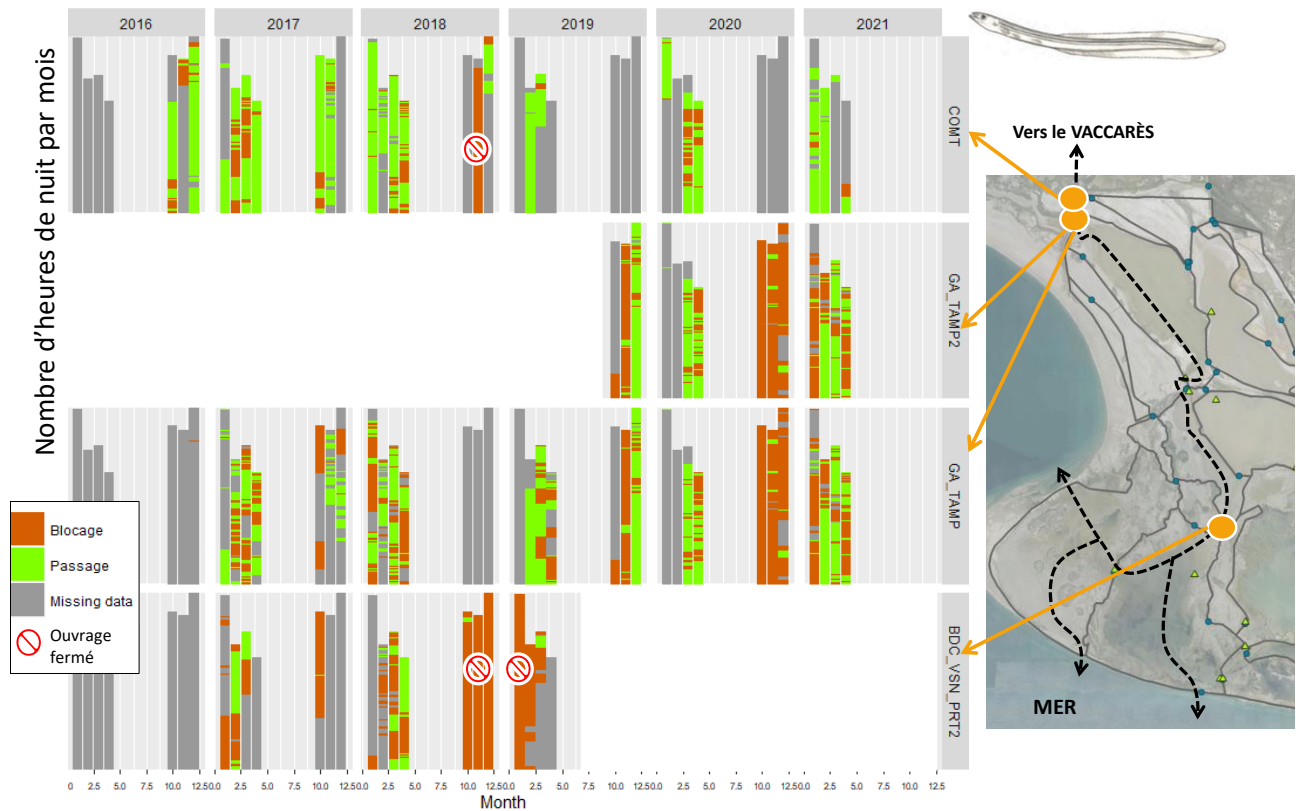


Figure 45 : Franchissement des 3 ouvrages de la Comtesse, du Galabert-Tampan et du Vaisseau-Pourtour du Rascaillan 2 estimée par heure de nuit à partir de seuils de tolérance des civelles vis-à-vis de la température, de la salinité, de la hauteur d'eau et de la vitesse du courant, et présentée par mois pour la période de recrutement d'octobre à avril. Le sens du courant est également pris en compte, seuls les courants sortants sont considérés favorables à la montaison des civelles.

Les mêmes restrictions d'accès relatives à des manipulations d'ouvrage que pour les athérines et les juvéniles de soles sont ici retrouvées (Figure 46A). La fermeture de l'ouvrage du Vaisseau-Pourtour du Rascaillan 2 d'octobre 2018 à février 2019 pourrait fournir une explication au si faible recrutement observé en 2018-2019. A noter toutefois, que cette même année, très peu de civelles ont été capturées y compris à la station de Beauduc. Néanmoins, à la passe-piège de la Fourcade, bien que le recrutement n'ait pas été formidable, il fut bien plus important qu'en 2018 (Lambremon et al., 2020).

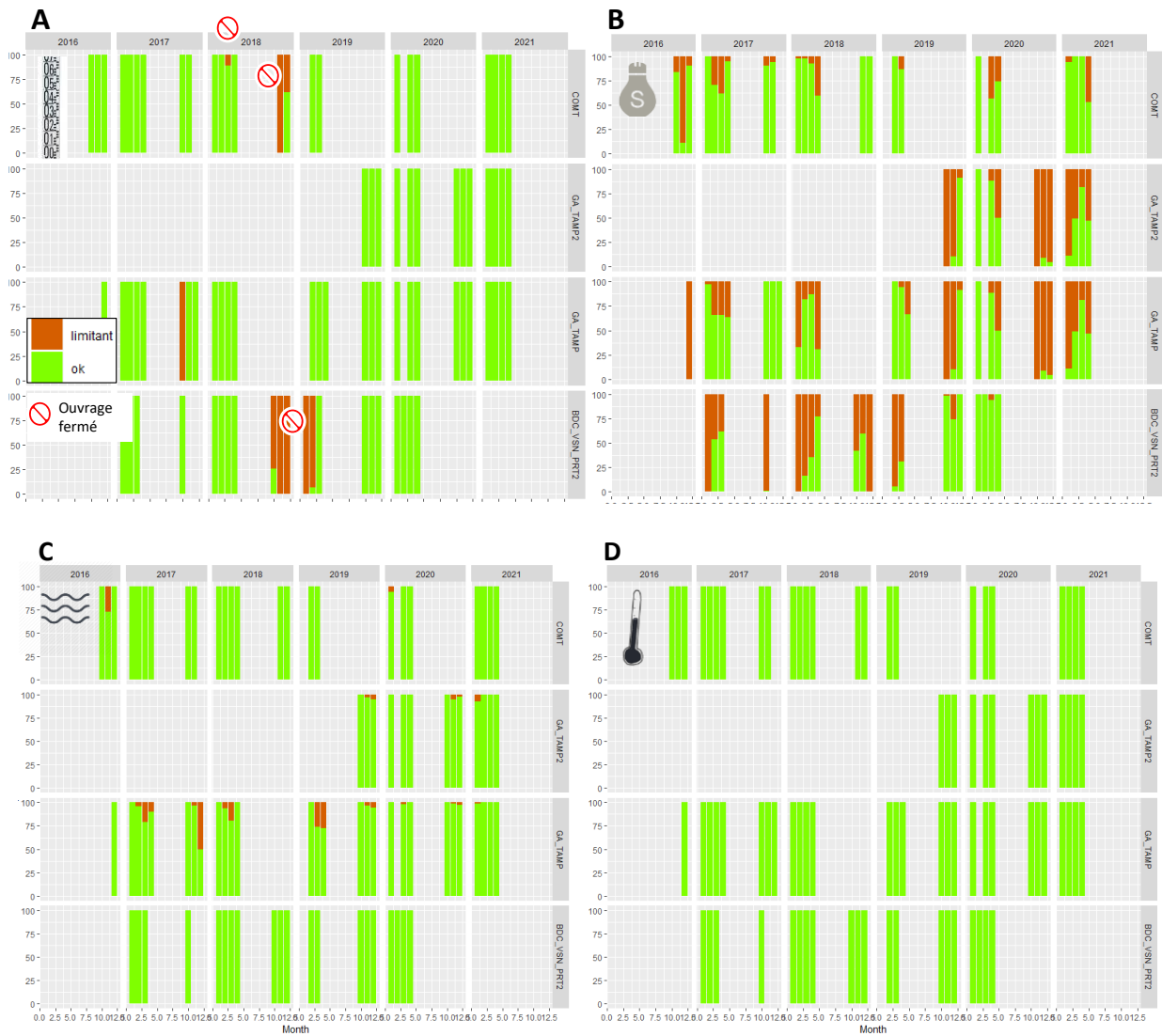


Figure 46 : Barplot représentant le pourcentage du nombre d'heures nuit par mois (où toutes les données sont disponibles) où A/ la hauteur d'eau, B/ la salinité et C/ le sens et la vitesse du courant et D/ la température, qui sont pris en compte dans le calcul de franchissement, sont favorables ou limitants pour le passage des civelles.

La salinité est le facteur le plus régulièrement limitant au niveau des 4 ouvrages et plus fréquemment au niveau de l'ouvrage du Vaisseau-Pourtour du Rascaillan 2 et ceux du Galabert-Tampan (Figure 46B). En 2020, les conditions de salinité au niveau du Vaisseau-Pourtour du Rascaillan 2 ne sont plus qu'épisodiquement limitantes pour le passage des civelles. Tandis qu'au niveau des deux ouvrages Galabert-Tampan, en 2020 et 2021, cette limitation semble au contraire s'accroître.

Au niveau des deux ouvrages entre les étangs du Galabert et du Tampan, quelques périodes sont également bloquantes pour les civelles en raison d'un courant sortant trop élevé (Figure 46C).

### *Influence de paramètres environnementaux*

Les modèles développés pour expliquer la présence et la densité des civelles prennent en compte uniquement les mois d'octobre à avril, pour les 5 années de suivi (Tableau 11, Tableau 12, Tableau A7 -19 et Tableau A7-20).

Le meilleur modèle binomial obtenu pour expliquer la variance des présences de civelles explique jusqu'à 28% de déviance totale. Cette déviance expliquée est principalement liée aux variations interannuelles (2%) et mensuelles (13.7%, Tableau A7 -19). En termes de densité, l'effet principal obtenu est la variabilité interannuelle avec 12.2% de déviance expliquée (Tableau 12).

Que ce soit en termes de présence-absence ou de densité, le recrutement en civelles a été obtenu plus faible en 2018-2019 en comparaison avec les autres années de suivi. Cette variabilité interannuelle ne concorde pas avec celle observée au niveau du pertuis de la Fourcade. À la passe, le recrutement le plus faible (depuis 2004) a été observé pendant la saison 2017-2018. Les conditions hydrauliques atypiques et particulièrement sèches de l'automne 2017 ont été suggérées pour expliquer ce faible recrutement local (Lambremon et al., 2020). L'année 2016-2017 est l'année où le recrutement a été le plus élevé à la passe, suivi de l'année 2019-2020. Nos résultats sont par contre en concordance avec l'indice de recrutement européen du WGEEL (WGEEL, 2018), qui suggère une forte diminution du recrutement en 2018-2019. Toutefois, à l'échelle des anciens salins, une fermeture involontaire d'ouvrage de connexion pourrait également être impliquée dans le faible recrutement observé cette année-là.

Du point de vue des tendances mensuelles, les captures de civelles sont rares voire nulles pendant les mois d'octobre et novembre et plus fréquentes aux mois de février et mars, ce qui correspond au signalement de la passe-piège (Lambremon et al., 2020). Les pics de recrutement surtout obtenus en février et mars au niveau de la passe-piège ne sont pas ici clairement identifiés, les plus fortes CPUE+ étant associée à une large période de décembre à avril. La prise en compte des stades pigmentaires dans ce modèle permettrait sans doute de cibler davantage la période maximale de recrutement (Figure 42).

Malgré l'intégration dans le modèle de la variable *Mois*, qui prend déjà en compte un effet saisonnier de la variation de température, les classes de température de l'eau sont obtenues significatives pour expliquer la présence des civelles (3.3% de déviance expliquée, Tableau 11) et les CPUE+ (6%, Tableau 12). Lorsque les températures de l'eau sont inférieures à 6°C, la probabilité de capturer une civelle est significativement plus faible que lorsque les températures sont supérieures.

Le comportement migratoire actif des civelles est en effet connu pour être fortement réduit à ces faibles températures (A. J. Crivelli et al., 2008; Harrison et al., 2014).

Une part de variance est expliquée par l'effet *Station d'échantillonnage* (7%, Tableau 11) qui met à nouveau en évidence les très faibles présences de civelles au niveau des stations de l'étang du Galabert, aussi bien au Nord (Galabert et Galabert B) qu'au Sud (Galabert 1-2). Cet effet pourrait être lié à l'éloignement de ces stations vis-à-vis des connexions permanentes avec la mer. Toutefois, cela ne permettrait pas d'expliquer pourquoi les présences et les densités de civelles sont parmi les plus élevées à la station du chenal de la Comtesse. En termes de présence-absence, aucune variable relative aux connexions intermittentes avec la mer n'ont un effet significatif. En termes de densité, un vague effet de la variable *Coup de mer* est obtenu, lorsque testé seul, mais à l'opposé (négatif) de celui attendu (positif, 2.4% de déviance expliquée).

La variabilité spatiale des captures de civelles en termes de présence/absence ou de densités positives est davantage expliquée par les classes de salinité. Les captures de civelles sont significativement moins présentes et denses en conditions hyperhalines. L'étang du Galabert est l'étang qui présente les plus fortes salinités. Les eaux oligohalines, qui proviennent principalement dans les EMSC du canal du Versadou, sont associées au plus faibles CPUE+ de civelles. Ce constat est contraire au postulat que les civelles soient généralement attirées par les appels d'eau douce (A. J. Crivelli et al., 2008; Harrison et al., 2014). La période à laquelle les civelles arrivent le plus massivement dans le système, de décembre à mars, est la période où le pompage agricole est le moins utilisé. Les arrivées d'eau douce dans le système dépendent donc essentiellement des précipitations. En cas de fortes précipitations, le pompage du canal du Versadou fonctionne. La bathymétrie du secteur de la Comtesse fait que les eaux du Versadou se déversent surtout en direction du Nord, vers l'étang du Vaccarès. Souvent, à cette époque de l'année, le canal du Versadou a un faible niveau d'eau et sa salinité est supérieure à 5 psu, du moins dans la partie où les filets sont posés, du fait de remontées d'eaux plus salées provenant des étangs. Cela explique certainement cette absence d'attrait des eaux douces. Plus généralement, le faible apport d'eau douce dans les anciens salins peut justement expliquer pourquoi les civelles sont si peu abondantes dans le système.

La hauteur d'eau a un léger effet positif significatif sur la présence des civelles (~1% de déviance expliquée, Tableau 11), ainsi que sur les CPUE+ mais uniquement lorsque testée seule. La hauteur d'eau étant plus élevée aux stations de Beauduc et de la Comtesse, elle reflète également une disparité spatiale.

La vitesse du courant sortant obtient un effet négatif significatif dans les modèles de présence-absence (0.9% de déviance expliquée lorsque l'année de suivi et le mois sont déjà pris en compte). Dans les modèles de densités, la vitesse de courant sortant n'a pas d'effet significatif. Par contre, la vitesse du courant rentrant a un effet significatif négatif (2.2% de déviance expliquée, Tableau 12). Les courants sortants trop élevés apparaissent ainsi plutôt limitants à la remontée des civelles, ce qui peut s'expliquer par leur faible capacité de nage à contre-courant (Harrison et al., 2014). Les courants rentrants n'apparaissent pas non plus favorables à la remontée massive des civelles. Lorsque les courants sont trop forts, les civelles peuvent choisir de s'enfouir dans le substrat. Nos résultats ne permettent pas de mettre en évidence une éventuelle utilisation sélective des courants pour remonter l'hydrosystème (Beaulaton & Castelnaud, 2005; Harrison et al., 2014). En 24h, le temps de pose des filets, les courants peuvent être amenés à changer plusieurs fois de sens.

Un effet significatif de la lune est obtenu dans le modèle de densités intégrant la variabilité interannuelle. La lune noire semble davantage propice à la remontée des civelles que les premiers ou derniers quartiers de lune. L'effet de la lune noire n'est pas significativement différent de celui de la pleine lune, mais le protocole de pêche ayant été réalisé de manière à privilégier au maximum les jours de pêche à proximité des nouvelles lunes, les relèves à proximité des pleines lunes furent plus rares (65 vs 373 relèves). L'effet de la lune est souvent interprété comme un effet de l'intensité lumineuse. Cet effet est également à nuancer en fonction de la turbidité, souvent élevée dans les EMSC, et de la nébulosité (Harrison et al., 2014).

Tableau 11 : Analyse de déviations pour les modèles binomiaux de type GLM développés pour expliquer la variabilité de la présence des civelles à partir des variables abiotiques présélectionnées. Dans la colonne « Effet » est indiqué pour les covariables le coefficient de pente et pour les variables facteurs les différentes modalités classées. La significativité des différences entre les modalités sont indiquées par rapport à la modalité référence signalée en gras. Si les différences ne sont pas significatives, les modalités comparées sont en gris.

Variable testée	AIC	Degrés de liberté	Significativité	Déviante expliquée (%)	Effet / Coefficient de pente
<b>Civelles_Pres ~ Année de suivi</b>	<b>822.16</b>	<b>653</b>	<b>***</b>	<b>2.83</b>	<b>2016-2017 &gt; 2017-2018 &gt; 2019-2020 &gt; 2020-2021 &gt; 2018-2019</b>
+ Mois	719.75	647	***	16.52	10 < 11 < 4 < 1 < 12 < 3 < 2
+ Temp_Man_Fac	792.48	648	***	6.12	inf6 < sup12 < betw. 6 and 12°C
<b>Civelles_Pres ~ Année de suivi + Mois</b>	<b>719.75</b>	<b>647</b>		<b>16.52</b>	
+ Temp_Man_Fac	683.99	642	***	20.64	inf6 < betw. 6 and 12°C < sup12
+ Station	674.01	639	***	23.91	<b>Beauduc</b> > Tampan_B > Tampan > Vaisseau > Comtesse > Versadou > Galabert 1-2 > Galabert_B > Galabert
+ DistSea	715.77	646	*	17.23	-0.05
+ Sal_Man_Fac	715.11	643	*	18.03	<b>hyperhalin</b> < oligohalin < mixoeuhalin < polyhalin < mesohalin
Moon_Fac	710.69	644	**	18.32	last < new < first < full
Moon_Sem	710.36	645	**	18.12	0.5 < 0 < 1
	<b>525.93</b>	<b>464</b>	<b>***</b>	<b>17.69</b>	
+ Vitesse_Sortant	521.04	461	**	18.59	-1.33
+Vitesse_Rentrant	527.19	461	NS		
+Débit_Sortant	526.03	461	NS		
+Débit_Rentrant	525.05	461	NS		
+Haut_mean	518.05	463	**	19.3	0.83
<b>Civelles_Pres ~ Année de suivi + Mois + Temp_Man_Fac</b>	<b>683.99</b>	<b>642</b>		<b>20.64</b>	

Variable testée	AIC	Degrés de liberté	Significativité	Déviance expliquée (%)	Effet / Coefficient de pente
+ Station	641.99	634	***	27.64	<b>Tampan_B &gt; Beauduc &gt;</b> Tampan > Vaisseau > Comtesse > Versadou > Galabert 1-2 > Galabert_B > Galabert
+ Sal_Man_Fac	679.27	638	*	22.18	oligohalin < <b>hyperhalin</b> < mixoeuhalin < polyhalin < mesohalin
	<b>503.53</b>	<b>462</b>		<b>22</b>	
+ Vitesse_Sortant	504.4	459	NS		
+Haut_mean	499.14	461	*	23.05	0.69
<b>Civelles_Pres ~ Année de suivi + Mois + Temp_Man_Fac + Station</b>	<b>641.99</b>	<b>634</b>		<b>27.64</b>	
+ Sal_Man_Fac	644.39	630	NS		oligohalin < <b>hyperhalin</b> < mixoeuhalin < polyhalin < mesohalin
	<b>464.23</b>	<b>455</b>		<b>30.7</b>	
+Haut_mean	462.88	454	NS		

Tableau 12 : Analyse de déviations pour les modèles Gamma (fonction de lien Log) de type GLM développés pour expliquer la variabilité des CPUE positives des civelles à partir des variables abiotiques pré-sélectionnées. Dans la colonne « Effet » est indiqué pour les covariables le coefficient de pente et pour les variables facteurs les différentes modalités classées. La significativité des différences entre les modalités sont indiquées par rapport à la modalité référence signalée en gras. Si les différences ne sont pas significatives, les modalités comparées sont en gris. La fonction *poly()* est appliquée aux covariables pour tester des effets non linéaires d'ordre 2. Dans ce cas, ce sont les deux coefficients de pente associés à cette relation qui sont indiqués dans la colonne « effet ».

Variable testée	AIC	Degrés de liberté	Significativité	Déviante expliquée (%)	Effet / Coefficient de pente
<b>Log(Civelles_CPUE+1)~ Année de suivi +</b>	<b>639.96</b>	<b>210</b>	<b>***</b>	<b>12.16</b>	<b>2016-2017 &gt; 2019-2020 &gt; 2017-2018 &gt; 2020-2021 &gt; 2018-2019</b>
Mois	630.02	204	**	20.24	10 < 11 < 3 < 4 < 2 < 1 < 12
poly(Temp_Man)	639.32	208	NS		
Temp_Man_Fac	626.64	208	***	18.6	betw6and12 > inf6 > sup12
Station	640.16	202	NS		
CM	640.78	209	NS		-0.001
Sal_Man_Fac	625.56	206	***	20.4	<b>Hyperhalin</b> > mesohalin > mixoeuhalin > polyhalin > oligohalin
Niv_Man	638.05	209	NS		-0.004
Niv_Man_Fac	640.35	208	NS		
Moon_Fac	627.81	207	***	18.9	<b>first</b> < last < new < full
Moon_Sem	628.97	208	**	17.76	0.5 < 0 < 1
	503.76	159	***	18.78	<b>2016-2017 &gt; 2019-2020 &gt; 2017-2018 &gt; 2020-2021 &gt; 2018-2019</b>
Vitesse_Sortant	505.14	158	NS		
poly(Vit_Sort,2)	503.72	157	NS		
Vitesse_Rentrant	501	158	*	20.98	-0.48
poly(Vit_Rentr,2)	502.21	157	NS		
Débit_Sortant	505.39	158	NS		
poly(Déb_Sort,2)	507.38	157	NS		
Débit_Rentrant	505.64	158	NS		
poly(Déb_Rentr,2)	506.79	157	NS		
Haut_mean	503.2	158	NS		

Variable testée	AIC	Degrés de liberté	Significativité	Déviante expliquée (%)	Effet / Coefficient de pente
<b>Log(Civelles_CPUE+1)~ Année de suivi + Mois +</b>	<b>630.02</b>	<b>204</b>		<b>20.24</b>	
Temp_Man_Fac	616.3	202	***	26.25	betw6and12 > sup12 > inf6
Sal_Man_Fac	613.02	200	***	28.58	<b>Hyperhalin</b> > mesohalin > mixoeuhalin > polyhalin > oligohalin
Moon_Fac	631.63	201	NS		
Moon_Sem	630.6	202	NS		
	<b>494.54</b>	<b>153</b>		<b>28.14</b>	
Vitesse_Rentrant	495.57	152	NS		
<b>Log(Civelles_CPUE+1)~ Année de suivi + Mois + Temp_Man_Fac +</b>	<b>616.3</b>	<b>202</b>		<b>26.25</b>	
Sal_Man_Fac	597.43	198	***	34.54	<b>Hyperhalin</b> > mesohalin > mixoeuhalin > polyhalin > oligohalin

## Conclusions & Perspectives

Les anciens salins du site des étangs et marais des salins de Camargue constituent un territoire en pleine mutation, qui tend vers un fonctionnement plus naturel avec des échanges hydrobiologiques qui fluctuent au gré des saisons et des aléas météorologiques. Soumis à un climat méditerranéen, les conditions dans les étangs étudiés sont peu propices à la circulation de la macrofaune piscicole pendant la période estivale. En effet, les conditions de sécheresse prolongée peuvent engendrer dans certains étangs peu profonds des niveaux d'eau très faibles et des températures et des salinités très élevées, souvent incompatibles avec la survie de la plupart des espèces aquatiques. Ces conditions peuvent perdurer jusqu'à la saison de l'hiver, comme il l'a été observé notamment au niveau de l'étang du Galabert pendant l'année 2017, une année exceptionnellement sèche avec quasiment aucune précipitation durant l'automne.

Au cours des 5 années consécutives de suivis piscicoles, une structuration du peuplement piscicole transparaît entre les différentes stations d'échantillonnage, marquées au Sud par l'influence proche de la mer, et au Nord, par l'apport saisonnier d'eau douce depuis le canal du Versadou. À toutes les stations ont été observées des espèces euryhalines, des espèces typiquement lagunaires telles que les athérines ou le gobie tacheté, des espèces marines migratrices, telles que les juvéniles de muges, de sole commune ou de dorade royale, ou encore l'anguille européenne, espèce migratrice amphihaline. Ces captures montrent que des échanges biologiques avec la mer s'effectuent et qu'une partie du territoire peut à nouveau jouer un rôle de nourricerie pour des espèces migratrices d'origine marine. Ce rôle de nourricerie nécessite toutefois davantage de données pour être confirmé, notamment en regard du retour en mer des futurs reproducteurs. Une vingtaine de juvéniles de soles (entre 20 et 25 cm de longueur), pêchés à l'automne dans le secteur de la Comtesse, ont été conservés afin d'en prélever les otolithes. À partir de ces concrétions calcaires, il sera possible d'évaluer le taux de croissance et de comparer les signatures chimiques avec d'autres lagunes ou systèmes côtiers. Ces résultats pourraient être utiles pour évaluer la contribution du système Vaccarès au stock reproducteur en mer (Morat, 2011b).

Depuis 2015, les brèches dans les digues du front de mer situées au sud du site se sont accentuées et les entrées de mer intermittentes ou permanentes se sont multipliées, favorisant les échanges hydrobiologiques avec la mer. D'autres entrées de mer intermittentes peuvent court-circuiter le cheminement jusqu'aux étangs de la Réserve Naturelle Nationale de Camargue, en créant des connexions plus directes avec la mer au niveau de l'étang des Batayolles, à l'Ouest de l'étang du Tampan. Les captures de civelles et de juvéniles de soles, parfois en très grand nombre dans le chenal de la Comtesse et quasiment nulles dans l'étang du Galabert, suggèrent fortement une arrivée de ces individus via une connexion intermittente au niveau de l'étang des Batayolles. L'effet des entrées intermittentes n'a pas pu être mis en évidence dans nos modèles et nécessiterait une meilleure caractérisation, en prenant par exemple en compte une plus longue période d'influence (6 jours dans le cas présent).

Les mesures hydrologiques réalisées en continu témoignent du fort hydrodynamisme des EMSC. Le plus souvent, les conditions de circulation du point de vue hydrologique et physico-chimique apparaissent favorables aux espèces euryhalines, du moins aux athérines qui tolèrent des conditions d'hypersalinité jusqu'à 70g/L. Néanmoins, nos modèles montrent que les athérines préfèrent les conditions méso- à polyhalines et sont moins présentes lorsque les courants, entrants

ou sortants, sont les plus forts. Pendant les périodes de février à juin, les juvéniles de soles semblent également éviter les zones hypersalines et apparaissent plus souvent présentes lorsque les débits entrants ou sortants sont élevés. Les civelles, qui ont une capacité de nage limitée, sont significativement moins présentes et abondantes lorsque les vitesses de courant sortant sont élevées. L'effet négatif des températures inférieures à 6°C sur leur mobilité a pu être ici vérifié (A. J. Crivelli et al., 2008). Les captures de civelles restent cependant relativement faibles globalement en comparaison avec les captures réalisées au niveau de la passe-piège du pertuis de la Fourcade, ce qui peut être expliqué par des appels d'eau douce relativement faibles du côté des EMSC.

La densité, la taille et la condition des captures globalement plus élevées dans le secteur de la Comtesse (étang du Tampan, chenal de la Comtesse) suggèrent que les conditions dans les autres secteurs des EMSC peuvent encore s'améliorer, notamment du point de vue de la salinité et des ressources trophiques. L'étang du Galabert a montré tout au long du suivi des salinités très élevées. Depuis l'automne 2019, un nouvel ouvrage de connexion de 6m de large a été construit en supplément de l'ancien ouvrage de connexion (à peine environ 1 m d'ouverture, Figure A3-65). Par ailleurs, des travaux de décloisonnement ont été réalisés sur les secteurs de l'étang du Rascaillan et du Pourtour du Rascaillan. Avec ces nouvelles communications hydrauliques, les échanges hydrologiques sont amplifiés et une diminution de la charge en sel, notamment de l'étang du Galabert s'observe déjà. Il sera intéressant d'étudier d'ici 5 années comment les peuplements piscicoles évoluent dorénavant et si davantage d'espèces migratrices d'origine marine y seront observées. L'arrivée récente de nouvelles espèces envahissantes telles que le crabe bleu (*Callinectes sapidus*) pourra d'ici là avoir également engendré de fortes modifications du peuplement.

Dans le présent rapport, les données relatives au crabe vert et à la crevette grise, ainsi qu'à la dévalaison des anguilles, n'ont pas été exploitées. L'utilisation de ces données permettrait d'apporter davantage d'éléments pour discuter du degré de connexion du cheminement entre la mer et l'étang du Vaccarès *via* les EMSC. Des pics de dévalaison d'anguilles argentées mâles ont en tout cas été observés chaque année pendant les mois d'automne à la station de la Gaze du Marteau, suggérant que ces anguilles peuvent chercher une nouvelle voie de migration pour leur retour en mer *via* les EMSC.

## Remerciements

Les cinq années de suivis piscicoles ont été réalisées grâce à la participation de très nombreux volontaires enthousiastes ([Annexe 1](#)) et de conditions météorologiques le plus souvent clémentes. Ce fut une expérience très enrichissante, qui a permis de s'imprégner, mois après mois, de l'évolution des paysages émergés et submergés. Un grand nombre de personnes ont pu être initiés à la pêche scientifique et à l'écologie des espèces aquatiques, directement sur le terrain et à travers des comptes rendus illustrés diffusés après chaque campagne de pêche. Nous tenons à exprimer nos plus vifs remerciements aux nombreux services civiques et volontaires européens qui ont épaulé l'équipe permanente (en particulier Anaïs Cognet, Lucía Llorente Zubiri, Raquel Ambrosio, Nolan Boutry-Thivin, Carole Leray, Pelayo Menendez, Eleonora Saccon, Juliette Biquet, Camille Muriany, Corentin Rollet, Erika Audry, Kim Ferjancic, Lauren Redmond et Hugo Ferreira) ainsi qu'au pêcheur professionnel M. Maillis. Nous remercions également chaleureusement nos financeurs (Agence de l'eau Rhône Méditerranée Corse, Région Sud Provence Alpes Côte d'Azur, WWF France, Française des Jeux et Fondation Coca-Cola), ainsi que les co-gestionnaires du site (Parc Naturel Régional de Camargue et la Société Nationale de Protection de la Nature) qui nous ont aidés sur le terrain et qui nous ont permis d'accéder à des jeux de données environnementales de qualité.

## Références

- Acou, A., Lefebvre, F., Contournet, P., Poizat, G., Panfili, J., & Crivelli, A. J. (2003). Silvering of female eels (*Anguilla anguilla*) in two sub-populations of the Rhône delta. *Bulletin Français de La Pêche et de La Pisciculture*, 368, 55–68. <https://doi.org/10.1051/kmae:2003036>
- Bardin, O., & Pont, D. (2002). Environmental factors controlling the spring immigration of two estuarine fishes *Atherina boyeri* and *Pomatoschistus* spp. Into a Mediterranean lagoon. *Journal of Fish Biology*, 61(3), 560–578. <https://doi.org/10.1111/j.1095-8649.2002.tb00896.x>
- Beaulaton, L., & Castelnaud, G. (2005). The efficiency of selective tidal stream transport in glass eel entering the Gironde (France). *Bulletin Français de La Pêche et de La Pisciculture*, 378–379, 5–21. <https://doi.org/10.1051/kmae:2005001>
- Beaulaton, L. & Pénil, C. (2009). *Protocole anguille: Indice oculaire*. Onema.
- Beck, M. W., Heck, K. L., Able, K. W., Childers, D. L., Eggleston, D. B., Gillanders, B. M., Halpern, B., Hays, C. G., Hoshino, K., Minello, T. J., Orth, R. J., Sheridan, P. F., & Weinstein, M. R. (2001). The identification, conservation, and management of estuarine and marine nurseries for fish and invertebrates. *Bioscience*, 51(8), 633–641.
- Berrebi, P., Rodriguez, P., Tomasini, J.-A., Cattaneo-Berrebi, G., & Crivelli, A. J. (2005). Differential distribution of the two cryptic species, *Pomatoschistus microps* and *P. marmoratus*, in the lagoons of southern France, with an emphasis on the genetic organisation of *P. microps*. *Estuarine, Coastal and Shelf Science*, 65(4), 708–716.
- Bevacqua, D., Melia, P., Crivelli, A. J., De Leo, G. A., & Gatto, M. (2006). Timing and rate of sexual maturation of European eel in brackish and freshwater environments. *Journal of Fish Biology*, 69, 200–208.
- Boutron, O., Paugam, C., Luna-Laurent, E., Chauvelon, P., Sous, D., Rey, V., Meulé, S., Chérain, Y., Cheiron, A., & Migne, E. (2021). *Hydro-Saline Dynamics of a Shallow Mediterranean Coastal Lagoon: Complementary Information from Short and Long Term Monitoring*. 26.
- Briand, C., Fatin, D., Ciccotti, E., & Lambert, P. (2005). A stage-structured model to predict the effect of temperature and salinity on glass eel *Anguilla anguilla* pigmentation development. *Journal of Fish Biology*, 67(4), 993–1009. <https://doi.org/10.1111/j.0022-1112.2005.00798.x>
- Briand, C., Fatin, D., & Lambert, P. (2004). *Effets de la température et de la salinité sur le développement de la pigmentation des civelles (Anguilla anguilla)*. 8.
- Bru, N., Prouzet, P., & Lejeune, M. (2009). Daily and seasonal estimates of the recruitment and biomass of glass eels runs (*Anguilla anguilla*) and exploitation rates in the Adour open estuary (Southwestern France). *Aquatic Living Resources*, 22(4), 509–523. <https://doi.org/10.1051/alr/2009050>
- Brujij, M. C. M., & Durif, C. M. F. (2009). Silver Eel Migration and Behaviour. In G. van den Thillart, S. Dufour, & J. C. Rankin (Eds.), *Spawning Migration of the European Eel: Reproduction Index, a Useful Tool for Conservation Management* (pp. 65–95). Springer Netherlands. [https://doi.org/10.1007/978-1-4020-9095-0\\_4](https://doi.org/10.1007/978-1-4020-9095-0_4)
- Crivelli, A. (2001). Les Poissons. In *Guide méthodologique de gestion des lagunes méditerranéennes—Tome 2, Les espèces* (Institut Français de Recherche pour l'exploitation de la mer

(IFREMER), Conservatoire de l'Espace Littoral et des Rivages lacustres (CELRL) | CEPALMAR, pp. 179–209).

Crivelli, A. J. (1981). Les peuplements de poissons de la Camargue. *Revue d'Ecologie (Terre et Vie)*, 35, 617–671.

Crivelli, A. J., Auphan, N., Chauvelon, P., Sandoz, A., Menella, J.-Y., & Poizat, G. (2008). Glass eel recruitment, *Anguilla anguilla* (L.), in a Mediterranean lagoon assessed by a glass eel trap: Factors explaining the catches. *Hydrobiologia*, 602(1), 79–86. <https://doi.org/10.1007/s10750-008-9283-6>

Crivelli, A. J., & Poizat, G. (2001). Timing of migration and exceptional growth of YOY *Alosa fallax rhodanensis* (Roule, 1924) in a lagoon in Southern France. *Bulletin Français de Pêche et de Pisciculture*, 362/363, 761–772.

Desaunay, Y., & Guerault, D. (1997). Seasonal and long-term changes in biometrics of eel larvae: A possible relationship between recruitment variation and North Atlantic ecosystem productivity. *Journal of Fish Biology*, 51(sA), 317–339. <https://doi.org/10.1111/j.1095-8649.1997.tb06106.x>

Dubettier, R. (2021). *Diagnostic moléculaire de jeunes stades de poissons Mugilidae* (p. 43) [2ème année BTS Biotechnologies]. ISEM, Université de Montpellier.

Edeline, E., Lambert, P., Rigaud, C., & Elie, P. (2006). Effects of body condition and water temperature on *Anguilla anguilla* glass eel migratory behavior. *Journal of Experimental Marine Biology and Ecology*, 331(2), 217–225. <https://doi.org/10.1016/j.jembe.2005.10.011>

Elie, P., & Rochard, E. (1994). Migration des Civelles d'anguilles (*Anguilla anguilla* L.) dans les estuaires, modalités du phénomène et caractéristiques des individus. *Bulletin Français de La Pêche et de La Pisciculture*, 335, 81–98.

Elliott, M., Whitfield, A. K., Potter, I. C., Blaber, S. J. M., Cyrus, D. P., Nordlie, F. G., & Harrison, T. D. (2007). The guild approach to categorizing estuarine fish assemblages: A global review. *Fish and Fisheries*, 8(3), 241–268.

Focant, B., Rosecchi, E., & Crivelli, A. J. (1999). Attempt at biochemical characterization of sand smelt *Atherina boyeri* Risso, 1810 (Pisces, Atherinidae) populations from the Camargue (Rhône delta, France). *Part B*, 7.

Fonds, M. (1979). Laboratory Observations on the Influence of Temperature and Salinity on Development of the Eggs and Growth of the Larvae of *Solea solea* (Pisces). *Marine Ecology-Progress Series*, 1, 91–99.

Franco, A., Elliott, M., Franzoi, P., & Torricelli, P. (2008). Life strategies of fishes in European estuaries: The functional guild approach. *Marine Ecology Progress Series*, 354, 219–228. <https://doi.org/10.3354/meps07203>

Gaertner, J., Chessel, D., & Bertrand, J. (1998). Stability of spatial structures of demersal assemblages: A multitable approach. *Aquatic Living Resources*, 11(2), 75–85. [https://doi.org/10.1016/S0990-7440\(98\)80063-6](https://doi.org/10.1016/S0990-7440(98)80063-6)

Gelin, A. (2001). *Ecologie des populations de crustacés décapodes de Camargue: Influence des variations de la salinité*. Université de la Méditerranée.

Gelin, A., Crivelli, A. J., Rosecchi, E., & Kerambrun, P. (2000). Is the brown shrimp Crangon crangon (L.) population of the Vaccarès lagoon (Camargue, France, Rhône delta) an annual population? *Comptes Rendus de l'Académie Des Sciences. Serie III, Sciences de La Vie*, 323(8), 741–748.

Harrison, A. J., Walker, A. M., Pinder, A. C., Briand, C., & Aprahamian, M. W. (2014). A review of glass eel migratory behaviour, sampling techniques and abundance estimates in estuaries: Implications for assessing recruitment, local production and exploitation. *Reviews in Fish Biology and Fisheries*, 24(4), 967–983. <https://doi.org/10.1007/s11160-014-9356-8>

Jellyman, D. J., & Lambert, P. W. (2003). Factors affecting recruitment of glass eels into the Grey River, New Zealand. *Journal of Fish Biology*, 63(5), 1067–1079. <https://doi.org/10.1046/j.1095-8649.2003.00220.x>

Kara, M. H., & Quignard, J.-P. (2018a). *Les poissons des lagunes et des estuaires de Méditerranée 2—Les poissons sédentaires* (ISTE Editions Ltd).

Kara, M. H., & Quignard, J.-P. (2018b). *Les poissons des lagunes et des estuaires de Méditerranée 3B - Les poissons migrants* (ISTE Editions Ltd).

Lambremon, J., Nicolas, D., Crivelli, A. J., Contournet, P., Campton, P., & Perrier, C. (2020). *Etude du recrutement en civelles et de leur devenir dans l'étang du Vaccarès. Cohorte 2018- 2019—Tendances 2004-2019* [Association MRM, Fédération Nationale de Pêche, Tour du Valat].

Lambremon, J., Nicolas, D., Georgeon, M., Crivelli, A. J., Contournet, P., & Lebel, I. (2019). *Etude du recrutement en civelles et de leur devenir dans l'étang du Vaccarès. Cohorte 2017- 2018*. [Association MRM, Fédération Nationale de Pêche, Tour du Valat].

Lefebvre, F., Sergent, E., Acou, A., Lecomte-Finiger, R., & Crivelli, A. J. (2003). Recrutement des civelles (*Anguilla anguilla*) sur la côte méditerranéenne française: Analyse comparée des caractéristiques biométriques et pigmentaires des saisons 1974-75 et 2000-01. *Bulletin Français de la Pêche et de la Pisciculture*, 368, 85–96. <https://doi.org/10.1051/kmae:2003038>

Louisy, P. (2005). *Guide d'identification des poissons marins. Europe de l'ouest et Méditerranée* (2e ed.).

Morat, F. (2011a). *Influence des apports rhodaniens sur les traits d'histoire de vie de la sole commune (Solea solea): Apports de l'analyse structurale et minéralogique des otolithes*. Aix-Marseille 2.

Morat, F. (2011b). *Influence des apports rhodaniens sur les traits d'histoire de vie de la sole commune (Solea solea): Apports de l'analyse structurale et minéralogique des otolithes*. Aix-Marseille 2.

Nicolas, D. (2010). *Des poissons sous influence? Une analyse à large échelle des relations entre les gradients abiotiques et l'ichtyofaune des estuaires tidaux européens* [Thèse Doctorat].

Okamura, A. (2002). Exotic silver eels *Anguilla anguilla* in Japanese waters: Seaward migration and environmental factors. *Aquatic Living Resources*, 15(6), 335–341. [https://doi.org/10.1016/S0990-7440\(02\)01190-7](https://doi.org/10.1016/S0990-7440(02)01190-7)

Pampoulie, C., Chauvelon, P., Rosecchi, E., Bouchereau, J.-L., & Crivelli, A. J. (2001). Environmental factors influencing the gobiid assemblage of a Mediterranean Lagoon: Empirical

evidence from a long-term study. *Hydrobiologia*, 445(1–3), 175–181. <https://doi.org/10.1023/A:1017565715463>

Pénil, C., Beaulaton, L., Gatel, F., & Girard, P. (2011). *Guide pratique d'évaluation de l'état sanitaire des anguilles—Méthode non létale d'identification des principales lésions anatomomorphologiques et des principaux parasites externes de l'anguille*. Onema.

*Plan de gestion anguille de la France. Rapport de mise en oeuvre—Juin 2015. Article 9 du R (CE) n°1100/2007*. (2015).

Poizat, G., Chauvelon, P., Rosecchi, E., Crivelli, A. J., & Contournet, P. (1999). Passage de poissons du Rhône par les pompes d'irrigation de Camargue: Premiers résultats. *Bulletin Français de La Pêche et de La Pisciculture*, 352, 31–43. <https://doi.org/10.1051/kmae:1999019>

Poizat, G., & Crivelli, A. J. (1997). Use of seasonally flooded marshes by fish in a Mediterranean wetland: Timing and demographic consequences. *Journal of Fish Biology*, 51(1), 106–119. <https://doi.org/10.1111/j.1095-8649.1997.tb02517.x>

Poizat, G., Rosecchi, E., Chauvelon, P., Contournet, P., & Crivelli, A. J. (2004). Long-term fish and macro-crustacean community variation in a Mediterranean lagoon. *Estuarine, Coastal and Shelf Science*, 59(4), 615–624.

R Development Core Team, . (2005). *R: a language and environment for statistical computing*. R Foundation for Statistical Computing.

Rosecchi, E., Chauvelon, P., Poizat, G., & Crivelli, A. J. (1998). *Conséquences de la variabilité hydro-saline d'un complexe lagunaire méditerranéen, induite par la gestion hydraulique et les contraintes climatiques, sur ses peuplements piscicoles: Le cas du système Vaccarès*. [http://www.tourduvalat.org/sites/default/files/liteau1\\_camargue\\_rapport\\_final.pdf](http://www.tourduvalat.org/sites/default/files/liteau1_camargue_rapport_final.pdf)

Rosecchi, E., & Crivelli, A. J. (1992). Study of a sand smelt (*Atherina boyeri* Risso 1810) population reproducing in fresh water. *Ecology of Freshwater Fish*, 1(2), 77–85. <https://doi.org/10.1111/j.1600-0633.1992.tb00076.x>

Rosecchi, E., & Crivelli, A. J. (1995). Sand smelt (*Atherina boyeri*) migration within the water system of the Camargue, southern France. *Hydrobiologia*, 300–301(1), 289–298. <https://doi.org/10.1007/BF00024469>

Sartor, P., Sbrana, M., Ungaro, N., Marano, C. A., Piccinetti, C., & Manfrin, G. P. (2002). Distribution and abundance of *Citharus linguatula*, *Lepidorhombus boscii*, and *Solea vulgaris* (Osteichthyes: Pleuronectiformes) in the Mediterranean Sea. *Scientia Marina*, 66, 83–102.

Trancart, T., Feunteun, E., Danet, V., Carpentier, A., Mazel, V., Charrier, F., Druet, M., & Acou, A. (2017). Migration behaviour and escapement of European silver eels from a large lake and wetland system subject to water level management (Grand-Lieu Lake, France): New insights from regulated acoustic telemetry data. *Ecology of Freshwater Fish*, n/a-n/a. <https://doi.org/10.1111/eff.12371>

WGEEL. (2018). *Report of the Joint EIFAAC/ICES/GFCM Working Group on Eels (WGEEL)*. 151.

Wilson, J. M., Reis-Santos, P., Fonseca, A.-V., Antunes, J. C., Bouça, P. D., & Coimbra, J. (2007). Seasonal changes in ionoregulatory variables of the glass eel *Anguilla anguilla* following estuarine entry: Comparison with resident elvers. *Journal of Fish Biology*, 70(4), 1239–1253. <https://doi.org/10.1111/j.1095-8649.2007.01411.x>

## ANNEXES

## Annexe 1 : Planning des pêches scientifiques réalisées dans les EMSC et liste des participants

**Année 2016-2017 :**

	17-20 Oct. 2016		14-18 Nov. 2016		12-16 Dec. 2016		23-27 Janv. 2017		20-24 Fev. 2017	
	Beauduc	Comtesse	Beauduc	Comtesse	Beauduc	Comtesse	Beauduc	Comtesse	Beauduc	Comtesse
<b>Lundi</b>	Samuel (TDV), Camille (SC), M. Maillis (Pêcheur pro.)	Pascal (TDV), Florian (SC), Delphine (TDV)	Samuel, Camille, M.Maillis	Pascal, Florian	Samuel, M.Maillis	Pascal, Florian	Samuel, Camille, M. Maillis	Pascal, Florian	Delphine, M. Maillis, Kim (E+)	Pascal, Florian
<b>Mardi</b>	Samuel, Camille, M. Maillis	Pascal, Florian, Erika (SC), Delphine	Samuel, Camille, M.Maillis	Pascal, Florian, Delphine, Nicole Yavercovski (TDV)	Samuel, Camille, M.Maillis	Pascal, Florian, Delphine, Carole, Emeline Sabourin (TDV)	Samuel, Camille, M. Maillis, Carole	Pascal, Florian, Emilie, Delphine, Christelle Tougard (ISEM Montpellier), Jehan Hervé-Lignot (MARBEC Montpellier)	Delphine, Florian, M. Maillis, Kim	Pascal, Emilie, Carole, Clément (stagiaire BTS), Carole Nourry (ONCFS)
<b>Mercredi</b>	Samuel, Camille, M. Maillis, Delphine	Pascal, Florian, Erika, Carole (SC)	Samuel, Camille, M.Maillis	Pascal, Florian, Carole, Violaine Doreau (PNRC), Emmanuel <i>Violet</i> (PNRC)	Delphine, Camille, M.Maillis	Pascal, Florian, Nathalie Barre (TDV), Terence Gaget (Stagiaire 3ème)	Samuel, Delphine, Camille	Pascal, Florian, Emilie, Carole, Elie Gaget (TDV)	Delphine, Florian, Cyril Girard, M. Maillis	Pascal, Emilie, Kim, Clément, Nadège
<b>Jeudi</b>	Delphine, Camille, M.Maillis	Pascal, Florian, Erika, Carole, Kamel El Bachir (TDV), Laurent Brosse (Aqua-Logiq)	Samuel, Camille, M. Maillis, Delphine, Cyril Girard (Illustrateur)	Pascal, Florian, Sophie Guingand (TDV), Gwenael Wasse (TDV)	Samuel, Camille, M.Maillis,	Pascal, Florian, Carole, Ilse Geijzendorffer (TDV)	Samuel, Carole, Nadège (SC), Charlotte (TDV)	Pascal, Florian, Emilie, Lisa Ernoul (TDV), Marc Thibault (TDV)	Delphine, Florian, M. Maillis, Kim	Pascal, Emilie, Carole, Clément, Thomas Galewsky (TDV)
<b>Vendredi</b>	-	-	Delphine, Camille	Pascal, Florian	Samuel, Camille	-	-	Pascal, Florian	Delphine, Florian, M. Maillis, Kim	-

TDV = Personnel Tour du Valat ; SC= Service civique TDV; SVE = Service volontaire européen TDV ; E+=Erasmus+ TDV ; PNRC = Parc Naturel Régional de Camargue ; SNPN = Société Nationale de Protection de la Nature.

	21-23 Mars 2017		18-21 Avr. 2017		15-19 Mai 2017		19-22 Juin 2017	
	Beauduc	Comtesse	Beauduc	Comtesse	Beauduc	Comtesse	Beauduc	Comtesse
<b>Lundi</b>	Samuel, M. Maillis	Pascal, Florian	Delphine, M.Maillis	Pascal, Florian	Samuel, M.Maillis	Pascal, Florian	Samuel, Corentin (SC)	Pascal, Florian
<b>Mardi</b>	Samuel, Kim, M. Maillis	Pascal, Emilie, Florian, Delphine, Delphine Marobin (PNRC)	Delphine, M. Maillis, Kim	Pascal, Emilie, Florian, Christelle Tougard, Nigel Taylor (TDV), Sanae Zinouni (TDV)	Samuel, Kim, M.Maillis	Pascal, Emilie, Florian, Delphine, Muriel (TDV), Coralie (MedWet)	Samuel, Corentin	Pascal, Emilie, Florian, Christelle Tougard, Stéphanie Bertrand, Lionel et Dominique (CD13)
<b>Mercredi</b>	Samuel, Kim, Delphine, M. Maillis, Claire Tetrel (PNRC)	Pascal, Emilie, Florian, Gaëtan Lefebvre (TDV), Brigitte Poulain (TDV), Christelle Tougard	Delphine, Kim, Laura Dami (TDV), Corentin (SC)	Pascal, Emilie, Florian, Carole, Erika, Virgine Mauclert (TDV)	Samuel, Kim, Delphine, M.Maillis	Pascal, Emilie, Florian, Irène Badone (E+), Nigel (TDV), Nicole Y.	Samuel, Corentin, Lucien, Julie G. (ONCFS)	Pascal, Emilie, Florian, Carole, Maïlis (MedWet)
<b>Jeudi</b>	Samuel, Kim, M. Maillis, Arnaud (Stagiaire M2)	Pascal, Emilie, Florian, Delphine, Nicola Chericoni (stagiaire M2 SNPNTD)	Delphine, Kim, Nicola, Maïlis (stagiaire BTS)	Pascal, Emilie, Florian, Nadège, Charlotte R. (SC), Jean Roché (Photograph)	Samuel, Kim, Antoine Gazaix (TDV), M.Maillis	Pascal, Emilie, Florian, Carole, Lucien (bénévole TDV)	Samuel, Nadège, Solenne (stagiaire), Virginie M. (TDV)	Pascal, Emilie, Florian, Silke Befeld (SNPN)
<b>Vendredi</b>	-	-	-	-	Samuel, Florian	-	-	-

**Année 2017-2018 :**

	9-12 Oct. 2017		20-24 Nov. 2017		11-15 Dec. 2017		15-19 Janv. 2018		12-16 Fev. 2018	
	Beauduc	Comtesse	Beauduc	Comtesse	Beauduc	Comtesse	Beauduc	Comtesse	Beauduc	Comtesse
<b>Lundi</b>	Samuel (TDV), Corentin (SC)	Pascal (TDV), Florian (SC)	Samuel, Corentin	Pascal, Florian	Samuel, Corentin	Pascal, Hugo F.	Samuel	Pascal, Hugo	Samuel	Pascal, Dorian
<b>Mardi</b>	Samuel, Corentin, Lauren (SE), Hugo F. (SE)	Pascal, Emilie (TDV), Florian, Marion V. (TDV), équipe anglo- polonaise (épinoches)	Samuel, Corentin, Mailis (MedWet)	Pascal, Emilie, Florian, Delphine, Hugo F.	Samuel, Corentin	Pascal, Emilie, Hugo F., Lauren, Sofia (SE)	Samuel, Lauren	Pascal, Emilie, Delphine, Dorian (SC), Jehan Hervé- Lignot (MARBEC Montpellier)	Samuel, Corentin	Pascal, Dorian, Emilie, Delphine, Lauren, Gwenaël W. (TDV)
<b>Mercredi</b>	Samuel, Corentin, Lauren	Pascal, Emilie, Florian, Delphine (TDV), Hugo F.	Samuel, Corentin, Antoine A. (TDV)	Pascal, Emilie, Delphine, Emeline S. (TDV), Laura Dami (TDV)	Samuel, Corentin, Delphine, Lauren	Pascal, Christelle Tougaard, Yves Tougaard, Marion L. (TDV), Carole (SC)	Samuel, Corentin, Delphine, Justine Rouchon (SC)	Pascal, Dorian, Emilie, Ilse Geijendorffer (TDV), Marc Thibault (TDV)	Samuel, Corentin	Pascal, Dorian, Suzanne Catteau (TDV), Hélène Baudel (stagiaire M2), Abdelhamid Azeroual (prof. université Maroc)
<b>Jeudi</b>	Samuel, Corentin, Delphine, Lauren, équipe anglo- polonaise (épinoches)	Pascal, Emilie, Florian, Jean- Claude Pic (TDV), Christelle Tougaard (ISEM Montpellier) et Yves Tougaard	Samuel, Corentin	Pascal, Emilie, Florian, Hugo F., Isabelle (MedWet)	Samuel, Corentin, Lauren	Pascal, Emilie, Delphine, Carole, Clément (SC)	Samuel, Lauren	Pascal, Dorian, Emilie, Corentin, Christophe Blazy (bénévole)	Samuel, Corentin, Lauren, Abdelhamid Azeroual, Delphine	Pascal, Dorian, Emilie, Justine, Delphine Marobin (PNRC)
<b>Vendredi</b>	-	-	-	-	-	Pascal, Emilie, Delphine, Corentin, Lauren	Samuel, Corentin	-	Samuel, Corentin	-

	12-16 Mars 2018		9-13 Avril 2018		14-18 Mai 2018		11-15 Juin 2018	
	Beauduc	Comtesse	Beauduc	Comtesse	Beauduc	Comtesse	Beauduc	Comtesse
<b>Lundi</b>	Samuel	Dorian, Corentin	Samuel, Lauren	Pascal, Dorian	Samuel	Pascal, Dorian	Samuel	Pascal, Dorian
<b>Mardi</b>	Samuel, Corentin	Dorian, Emilie, Delphine, Hugo L.V., Fanny Guillaud (stagiaire M2)	Samuel, Stéphane Mutel (stagiaire M2)	Pascal, Emilie, Delphine, Lauren, Dorian	Samuel, Lauren	Pascal, Dorian, Delphine, Emilie, Jean Jalbert (TDV)	Samuel, Lauren	Pascal, Dorian, Amélie Granger (stagiaire M2), Nathalie Barré (TDV), Hugo L.V.
<b>Mercredi</b>	Samuel, Corentin	Dorian, Emilie, Delphine, Justine, Benjamin (thésard ONCFS/TDV)	Samuel, Delphine, Baptiste S. (stagiaire M2), Nicole Bonfils (TDV)	Pascal, Dorian, Stéphane M., Hugo L.V. (SC), Benjamin Bricault (SNPN)	Samuel, Emilie	Pascal, Dorian, Delphine, Audrey et Amélie (stagiaires M1)	Samuel, Baptiste S. (stagiaire M2)	Pascal, Dorian, Justine, Aurore Fayard (stagiaire M2), Irene Badone (E+)
<b>Jedi</b>	Samuel, Corentin	Dorian, Emilie, Lauren, Galvin, Baptiste Segura (stagiaire M2)	Samuel, Lauren	Pascal, Dorian, Emilie, André Luna-Laurent (bénévole), Delphine Marobin-Louche (PNRC), Cléia (stagiaire 3ème PNRC)	Samuel, Claire Tetrel (PNRC), Isabelle (stagiaire PNRC)	Pascal, Dorian, Delphine, Hugo L.V., Marie Granier (PNRC)	Samuel, Lauren	Pascal, Dorian, Sandy Vérin (stagiaire M2), Baptiste S., Nicolas Martin (stagiaire DUT)
<b>Vendredi</b>	Samuel, Corentin	-	Samuel, Lauren	-	Samuel, Dorian	-	Samuel, Léa Riera (TDV)	-

**Année 2018-2019 :**

	8-12 Oct. 2018		5-9 Nov. 2018		3-7 Déc. 2018		7-10 Jan. 2019		4-7 Fév. 2019	
	Beauduc	Comtesse	Beauduc	Comtesse	Beauduc	Comtesse	Beauduc	Comtesse	Beauduc	Comtesse
<b>Lundi</b>	Samuel, Florent (SC)	Pascal, Dorian	Samuel, Florent (SC)	Pascal, Dorian	Samuel, Florent (SC)	Pascal, Dorian	Samuel, Florent (SC)	Pascal, Dorian	Samuel, Florent (SC)	Pascal, François Marc (stagiaire BTS GPN)
<b>Mardi</b>	Samuel, Florent	Pascal, Dorian, Emilie, Hugo F. (SC), Hugo L-V. (SC), Sarra Chabou (Thésarde algérienne)	Samuel, Florent, Kamel (TdV)	Pascal, Dorian, Emilie, Delphine, Emeline (Thésarde TdV), Sylviane Johnson (Amis de la TdV)	Samuel, Florent, Carole Leray (Bénévole)	Pascal, Dorian, Emilie, Delphine, David (Thésard TdV), Oscar (Postdoc TdV), [+Frankjan Sipkes Duijsens Artiste-Photographe]	Samuel, Delphine	Pascal, Dorian, Antoine, Hugo L.V. (SC), Oscar (Postdoc)	Samuel, Delphine	Pascal, François, Emilie, Carole (bénévole), Frédérique et Bernard Mallet (bénévoles)
<b>Mercredi</b>	Samuel, Florent	Pascal, Dorian, Antoine A., Hugo F., Evelyne Viloeau (Amis TDV)	Samuel, Florent, Jordane Lambremon (MRM), Antoine Caudiu (MRM) et Alexandre Masne (MRM)	Pascal, Dorian, Antoine A., Emeline, Benjamin Solgrain (SC), Evelyne Viloteau (Amis de la TdV)	Samuel, Florent, Delphine, Cyril Girard (Dessinateur) [+Frankjan Sipkes Duijsens]	Pascal, Dorian, Emilie, Benjamin (SC), Carole	Samuel, Hugo F. (SC)	Pascal, Dorian, Emilie, Carole, Marc Thibaud, Bruno Guinand (ISEM, Montpellier)	Samuel, Claire Tétrel (PNRC)	Pascal, François, Delphine, Dorian (bénévole), Aurélie Lassus-Débat (PNRC), Anne-Sophie Hervy (TdV), Hugo Grillas (bénévole)
<b>Jeudi</b>	Samuel, Florent	Pascal, Dorian, Emilie, Lorena Segura-Champagnon (TDV), Jocelyn Champagnon (TDV), Gwenaël Wasse (TDV)	Samuel, Florent, Emeline	Pascal, Dorian, Emilie, Emmanuelle Migne (SNPN), Frédérique et Bernard Mallet (pêcheurs)	Samuel, Florent, Hugo (SC)	Pascal, Dorian, Antoine A., Marine (SC), Jordane Lambremon (MRM), Antoine Caudiu (MRM)	/	Pascal, Dorian, Emilie, Benjamin (SC), Dilara (thésarde)	Samuel, Antoine	Pascal, François, Emilie, Dorian, Carole, Benjamin (SC), Marie Suet (TdV)
<b>Vendredi</b>	-	-	-	-	-	-	-	-	-	-

	4-7 Mar. 2019		1-5 Avr. 2019		13-16 Mai 2019		ANNULE (Travaux)	
	Beauduc	Comtesse	Beauduc	Comtesse	Beauduc	Comtesse	Beauduc	Comtesse
<b>Lundi</b>	Samuel	Pascal, Luna Dupont (stagiaire Bac Pro GPMN)	Samuel	Pascal, Maude	Samuel, Pelayo Menendez (SVE)	Pascal, Maude	-	-
<b>Mardi</b>	Samuel, Marc	Pascal, Emilie, Delphine, Luna, Maude Parent (stagiaire M2), Laurence Corrad et Pierre Coulon (Amis TDV)	Samuel, Flo et Coralie	Pascal, Emilie, Delphine, Maude, Laura MC et Benjamin (SC)	Samuel, Delphine, Jean E.R. (Amis TdV) et Cinzia Podda (Cagliari, Sardaigne)	Pascal, Emilie, Maude, Isle (TdV), Mélanie (stage M2) et Pelayo	-	-
<b>Mercredi</b>	Samuel, Luna, Maude	Pascal, Emilie, Dorian (amis TDV), Fanikos (TDV), Aurélie Lassus-Débat (PNRC), Jehan-Hervé Lignot et Margot Grimmelpont (MARBEC)	Samuel, Delphine	Pascal, Emilie, Maude, Katia (Stagiaire), Aurélie (PNRC) et David Lazin (bénévole)	Samuel, Maude, Mathilde Charpentier (stage M2)	Pascal, Emilie, Delphine, Marie Granier (PNRC), Paul (SC) et Cinzia	-	-
<b>Jeudi</b>	Samuel, Delphine Marobin (PNRC)	Pascal, Dorian, Maude, Luna, Nigel (TDV) et Jean Roche (amis TDV)	Samuel, Maude, Jean R.	Pascal, Emilie, Delphine, Gwen, Luisa, Isabelle et Marie (IFREMER)	Samuel, Pelayo, Claire Tétrel (PNRC)	Pascal, Emilie, Maude, Delphine Marobin (PNRC), Cinzia, Jean E.R., Mathilde	-	-
<b>Vendredi</b>	-	-	-	-	-	-	-	-

**Année 2019-2020 :**

	21-24 Oct. 2019		18-21 Nov. 2019		9-12 Déc. 2019		20-23 Jan. 2020		4-7 Fév. 2019		16-20 Mar. 2019		Avr. 2020 : COVID-19	
	Beauduc	Comtesse	Beauduc	Comtesse	Beauduc	Comtesse	Beauduc	Comtesse	Beauduc	Comtesse	Beauduc	Comtesse	Beauduc	Comtesse
<b>Lundi</b>	-	Delphine, Sam	-	Pascal, Pelayo (SVE)	-	Pascal, Pelayo (SVE)	-	Pascal, Patrice (SC), Morgane (SC)	-	Pascal, Patrice (SC)	-	Pascal, Patrice (SC)	-	ANNULÉ
<b>Mardi</b>	-	Pascal, Paul (SC)	-	Pascal, Mathilde (SC)	-	Pascal, Juliette (SC), Luna (Bac pro)	-	Pascal, Patrice	-	Pascal, Patrice, Pelayo (SVE), Lucie Pichot (M2)	-	Pascal, Patrice (SC), Pelayo (SVE), Eleonora (SVE)	-	ANNULÉ
<b>Mercredi</b>	-	Pascal, Pelayo (SVE)	-	Pascal, Eleonora (SVE)	-	Pascal, Luna (Bac pro)	-	Pascal, Patrice (SC), Colin (Postdoc), Adam (3ème)	-	Pascal, Patrice (SC), Morgane (SC), Till (SC)	-	COVID-19	-	ANNULÉ
<b>Jeudi</b>	-	Pascal, Eleonora (SVE), Juliette (SC)	-	Pascal, Pelayo, Morgane (SC)	-	Pascal, Luna (Bac pro), Eleonora (SVE), Morgane (SC)	-	Pascal, Patrice, Eleonora (SVE), Pelayo (SVE)	-	Pascal, Patrice, Delphine, Iennie (3ème)	-	ANNULÉ	-	ANNULÉ
<b>Vendredi</b>	-	-	-	-	-	-	-	-	-	-	-	-	-	-

**Année 2020-2021 :**

	19-22 Oct. 2020		16-19 Nov. 2020		7-10 Dec. 2020		11-14 Janv. 2021		8-11 Févr. 2021	
	Beauduc	Comtesse	Beauduc	Comtesse	Beauduc	Comtesse	Beauduc	Comtesse	Beauduc	Comtesse
<b>Lundi</b>	Samuel	Pascal, Tom (SC)	Samuel	Pascal, Tom	-	Samuel, Tom	-	Tom, Pascal	-	Tom, Pascal
<b>Mardi</b>	Samuel, Maud (SC), Léo (SC)	Pascal, Tom, Emilie, Delphine, Jules (stagiaire), Jean (Amis TdV)	Samuel, Jules	Pascal, Tom, Emilie, Delphine, Delphine ML (PNRC), Maud, Marc	-	Tom, Jules	-	Tom, Pascal, Anne-Sophie (volontaire)	-	Tom, Pascal
<b>Mercredi</b>	Samuel, Delphine	Pascal, Tom, Emilie, Jules, Colin (Postdoc TdV), Maud	Samuel, Delphine	Pascal, Tom, Emilie, Jules, Nolan (SC), Céline (VE)	-	Tom, Delphine	-	Tom, Pascal, Delphine, Colin, Anne-Sophie	-	Tom, Raquel
<b>Jeudi</b>	Samuel, Thomas B. (TdV), Antoine A. (TdV)	Pascal, Tom, Emilie, Maud, Silke (SNPN), Sandra (VE)	Samuel, Antoine	Pascal, Tom, Emilie, Nolan, Emmanuelle M. (SNPN), Laura M.-C. (TdV)	-	Tom, Raquel (SVE), Lucia (SVE)	-	Tom, Pascal, Anne-Sophie	-	Tom, Pascal, Gabin (Stagiaire 3°)
<b>Vendredi</b>	-	-	-	-	-	-	-	-	-	-

	8-11 Mars 2021		12-16 Avr. 2021		17-20-Mai 2021	
	Beauduc	Comtesse	Beauduc	Comtesse	Beauduc	Comtesse
<b>Lundi</b>	-	Pascal	Samuel	Pascal, Tom	Samuel	Pascal, Tom
<b>Mardi</b>	-	Tom, Pascal	Samuel, Antoine	Pascal, Tom, Delphine, Esther, Anaïs (stagiaire), Léa (stagiaire)	Samuel, Anaïs, Ethel (stagiaire)	Pascal, Tom, Delphine, Laura D. (TdV), Delphine ML (PNRC), Léna (PNRC)
<b>Mercredi</b>	-	Tom, Esther (Stagiaire)	Samuel, Delphine	Pascal, Tom, Raquel, Nolan, Lucia, Priya (stagiaire)	Samuel, Delphine	Pascal, Tom, Anaïs, Lucia, Olivier P. (TdV), Raphaël B. (TdV)
<b>Jeudi</b>	-	Tom, Pascal	Samuel, Anaïs	Pascal, Tom, Nolan, Lucia, raquel, Patrick G. (TdV)	Samuel, Lucia	Pascal, Tom, Anaïs, Ethel, Léa, Patrick G.
<b>Vendredi</b>	-	-	-	-	-	-

## Annexe 2 : Configuration des stations d'échantillonnage

### La station de Beauduc

La station de Beauduc est située à l'Est de l'étang de Beauduc, à proximité de la digue le séparant de l'étang de Sainte-Anne. L'étang de Beauduc est connecté directement à la mer par plusieurs brèches plus ou moins permanentes. Il communique avec l'étang de Sainte-Anne *via* une martelière quasiment ouverte en permanence. L'étang de Sainte-Anne est également connecté avec la mer par des brèches temporaires et il est relié à l'étang du Vieux Rhône Sud par trois points de connexion : une martelière fréquemment ouverte, une martelière rarement ouverte et une brèche permanente (Figure 2). Le Vieux Rhône Sud est principalement alimenté en eau de mer par le groupe SALINS DU MIDI à partir du canal de l'Epave qui prend l'eau de mer au niveau du grau de la dent. De 2016 à 2017, un pêcheur professionnel conventionné auprès du Conservatoire du Littoral exploitait ce secteur, notamment à l'automne pour les anguilles et les muges.

La station de Beauduc n'est pas directement placée sur la voie de connexion entre la mer et l'hydrosystème du Vaccarès. Fortement influencée par les entrées de mer, elle est utilisée en tant que référentiel des espèces d'origine marine qui peuvent potentiellement pénétrer dans le système. À noter que les individus d'origine marine capturés au niveau de l'étang de Beauduc peuvent provenir directement de la mer ou avoir déjà évolué dans un large réseau irrigué par l'eau de mer.

Depuis la formation de brèches dans la digue du front de mer, l'étang de Beauduc est soumis à un très fort ensablement. Depuis le démarrage du suivi en octobre 2016, les filets ont dû être décalés de plusieurs mètres en direction du chenal de connexion avec Sainte-Anne afin de regagner de la profondeur (Figure A2-47). Les filets sont positionnés en configuration capétchade : une paradière part perpendiculairement du bord et un verveux DCE est placé à son extrémité. En arrière du verveux DCE, un paradière de fine maille continue dans la même direction que la première paradière et un filet à civelles est placé à son extrémité (Figure A2-47 et Figure A2-48).

Cette station n'a pas été suivie pendant le suivi 2019-2020.



Figure A2-47 : Plan du dispositif de pêche à la Station de Beauduc. Les deux images permettent de constater le fort ensablement entre octobre 2016, en haut (source Géoportail, image remontée dans le temps 2011) et dès l'hiver 2017, en bas (source Géoportail, IGN 2017). Les connexions permanentes (trait continu) et temporaires (trait pointillé) avec la mer sont indiquées par les flèches bleues. Les verveux avec leur paradière respective sont schématisés en bleu clair pour le filet DCE et en vert pour le filet à civelles.



Figure A2-48 : Photographie de la pose des filets à la station de Beauduc : le filet DCE est en premier plan, le filet à civelles en arrière-plan. ©DNS

### La station du Vaisseau

La station du Vaisseau a une position stratégique le long du cheminement entre la mer et l'hydrosystème du Vaccarès puisqu'il s'agit de l'unique passage depuis l'aval du système des EMSC pour remonter vers les étangs intérieurs. Néanmoins cette station pose des problèmes d'accessibilité dès que les conditions sont pluvieuses (l'état de certaines digues, composées d'argile, ne permet plus le passage de véhicules). La pose des filets y est également très compliquée en raison des très forts courants qui s'y opèrent à chaque bascule de vent. En effet, sous l'influence du vent, ce sont de très grandes superficies d'eau qui sont mises en mouvement et qui passent par des points de connexion très étroits. La station était initialement prévue au niveau de la connexion équipée de part et d'autre par des sondes mesurant en continu les niveaux d'eau (Figure A2-49). Après plusieurs essais de configuration, nous avons finalement opté à partir de décembre 2016 pour une position de la station un peu plus au Sud, au niveau de la connexion avec l'étang de Beauduc. Les filets sont placés en mode verveux (Figure A2-50). Un deuxième filet à civelles a été rajouté pour capturer l'éventuel passage des civelles ou d'autres individus *via* l'itinéraire bis possible à cet endroit (Figure A2-49). Les filets sont ouverts en direction du Sud pour capturer les individus qui cherchent à remonter le système depuis la mer.

La deuxième année de suivi (2017-2018), cette station s'est révélée encore très peu accessible : 6 semaines sur les 9 prévues ont dû être annulées. Depuis l'hiver 2018, la station n'est plus du tout accessible en véhicules motorisés en raison d'une forte dégradation de l'état de la digue. Par conséquent, afin de remplacer cette station clé, une nouvelle station a été ajoutée au Sud de l'étang du Galabert, à partir du mois d'avril 2018.



Figure A2-49 : Plan du dispositif de pêche à la station du Vaisseau. Les flèches bleues marines indiquent le cheminement pour remonter le système en direction de l'étang du Vaccarès. Les points jaunes symbolisent le positionnement des sondes d'enregistrement des niveaux d'eau. Le filet DCE est schématisé en bleu clair et les filets à civelles en vert. Photo satellite de Géoportail © IGN 2017



Figure A2-50 : Photographie de la mise en place du filet DCE à la station du Vaisseau. 17/11/2016 ©DNS

### La station Galabert 1-2

La station Galabert 1-2 est située au point de connexion entre les étangs du Galabert 1 et du Galabert 2. Elle est utilisée à la place de la station du Vaisseau depuis avril 2018. Un filet DCE et un filet à civelles y sont positionnés avec leur ouverture en direction de la mer (Figure A2-51). Les courants à cette station peuvent également s'avérer problématiques pour le maintien des filets. Les ouvrages de connexion situés à proximité ont toujours été ouverts pendant toute la durée du suivi.



Figure A2-51 : Plan du dispositif de pêche à l'ouvrage de connexion entre les étangs 1 et 2 du Galabert. Les flèches bleues marines en trait continu indiquent le cheminement pour remonter le système depuis la mer en direction de l'étang du Vaccarès. Le point jaune symbolise le positionnement des sondes d'enregistrement des niveaux d'eau. Le filet DCE est schématisé en bleu clair et le filet à civelles en vert. Photo satellite de Géoportail © IGN



Figure A2-52 : Photographie de la relève des filets à la station de Galabert 1-2. 05/2019 ©C. Podda

### La station Galabert et la station du Tampan

Les stations du Galabert et du Tampan se positionnent au niveau de l'ouvrage de connexion entre l'étang du Galabert et l'étang du Tampan. Pour la première année de suivi (octobre 2016-juin 2017), un filet DCE et un filet à civelles ont été positionnés avec leur ouverture en direction de l'Est (et donc du chemin de connexion depuis la mer *via* les EMSC, Figure A2-53). Lorsque les niveaux d'eau (trop faibles) n'ont pas permis la pose du filet DCE (Figure A2-54), le filet à civelles a été positionné sans la grille de 2 cm à son entrée et traité comme un filet DCE. Des paradières sont placées de chaque côté de ce filet à civelles afin de mieux barrer la connexion. La deuxième année de suivi, le filet DCE du Galabert a été définitivement ôté, en raison du manque d'eau fréquent, et le filet à civelles a été depuis traité en permanence comme un filet DCE.

Dans l'étang du Tampan, un autre filet à civelles est placé. Les civelles capturées dans ce filet peuvent théoriquement provenir de l'étang du Galabert, de l'étang des Batayolles, situé à l'Ouest de l'étang du Tampan, ou directement depuis la mer. En effet, en conditions dépressionnaires avec un fort vent de secteur Sud, les plages au Sud de l'étang du Tampan sont inondées et il peut y avoir plusieurs connexions plus directes avec la mer. Ces connexions intermittentes peuvent ainsi court-circuiter le cheminement *via* les EMSC. Afin de mieux comprendre les dynamiques de colonisation en provenance de la mer, le filet DCE disponible (celui initialement prévu pour le Galabert) a été placé dans l'étang du Tampan, un peu plus au Sud du point de connexion (Figure A2-55).

L'ouvrage du Galabert/Tampan est en permanence ouvert. En octobre 2017, aucun filet n'a été posé à cette station en raison de l'absence d'eau.

En juin 2019, ont démarré les travaux pour l'installation d'un nouvel ouvrage de plus grande envergure (voir Annexe 3). De ce fait, la zone a été artificiellement asséchée et le suivi ichtyologique a dû être annulé pour le mois de juin 2019.

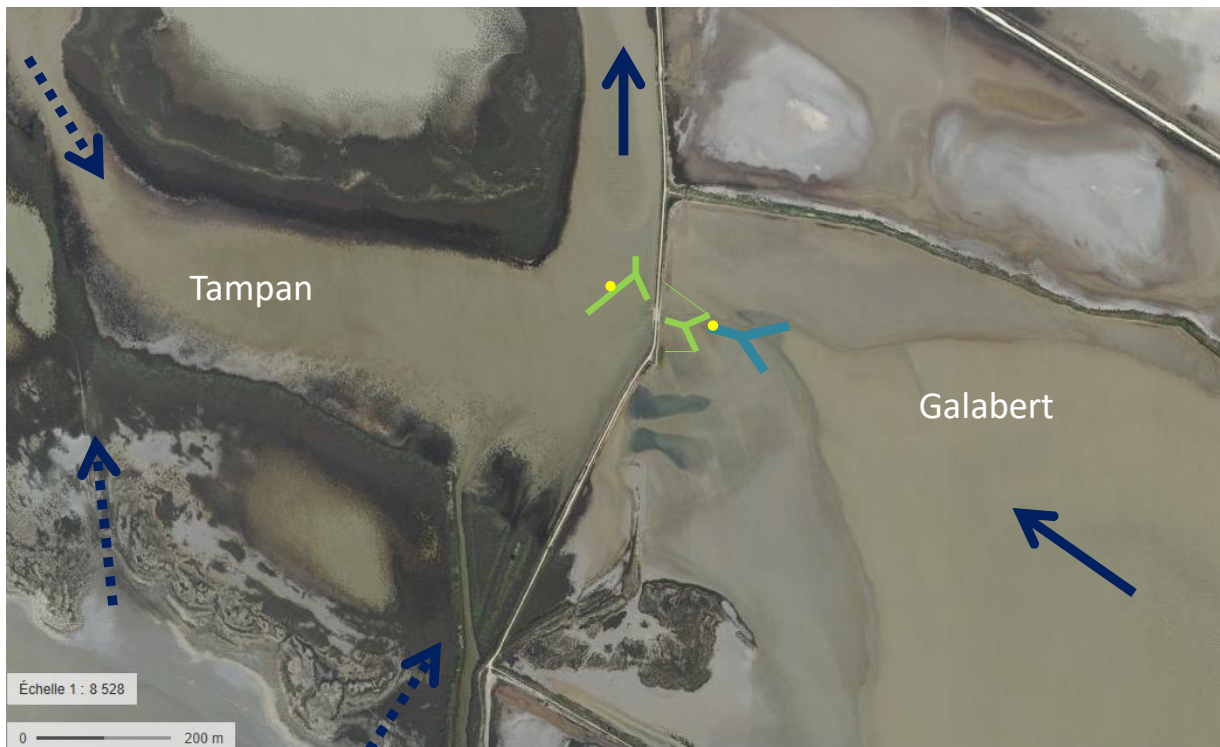


Figure A2-53 : Plan du dispositif de pêche à l'ouvrage de connexion entre les étangs du Galabert 2 et du Tampan pour le suivi d'octobre 2016 à Juin 2017. Les flèches bleues marines en trait continu indiquent le cheminement pour remonter le système en direction de l'étang du Vaccarès. Les flèches en trait discontinu illustrent les connexions possibles avec la mer en cas d'avis de grand frais de secteur Sud. Les points jaunes symbolisent le positionnement des sondes d'enregistrement des niveaux d'eau. Le filet DCE est schématisé en bleu clair et les filets à civelles en vert. Photo satellite de Géoportail © IGN 2017



Figure A2-54 : Photographie du filet DCE posé dans l'étang du Galabert, derrière l'infrastructure de la sonde mesurant le niveau d'eau et la température en continu. Le niveau d'eau permet alors tout juste la connexion du piège. 17/10/2016 © DNS

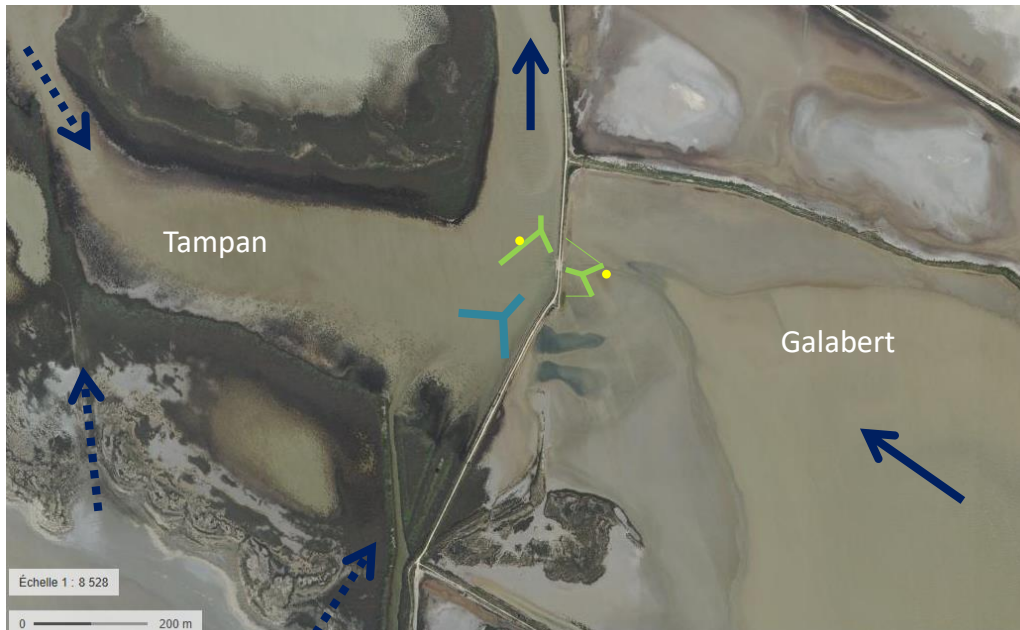


Figure A2-55 : Plan du dispositif de pêche à l'ouvrage de connexion entre les étangs du Galabert 2 et du Tampan pour le suivi d'octobre 2017 à Juin 2018. Les flèches bleues marines en trait continu indiquent le cheminement pour remonter le système en direction de l'étang du Vaccarès. Les flèches en trait discontinu illustrent les connexions possibles avec la mer en cas d'avis de grand frais de secteur Sud. Les points jaunes symbolisent le positionnement des sondes d'enregistrement des niveaux d'eau. Le filet DCE est schématisé en bleu clair et les filets à civelles en vert. Photo satellite de Géoportail © IGN 2017



Figure A2-56 : Photographie de la pose du filet à civelles à la station du Galabert. 06/02/2019©A.-S. Hervy



Figure A2-57 : Photographie du filet DCE posé dans l'étang du Tampan. 10/2018©DNS



Figure A2-58 : Photographie du filet à civelles posé dans l'étang du Tampan. 10/2018©DNS

### Les stations du Galabert-B et du Tampan-B

Suite à la construction du nouvel ouvrage entre les étangs du Galabert et du Tampan, une nouvelle station d'échantillonnage a été créée. De part et d'autre de l'ouvrage, deux filets à civelle sont déployés (Figure A2-59). A partir d'octobre 2020, un nouveau filet DCE a été installé côté Galabert. Ces filets sont dénommés Galbert\_B et Tampan\_B pour les distinguer de la station plus ancienne. Du côté de l'étang du Galabert, la pose du filet est empêchée à proximité de l'ouvrage en raison des gabions qui y ont été posés. C'est pourquoi le filet est posé un peu plus à l'aval de manière à barrer au maximum le petit chenal qui a été également creusé en même temps que la création de l'ouvrage, afin de faciliter les échanges même quand les niveaux d'eau sont faibles. Lorsque les niveaux sont hauts, le filet ne peut pas barrer tout le passage. Du côté de l'étang du Tampan, la pose du filet Tampan-B est similaire à celle de la station du Tampan.

Ainsi, les deux connexions entre les étangs du Galabert et du Tampan sont suivies, ce qui permet de comparer les captures, sachant que la configuration de pose des filets (surtout côté Galabert) et les conditions hydrologiques entre les deux ouvrages sont très contrastées.

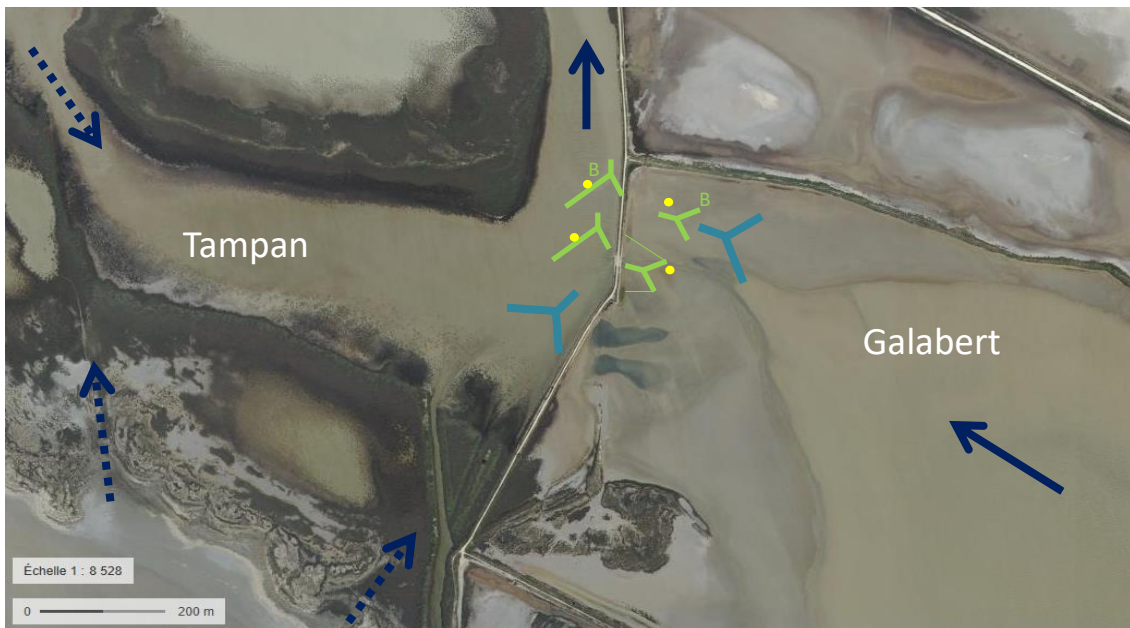


Figure A2-59 : Plan du dispositif de pêche à l'ouvrage de connexion entre les étangs du Galabert 2 et du Tampan pour le suivi à partir d'octobre 2019. Les flèches bleues marines en trait continu indiquent le cheminement pour remonter le système en direction de l'étang du Vaccarès. Les flèches en trait discontinu illustrent les connexions possibles avec la mer en cas d'avis de grand frais de secteur Sud. Les points jaunes symbolisent le positionnement des sondes d'enregistrement des niveaux d'eau. Le filet DCE est schématisé en bleu clair et les filets à civelles en vert. Photo satellite de Géoportail © IGN 2017. Le nouvel ouvrage et son chenal ne sont pas encore visibles.



Figure A2-60 : Photographie du filet à civelle à la station du Tampan\_B à la première pose le 21/10/2019. Une mini paradiaire a été rajoutée par la suite afin de mieux calfeutrer le passage entre le filet et la berge.

#### Les stations du chenal de la Comtesse, du Versadou et de la Gaze du Marteau

La station du chenal de la Comtesse est la dernière station qui suit la remontée des espèces depuis la mer vers l'étang du Vaccarès. Un filet DCE et un filet à civelles sont positionnés avec l'ouverture en direction du Sud (et de la mer, Figure A2-61). Cette station est séparée de l'étang du

Tampan par l'ouvrage de la Comtesse<sup>3</sup> qui reste normalement en permanence ouvert (au moins pour une de ses martelières).

La station du chenal de la Comtesse est également sous l'influence du canal du Versadou, un canal de drainage qui évacue des eaux douces à faiblement saumâtres issues de la partie ouest du sous-bassin versant du Japon. Ces eaux de drainage (auxquelles peuvent se mélanger des eaux d'irrigation – les deux réseaux n'étant pas bien séparés dans la partie aval du sous-bassin versant du Japon) sont relevées par la pompe du Pèbre pour être envoyées dans le canal du Versadou. L'embouchure de ce canal est barrée par une martelière dont l'ouverture est gérée par l'ASCO du Japon. Elle permet en quasi permanence le passage de poissons. Les eaux du canal peuvent percoler et ainsi alimenter l'étang des Enfores de la Vignolle (au Sud de canal du Versadou). Mais les eaux sont pour l'essentiel évacuées à l'embouchure du canal dans l'étang du Tampan et en fonction des courants, peuvent directement rejoindre le canal de la Comtesse. Potentiellement, les poissons qui remontent, et notamment les civelles, peuvent être attirés par les rejets d'eau douce du canal du Versadou. Afin de mieux évaluer la proportion d'alevins ou de civelles qui remontent dans le canal du Versadou, un filet à civelles est placé à son extrémité.

Dans le but d'étudier la dévalaison des poissons et des anguilles plus particulièrement, deux verveux DCE sont positionnés : l'un est placé à l'embouchure du canal de la Comtesse, ouvert en direction de l'étang du Vaccarès et de la Gaze du Marteau (station nommée Gaze du Marteau) ; l'autre est posé en travers du canal du Versadou, avec son ouverture en direction de l'amont. Le filet de la Gaze du marteau permet d'observer en quelle mesure les anguilles argentées du système du Vaccarès peuvent chercher à dévaler *via* les EMSC. Le filet placé dans le canal du Versadou permet d'avoir des premiers indices de sa production en anguilles argentées. Les données relatives à la dévalaison des anguilles ne sont pas présentées dans le présent rapport.

---

<sup>3</sup> L'ouvrage de la Comtesse sera réhabilité en 2020/2021.



Figure A2-61 : Plan du dispositif de pêche sur le secteur de la Comtesse. Les flèches bleues marines en trait continu indiquent le cheminement pour remonter le système en direction de l'étang du Vaccarès. Les filets DCE sont schématisés en bleu clair et les filets à civelles en vert. Les points jaunes symbolisent le positionnement des sondes d'enregistrement des niveaux d'eau. Photo satellite de Géoportail © IGN 2017



Figure A2-62 : Photographie du dispositif de pêche dans le chenal de la Comtesse. 16/01/2018 ©DNS



Figure A2-63 : Photographie du filet DCE posé à l'extrémité du chenal de la Comtesse, station Gaze du marteau. 02/04/2019©L. Marre-Cast



Figure A2-64 : Photographie du dispositif de pêche dans le canal du Versadou. 13/12/2016 © DNS

### Annexe 3 : Nouvel ouvrage de connexion entre les étangs du Galabert et du Tampan



Figure A3-65 : Photographies du nouvel ouvrage de connexion entre l'étang du Galabert et l'étang du Tampan prises le 9/9/2019. Des pierres ont été incrustées dans le radier pour faciliter le passage des poissons et un tapis-brosse a été installé sur les parois pour faciliter les franchissements des civelles.

## Annexe 4 : Carte représentant l'ensemble des ouvrages et instruments des EMSC

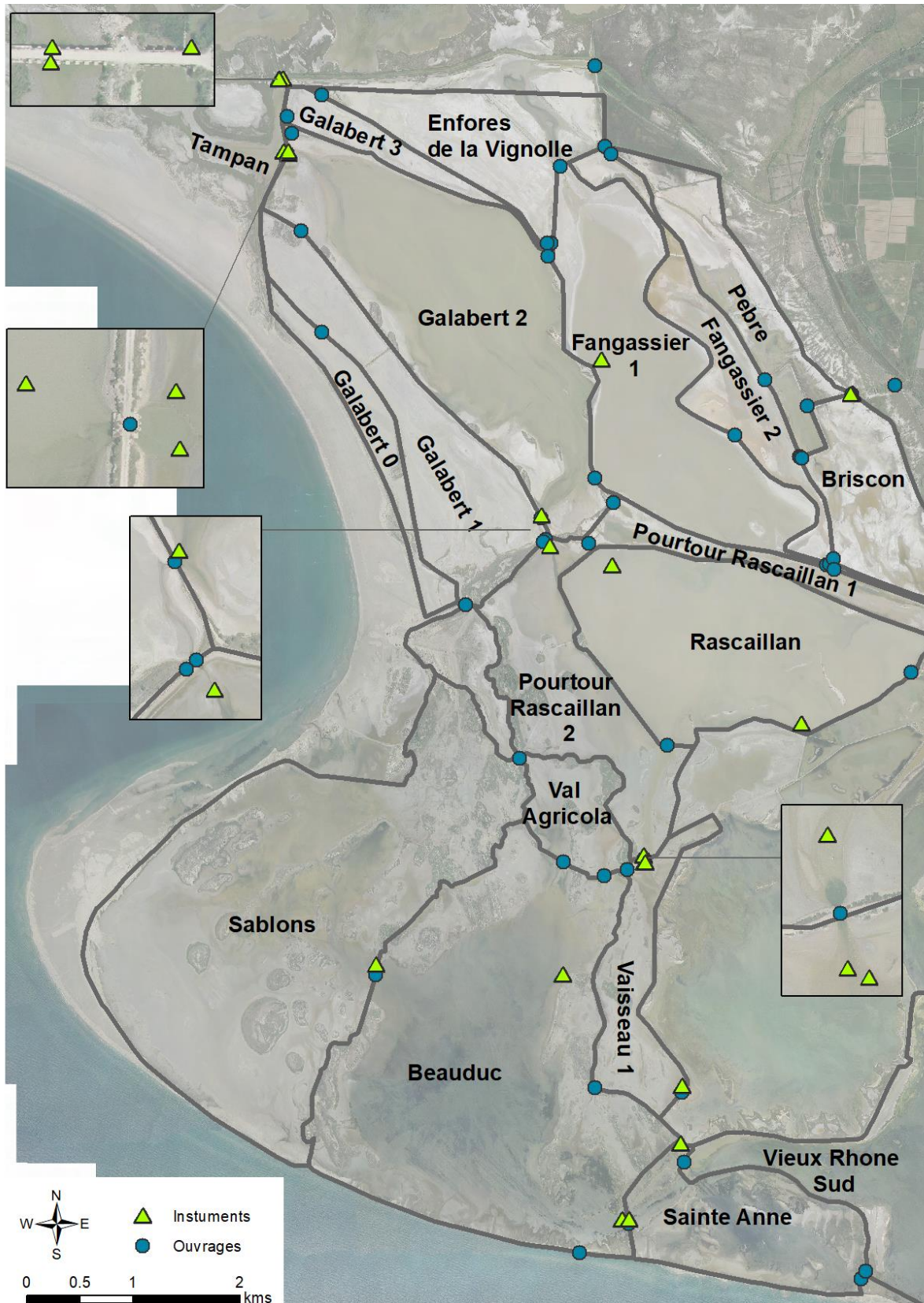


Figure 4-66 : Localisation des ouvrages de connexion et des instruments de mesures continues dans les EMSC (qui soient fonctionnels ou non).

## Annexe 5 : Figures supplémentaires relatives à l'exploration des données environnementales

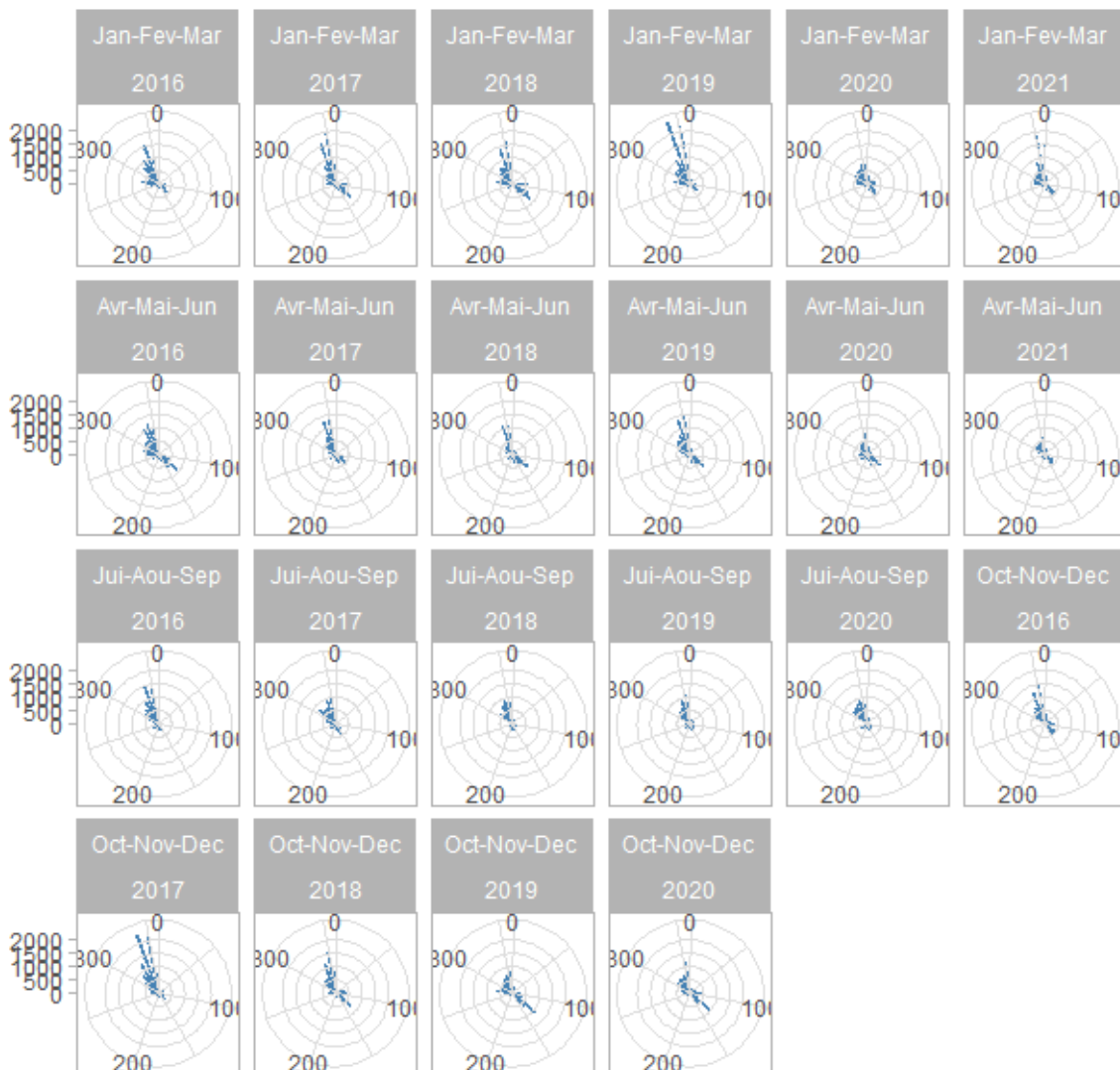


Figure A5-67 : Rosace des vents par trimestre entre janvier 2016 et mai 2020. Les directions et les vitesses de vents obtenues en moyenne par heure sont représentées. Source : Station météorologique de la Tour du Valat.

Quel que soit la période de l'année, les vents dominants sont de secteur Nord-Nord-Ouest, soit du mistral. Le vent de mistral s'accompagne d'un rafraîchissement des températures. Les vents de secteur Sud-Est sont également fréquents, sauf l'été.

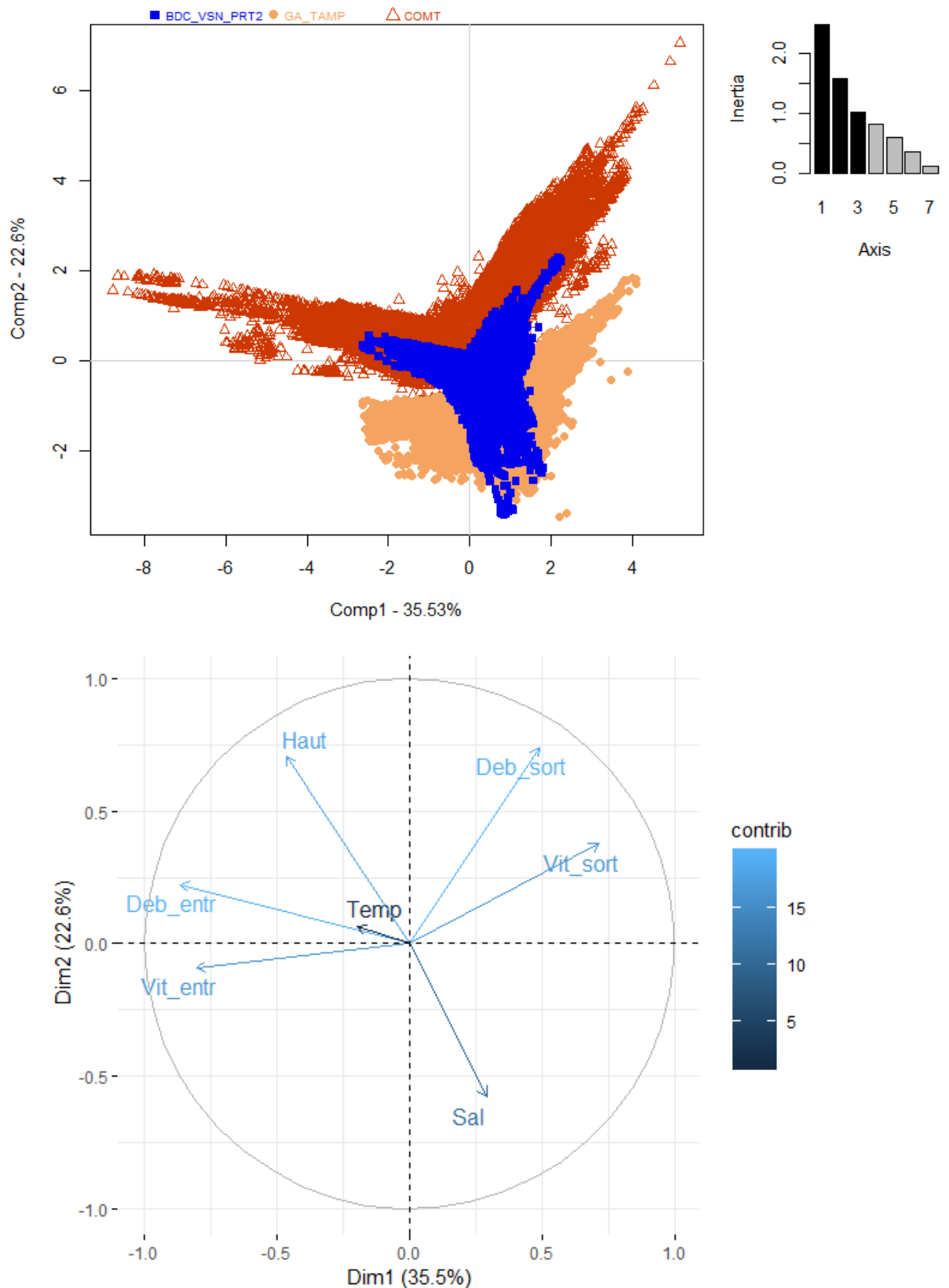


Figure A5-68 : Premier plan factoriel d'une analyse en composantes principales normée réalisée sur les moyennes horaires des variables hydrologiques et physico-chimiques mesurées en continu sur 3 ouvrages de connexion : Beauduc-Vaisseau-Pourtour du Rascaillan (BDC\_VSN\_PRT2), Galabert-Tampam (GA\_TAMP) et Comtesse (COMT). En haut, plan des individus (Site\_Année\_Mois), en haut à droite, éboulis des valeurs propres, en bas, cercle de corrélations des variables.

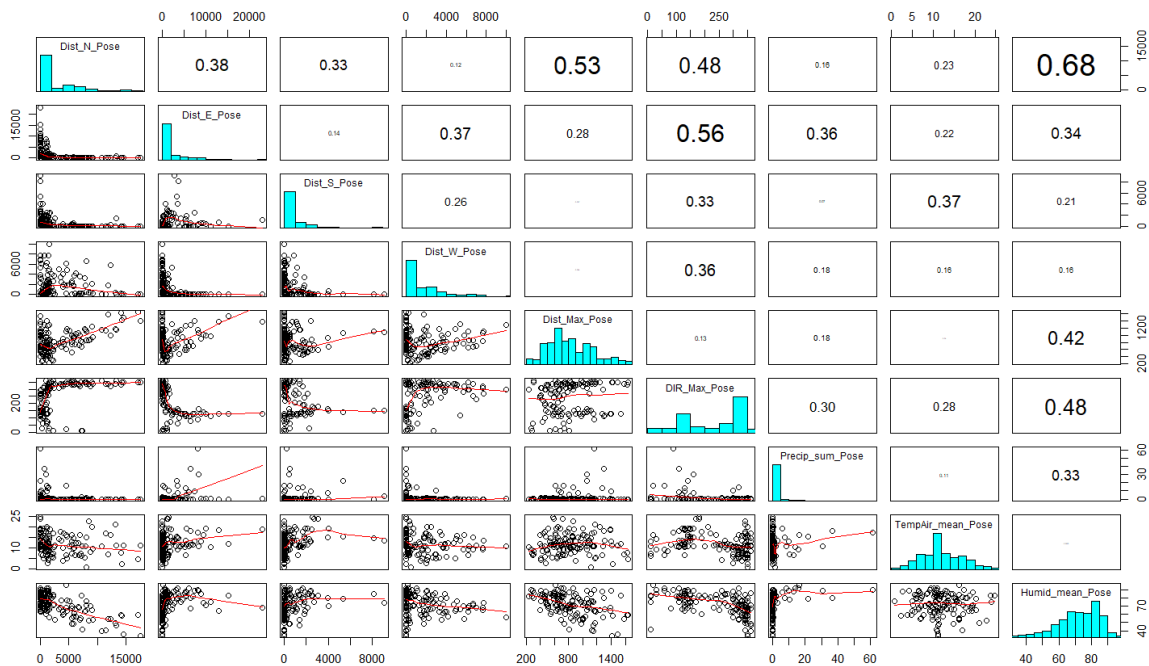


Figure A5-69 : Matrice de corrélations et relations graphiques entre les variables météorologiques pour les 757 jours-stations de relèves de pêche. Le coefficient de corrélation de Pearson est appliqué. Les valeurs absolues sont indiquées.

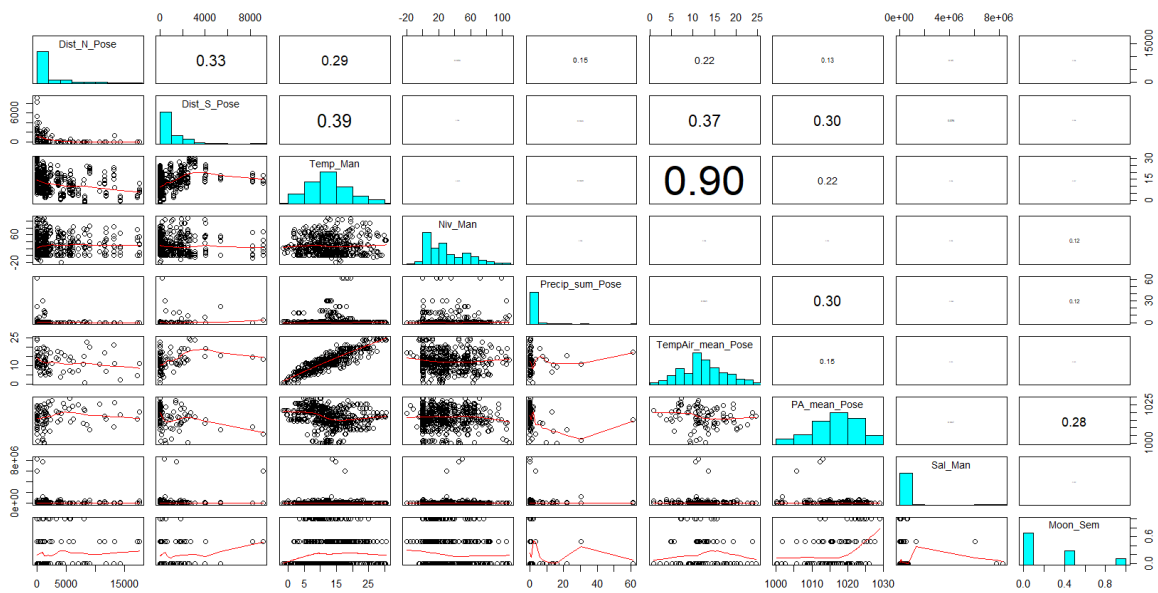


Figure A5-70 : Matrice de corrélations et relations graphiques entre les variables météorologiques sélectionnées et les variables physico-chimiques pour les 497 jours-stations de relèves de pêche sans données manquantes. Le coefficient de corrélation de Pearson est appliqué. Les valeurs absolues sont indiquées.

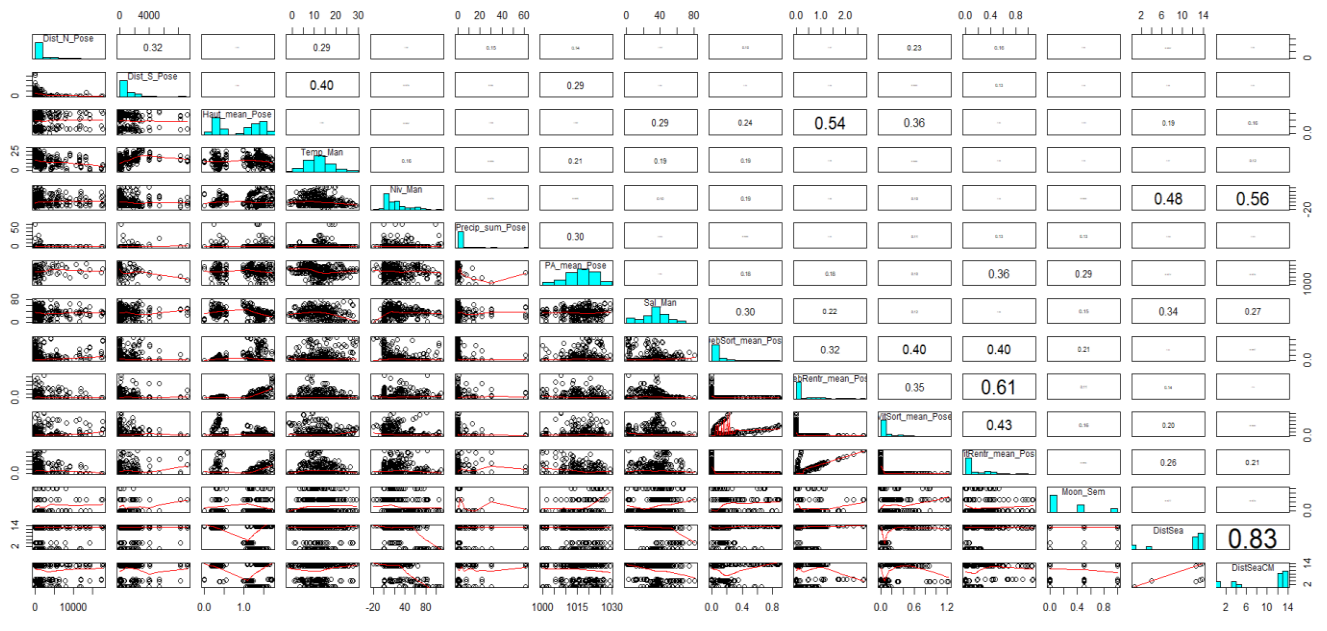


Figure A5-71 : Matrice de corrélations et relations graphiques entre les variables météorologiques, l'effet semi-quantitatif de la lune, les variables relatives à la spatialisaton, les variables physico-chimiques et les variables hydrologiques sélectionnées pour les 358 jours de relèves de pêche. Le coefficient de corrélation de Pearson est appliqué. Les valeurs absolues sont indiquées.

## Annexe 6 : Liste des taxons identifiés lors des campagnes de pêche dans les EMSC

Tableau A6-13 : Liste des taxons identifiés par site d'échantillonnage dans les filets DCE. Les regroupements taxonomiques utilisés dans les analyses sont indiqués. Le classement des espèces en fonction de leur utilisation écologique du système est fourni : MO = marine occasionnelle ; MM = marine migratrice ; LM = lagunaire migratrice ; LG = lagunaire ; ED = eau douce ; AN = anadrome ; CA = catadrome.

Subphilum	Classe	Regroupement taxonomique	Nom français	Nom scientifique	Groupe écologique	Sites d'échantillonnage									
						BEAUDUC	VAISSEAU	GALABERT1-2	GALABERT	GALABERT_B	TAMPAN	COMTESSE	GAZE DU MARTEAU	VERSADOU	
Crustacea	Branchiopoda	ARTEMIE		<i>Artemia spp</i>											
Crustacea	Malacostraca	CARIDINE	Caridine	<i>Atyaephyra desmaresti</i>	ED										
		CRABE DE VASE AMERICAIN	Crabe de vase américain	<i>Rhithropanopeus harrisi</i>	LG										
		CRABE GRAPSE MARBRÉ	Crabe marbré	<i>Pachygrapsus marmoratus</i>	LG										
		CRABE VERT DE MÉDITERRANÉE	Crabe vert de Méditerranée	<i>Carcinus aestuarii</i>	LM										
		CREVETTE CARAMOTE	Crevette caramote	<i>Penaeus kerathurus</i>	ML										
		CREVETTE GRISE	Crevette grise	<i>Crangon crangon</i>	LM										
		CREVETTE NETTOYEUSE	Crevette nettoyeuse rouge	<i>Lysmata seticaudata</i>	MO										
		ECREVISSE DE LOUISIANE	Ecrevisse de Louisiane	<i>Procambarus clarkii</i>	ED										
		GAMMARE	Gammare		LG										
		Palaemonidae_tot	Crevette bouquet balte	<i>Palaemon adspersus</i>	LG										
		Palaemonidae_tot	Crevette bouquet	<i>Palaemon serratus</i>	MO										
		Palaemonidae_tot	Crevette des marais	<i>Palaemon varians</i>											
		Palaemonidae_tot	Palaemonidae												
		MYSIDACEE	Mysidacés												
Mollusca	Cephalopoda	SEPIOLIDAE NI	Sepiolidae		MO										
Ctenophora	Tentaculata	MNEMIOPSIS	Mnemiopsis	<i>Mnemiopsis leidyo</i>											
Vertebrata	Actinopterygii	ABLETTE	Ablette	<i>Alburnus alburnus</i>	ED										

ALOSE FEINTE	Alose feinte du Rhône	<i>Alosa fallax rhodanensis</i>	AN						
ANCHOIS_tot	Anchois blanc	<i>Engraulis albidus</i>	MM						
ANCHOIS_tot	Anchois	<i>Engraulis encrasicolus</i>	MM						
ANGUILLE	Anguille d'Europe	<i>Anguilla anguilla</i>	CA						
ATHERINIDAE_tot	Athérinidés	<i>Atherina sp</i>	LG						
ATHERINIDAE_tot	Joël	<i>Atherina boyeri</i>	LG						
BAR FRANC	Bar européen	<i>Dicentrarchus labrax</i>	MM						
BARBUE	Barbue	<i>Scophthalmus rhombus</i>	MM						
BLENNIE DIABOLO	Blennie diablo	<i>Parablennius incognitus</i>	MO						
BLENNIE PAON	Blennie-paon	<i>Salaria pavo</i>	LG						
BLENNIE SPHYNX	Blennie sphynx	<i>Aidablennius sphynx</i>	MO						
BLENNIE TRIGLOÏDE	Blennie trigloïde	<i>Lipophrys trigloides</i>	MO						
BOUVIÈRE	Bouvière	<i>Rhodeus amarus</i>	ED						
BREME_tot	Brème bordelière	<i>Blicca bjoerkna</i>	ED						
BREME_tot	Brème d'eau douce	<i>Abramis brama</i>	ED						
BREME_tot	Brèmes NI	<i>Breme spp</i>	ED						
CARPE_tot	Carpe commune	<i>Cyprinus carpio</i>	ED						
CONGRE	Congre d'Europe	<i>Conger conger</i>	MO						
CRENILABRE DE MÉLOPS	Crénilabre de Mélops	<i>Symphodus melops</i>	MO						
DORADE ROYALE_tot	Dorade royale	<i>Sparus aurata</i>	MM						
ÉPINOICHE	Epinoche à trois épines	<i>Gasterosteus aculeatus</i>	LG						
FLET	Flet d'Europe	<i>Platichthys flesus</i>	CA						
GAMBUSIE	Gambusie	<i>Gambusia affinis</i>	ED						
GARDON	Gardon	<i>Rutilus rutilus</i>	ED						
GOBIE NOIR	Gobie noir	<i>Gobius niger</i>	LG						
GOBIE PAGANELLE	Gobie paganel	<i>Gobius paganellus</i>	LG						
GOBIE ZEBRE	Gobie zébré	<i>Zebrus zebrus</i>	MO						
GOBIE_tot	Gobidés		LG						
GOBIE_tot	Gobie buhotte	<i>Pomatoschistus minutus</i>	LG						

GOBIE_tot	Gobie tacheté	<i>Pomatoschistus microps</i>	LG	
GOUJON ASIATIQUE	Pseudorasbora	<i>Pseudorasbora parva</i>	ED	
GOUJON	Goujon	<i>Gobio gobio</i>	ED	
GRÉMILLE	Grémille	<i>Gymnocephalus cernuus</i>	ED	
MÉROU BRUN	Mérou brun	<i>Epinephelus marginatus</i>	MO	
MOSTELLE DE ROCHE	Mostelle de Roche	<i>Phycis phycis</i>	MO	
MOTELLE DE MEDITERRANEE	Motelle à 3 barbillons	<i>Gaidropsarus mediterraneus</i>	MO	
MUGE_tot	Mugilidés		MM	
MUGE_tot	Mulet à grosse tête	<i>Mugil cephalus</i>	MM	
MUGE_tot	Mulet doré	<i>Chelon aurata</i>	MM	
MUGE_tot	Mulet porc	<i>Chelon ramada</i>	MM	
MUGE_tot	Mulet sauteur	<i>Chelon saliens</i>	MM	
ORPHIE	Orphie	<i>Belone belone</i>	MO	
PERCHE SOLEIL	Perche soleil	<i>Lepomis gibbosus</i>	ED	
PETITE VIVE	Petite vive	<i>Echiichthys vipera</i>	MO	
POISSON CHAT	Poisson-chat	<i>Ameiurus melas</i>	ED	
RASCASSE BRUNE	Rascasse brune	<i>Scorpaena porcus</i>	MO	
ROTENGLE	Rotengle	<i>Scardinius erythrophthalmus</i>	ED	
SANDRE	Sandre	<i>Sander lucioperca</i>	ED	
SAR À MUSEAU POINTU	Sar à museau pointu	<i>Diplodus puntazzo</i>	MO	
SAR COMMUN	Sar commun	<i>Diplodus sargus</i>	MM	
SARDINE COMMUNE	Sardine commune	<i>Sardina pilchardus</i>	MM	
SAUPE	Saupe	<i>Sarpa salpa</i>	MM	
SERPENTON IMBERBE	Serpenton imberbe	<i>Dalophis imberbis</i>	MO	
SILURE GLANE	Silure glane	<i>Silurus glanis</i>	ED	
SOLEIDAE_tot	Sole	<i>Solea solea</i>	MM	
SOLEIDAE_tot	Soleidae juvéniles		MM	
SPRAT	Sprat	<i>Sprattus sprattus</i>	MM	

		SYNGNATHE_tot	Syngnathe à museau long	<i>Syngnathus tenuirostris</i>	LG														
		SYNGNATHE_tot	Syngnathe de lagune	<i>Syngnathus abaster</i>	LG														
		SYNGNATHE_tot	Syngnathes	<i>Syngnathus sp</i>	LG														
		TURBOT	Turbot	<i>Scophthalmus maxima</i>	MM														
Vertebrata	Mammalia	RAGONDIN	Ragondin	<i>Myocastor copypus</i>															

Tableau A6-14 : Liste des taxons identifiés par site d'échantillonnage dans les filets à civelles. Les regroupements taxonomiques utilisés dans les analyses sont indiqués. Le classement des espèces en fonction de leur utilisation écologique du système est fourni : MO = marine occasionnelle ; MM = marine migratrice ; LM = lagunaire migratrice ; LG = lagunaire ; ED = eau douce ; AN = anadrome ; CA = catadrome.

Subphilum	Classe	Regroupement taxonomique	Nom français	Nom scientifique	Groupe écologique														
						BEAUDUC	VAISSEAU	GALABERT1-2	GALABERT	GALABERT_B	TAMPAN	TAMPAN_B	COMTESSE	VERSADOU					
Crustacea	Branchiopoda	ARTEMIE	Artémie	<i>Artemia spp</i>															
Crustacea	Malacostraca	CARIDINE	Caridine	<i>Atyaephyra desmaresti</i>	ED														
		CRABE DE VASE AMERICAIN	Crabe de vase américain	<i>Rhithropanopeus harrisi</i>	LG														
		CRABE VERT DE MÉDITERRANÉE	Crabe vert de Méditerranée	<i>Carcinus aestuarii</i>	LM														
		CREVETTE GRISE	Crevette grise	<i>Crangon crangon</i>	LM														
		ECREVISSE DE LOUISIANE	Ecrevisse de Louisiane	<i>Procambarus clarkii</i>	ED														
		GAMMARE	Gammare		LG														
		Palaemonidae_tot	Crevette bouquet balte	<i>Palaemon adspersus</i>	LG														
		Palaemonidae_tot	Crevette bouquet	<i>Palaemon serratus</i>	MO														
		Palaemonidae_tot	Crevette des marais	<i>Palaemon varians</i>	LG														
		Palaemonidae_tot	Palaemonidés																
		MYSIDACEE	Mysidacés																

Ctenophora	Tentaculata	MNEMIOPSIS	Mnemiopsis	<i>Mnemiopsis leidyi</i>										
Vertebrata	Actinopterygii	ABLETTE	Ablette	<i>Alburnus alburnus</i>	ED									
		ANCHOIS_tot	Anchois	<i>Engraulis encrasicolus</i>	MM									
		ANGUILLE	Anguille d'Europe	<i>Anguilla anguilla</i>	CA									
		ATHERINIDAE_tot	Athérinidés	<i>Atheri sp</i>	LG									
		ATHERINIDAE_tot	Joël	<i>Atheri boyeri</i>	LG									
		BAR FRANC	Bar européen	<i>Dicentrarchus labrax</i>	MM									
		BLENNIE DIABOLO	Blennie diablo	<i>Parablennius incognitus</i>	MO									
		BLENNIE PAON	Blennie-paon	<i>Salaria pavo</i>	LG									
		BLENNIE TRIGLOÏDE	Blennie trigloïde	<i>Lipophrys trigloides</i>	MO									
		BREME_tot	Brème d'eau douce	<i>Abramis brama</i>	ED									
		CARPE_tot	Carpe commune	<i>Cyprinus carpio</i>	ED									
		DORADE ROYALE_tot	Dorade royale	<i>Sparus aurata</i>	MM									
		ÉPINOCHÉ	Épinoche à trois épines	<i>Gasterosteus aculeatus</i>	LG									
		GAMBUSIE	Gambusie	<i>Gambusia affinis</i>	ED									
		GOBIE_tot	Gobidés		LG									
		GOBIE_tot	Gobie buhotte	<i>Pomatoschistus minutus</i>	LG									
		GOBIE_tot	Gobie tacheté	<i>Pomatoschistus microps</i>	LG									
		GOUJON ASIATIQUE	Pseudorasbora	<i>Pseudorasbora parva</i>	ED									
		MOTELLE DE MEDITERRANEE	Motelle à 3 barbillons	<i>Gaidropsarus mediterraneus</i>	MO									
		MUGE_tot	Mugilidés		MM									
		MUGE_tot	Mulet à grosse tête	<i>Mugil cephalus</i>	MM									
		MUGE_tot	Mulet doré	<i>Chelon aurata</i>	MM									
		MUGE_tot	Mulet porc	<i>Chelon ramada</i>	MM									
		MUGE_tot	Mulet sauteur	<i>Chelon saliens</i>	MM									
		NI_ALEVIN												
		PERCHE SOLEIL	Perche soleil	<i>Lepomis gibbosus</i>	ED									
		ROTENGE	Rotengle	<i>Scardinius erythrophthalmus</i>	ED									

SARDINE COMMUNE	Sardine commune	<i>Sardi pilchardus</i>	MM	
SOLEIDAE_tot	Sole	<i>Solea solea</i>	MM	
SOLEIDAE_tot	Soleidae juvéniles		MM	
SYNGNATHE_tot	Syngnathe à museau long	<i>Syngnathus tenuirostris</i>	LG	
SYNGNATHE_tot	Syngnathe de lagune	<i>Syngnathus abaster</i>	LG	
SYNGNATHE_tot	Syngnathes	<i>Syngnathus sp</i>	LG	

## Annexe 7 : Résultats des modèles GLM à une variable explicative

Tableau A7- 15 : Analyse de déviations pour les modèles binomiaux de type GLM développés pour expliquer la variabilité de la présence des athérines à partir des variables abiotiques présélectionnées, testées chacune séparément. Dans la colonne « Effet » est indiqué pour les covariables le coefficient de pente et pour les variables facteurs les différentes modalités classées. La significativité des différences entre les modalités sont indiquées par rapport à la modalité référence signalée en gras. Si les différences ne sont pas significatives, les modalités comparées sont en gris.

	Variable testée	AIC	Degrés de liberté	Significativité	Déviante expliquée (%)	Effet
<b>Athérines_Pres ~ ...</b>	<b>Null</b>	<b>674.75</b>	<b>537</b>		<b>0</b>	
	Année de suivi	602.14	533	***	11.98	2019-2020 < 2020-2021, 2017-2018 < <b>2016-2017</b> < 2018-2019
	Saison	672.66	535	*	0.91	Win < <b>Aut</b> < Spr
	Mois	665.15	529	**	3.8	3 < 11 < 12 < 2 < 4 < 1 < 10 < 5 < 6
	Temp_Man	672.94	534	NS		
	Temp_Man_Fac	665.13	533	**	1.8	betw6and12 < sup12 < inf6
	Station	570.7	529	***	17.84	Galabert < Versadou < Tampan < Comtesse < Gal1-2 < Gal_B < Gaze.Mart. < <b>Beauduc</b> < Vaisseau
	DistSea	640.49	536	***	5.39	-0.13941
	DistSeaCM	639.19	536	***	5.6	-0.12603
	Sal_Man_Fac	632.13	533	***	7.5	oligohalin < <b>hyperhalin</b> < mixoeuhalin < polyhalin < mesohalin
	Sal_Man	672.18	536	*	0.68	0.011011
	poly(Sal_Man,2)	656.49	535	***	3.3	4.38 / -8.84
	Niv_Man	676.34	536	NS		
	Niv_Man_Fac	663.49	535	***	2.27	medium < low < <b>high</b>
	Moon_Fac	662.81	534	***	2.7	last < full < new < <b>first</b>
	Moon_Sem	672.85	535	NS		
	<b>Null</b>	<b>413.56</b>	<b>363</b>		<b>0</b>	
	Haut_mean	382.18	362	***	8.11	1.3689
	Vitesse_Sortant	409.28	360	NS		
	Vitesse_Rentrant	390.86	360	***	4.96	-2.2506
	Débit_Sortant	399.65	360	***	3.08	2.4748
	Débit_Rentrant	412.22	360	NS		

Tableau A7-16 : Analyse de déviations pour les modèles Gamma (fonction de lien Log) de type GLM développés pour expliquer la variabilité des CPUE positives des athérines à partir des variables abiotiques présélectionnées. Dans la colonne « Effet » est indiqué pour les covariables le coefficient de pente et pour les variables facteurs les différentes modalités classées. La significativité des différences entre les modalités sont indiquées par rapport à la modalité référence signalée en gras. Si les différences ne sont pas significatives, les modalités comparées sont en gris. La fonction *poly()* est appliquée aux covariables pour tester des effets non linéaires d'ordre 2. Dans ce cas, ce sont les deux coefficients de pente associés à cette relation qui sont indiqués dans la colonne « effet ».

	Variable testée	AIC	Degrés de liberté	Significativité	Déviante expliquée (%)	Effet / Coefficient de pente
<b>Athérines_CPUE+ ~ ...</b>	<b>Null</b>	<b>1597.3</b>	<b>362</b>			
	Année de suivi	1598.3	359	NS		
	Saison	1589.8	360	**	2.896	<b>Aut</b> > Spr > Win
	Mois	1562.9	354	***	12.19	4 < 2 < 3 < 5 < 11 < 1 < 12 < 10 < 6
	Temp_Man	1558.5	351	NS		
	Temp_Man_Fac	1560.1	350	NS		
	Station	1542.4	355	***	16.28	Vers < Vaisseau < Tampan < Galabert, Galabert1-2, <b>Beauduc</b> < Gaze_Marteau < Comtesse
	DistSea	1564.7	353	NS		
	DistSeaCM	1567.5	353	NS		
	Sal_Man_Fac	1595.1	358	*	2.6	oligohalin < <b>hyperhalin</b> < polyhalin < mixoeuhalin < mesohalin
	Sal_Man	1597.4	361	NS		
	Niv_Man	1564.0	353	*	0.93	-0.002198
	Niv_Man_Fac	1555.0	352	***	3.75	medium < <b>high</b> < low
	Moon_Fac	1553.3	351	***	4.7	last < first < new < full
	Moon_Sem	1556.2	352	***	3.46	0.5 < <b>0</b> < 1
	<b>Null</b>	<b>1164.9</b>	<b>259</b>			
	Vitesse_Sortant	1157.6	258	*	1.87	-0.43354
	Vitesse_Rentrant	1160.3	258	NS		
	Débit_Sortant	1162.2	258	NS		
	Débit_Rentrant	1158.8	258	*	1.43	0.1718
	Haut_mean	1161.5	259	*	1.94	0.17807

Tableau A7-17 : Analyse de déviations pour les modèles binomiaux de type GLM développés pour expliquer la variabilité de la présence des jeunes de l'année de Soléidés (Soles\_YOY) à partir des variables abiotiques pré-sélectionnées, testées chacune séparément. Ces modèles intègrent les données disponibles pour les mois de février à juin. Dans la colonne « Effet » est indiqué pour les covariables le coefficient de pente et pour les variables facteurs les différentes modalités classées. La significativité des différences entre les modalités sont indiquées par rapport à la modalité référence signalée en gras. Si les différences ne sont pas significatives, les modalités comparées sont en gris.

Variable testée	AIC	Degrés de liberté	Significativité	Déviance expliquée (%)	Effet
Soles_YOY_Pres ~ Null	329.69	307		0	
...					
Soles_YOY_Pres ~ Engin +	323.26	306	**	2.6	DCE > CIV
Année de suivi	307.23	302	***	9.9	<b>2017</b> > 2018 > 2021 > 2019 > 2020
Saison	303.64	305	***	9.16	Winter < <b>Spring</b>
Mois	303.51	302	***	11.04	<b>2</b> < 3 < 4 < 5 < 6
Temp_Man	305.84	300	*	4.83	0.06
Temp_Man_Fac	306.64	299	*	5.2	betw6and12 < sup12 < <b>inf6</b>
Temp_Man_Fac2	302.6	298	**	7.12	betw6and12 < betw12and20 < <b>inf6</b> < sup20
Station	302.3	299	***	13.24	Galabert1-2 < Galabert_B < Galabert < Tampan_B < Tampan < <b>Beauduc</b> < Comtesse < Vaisseau
DistSea	324.43	305	NS		
DistSeaCM	324.43	305	NS		
Sal_Man_Fac	313.85	302	**	7.88	polyhalin < mixoeuhalin < <b>hyperhalin</b> < mesohalin < oligohalin
Sal_Man	320.08	305	*	4.15	-0.02611
Niv_Man	323.72	305	NS		
Niv_Man_Fac	326.54	304	NS		
Moon_Fac	316.83	303	**	6.36	<b>first</b> < new < full < last
Moon_Sem	318.75	304	*	5.17	<b>0</b> < 1 < 0.5
Soles_YOY_Pres ~ Engin +	239.67	225	***	5.38	
Haut_mean	240.26	224	NS		1.3949
Vitesse_Sortant	230.74	224	***	9.77	2.7618
Poly(Vit_sortant)	225.68	223	***	12.6	7.88 /-5.94

Variable testée	AIC	Degrés de liberté	Significativité	Déviante expliquée (%)	Effet
Vit_Sort_48H	228.96	224	***	10.49	3.24
poly(Vit_Sort_48H)	215.22	223	***	<b>16.81</b>	8.66 / -8.92
Vit_Sort_72H	229.87	224	***	10.12	3.21
Vit_Sort_96H	231.68	224	**	9.4	3.26
Vit_Sort_120H	232.99	224	**	8.87	3.37
Vitesse_Rentrant	239.07	224	NS		
poly(vit_rentrant)	238.91	223	NS		
Vit_Rentr_72H	240.58	224	NS		
poly(Vit_Rentr_72H)	238.74	223	NS		
Débit_Sortant	233.18	224	**	8.79	2.55
Débit_Sort_48H	225.27	224	***	11.97	4.57
Débit_Sort_72H	220.51	224	***	<b>13.88</b>	5.62
Débit_Sort_96H	222.05	224	***	13.26	5.82
Débit_Sort_120H	223.41	224	***	12.71	6.31
poly(deb_sort)	229.58	223	***	11.04	6.70 / -5.34
poly(Débit_Sort_72H)	222.5	223	***	13.88	10.81 / 0.14
Débit_Rentrant	241.31	224	NS		
Débit_Rentr_48H	241.58	224	NS		
Débit_Rentr_72H	241.63	224	NS		
Débit_Rentr_96H	241.67	224	NS		1.0763
Débit_Rentr_120H	241.65	224	NS		1.1218
poly(deb_rentr)	228.01	223	***		13.41 / 15.66
poly(Débit_Rentr_48H)	226.16	223	***	12.41	-2.2 / 11.98
poly(Débit_Rentr_72H)	224.21	223	***	13.19	-1.98 / 13.03
poly(Débit_Rentr_96H)	226.9	223	***	12.12	-1.22 / 11.85
poly(Débit_Rentr_120H)	232.39	223	**	9.91	-0.42 / 9.35

Tableau A7-18 : Analyse de déviations pour les modèles Gamma (fonction de lien Log) de type GLM développés pour expliquer la variabilité des CPUE positives des juvéniles de soles de l'année (Soles\_YOY) à partir des variables abiotiques présélectionnées. Ces modèles intègrent les données disponibles pour les mois de février à juin. Dans la colonne « Effet » est indiqué pour les covariables le coefficient de pente et pour les variables facteurs les différentes modalités classées. La significativité des différences entre les modalités sont indiquées par rapport à la modalité référence signalée en gras. Si les différences ne sont pas significatives, les modalités comparées sont en gris. La fonction *poly()* est appliquée aux covariables pour tester des effets non linéaires d'ordre 2. Dans ce cas, ce sont les deux coefficients de pente associés à cette relation qui sont indiqués dans la colonne « effet ».

	Variable testée	AIC	Degrés de liberté	Significativité	Déviante expliquée (%)	Effet / Coefficient de pente
Soles_YOY_CPUE+ ~	<b>Null</b>	<b>227.2</b>	<b>68</b>		<b>0</b>	
	Engin	229.2	67	NS		
	Année	219.74	64	**	19.06	<b>2017</b> > 2018 > 2019 > 2021 > 2020
	Saison	223.89	67	*	6.98	Winter > <b>Spring</b>
	Mois	226.58	64	NS		
	Temp_Man	212.79	63	NS		
	Temp_Man_Fac	207.65	62	*	9.92	betw6and12 < <b>inf6</b> < sup12
	Temp_Man_Fac2	203.76	61	**	17.32	betw6and12 < <b>inf6</b> < sup20 < betw12and20
	Station	218.69	65	**	17.99	Tampan < <b>Beauduc</b> < Comtesse < Vaisseau
	DistSea	229.07	67	NS		
	DistSeaCM	229.07	67	NS		
	Sal_Man_Fac	222.31	64	*	16.14	mixoeuhalin < polyhalin < oligohalin < mesohalin < <b>hyperhalin</b>
	Sal_Man	229.12	67	NS		
	poly(Sal_Man,2)	229.67	66	NS		
	Niv_Man	227.33	67	NS		
	Niv_Man_Fac	229.43	66	NS		
	Moon_Fac	219.7	65	**	16.8	full < <b>first</b> < new < last
	Moon_Sem	221.7	66	**	12.15	1 < <b>0</b> < 0.5
	<b>Null</b>	<b>182.8</b>	<b>53</b>		<b>0</b>	
	Vitesse_Sortant	182.34	52	NS		
	+ Poly(Vit_sortant)	184.09	51	NS		
	Vitesse_Rentrant	184.51	52	NS		
	+ poly(vit_rentrant)	183.32	51	NS		

Variable testée	AIC	Degrés de liberté	Significativité	Déviante expliquée (%)	Effet / Coefficient de pente
Débit_Sortant	184.77	52	NS		
Débit_Rentrant	183.34	52	NS		
Haut_mean	174.65	52	**	16.25	0.5813

Tableau A7 -19 : Analyse de déviations pour les modèles binomiaux de type GLM développés pour expliquer la variabilité de la présence des civelles à partir des variables abiotiques présélectionnées, testées chacune séparément. Dans la colonne « Effet » est indiqué pour les covariables le coefficient de pente et pour les variables facteurs les différentes modalités classées. La significativité des différences entre les modalités sont indiquées par rapport à la modalité référence signalée en gras. Si les différences ne sont pas significatives, les modalités comparées sont en gris.

Variable testée	AIC	Degrés de liberté	Significativité	Déviante expliquée (%)	Effet / Coefficient de pente
<b>Civelles_Pres ~</b>	<b>837.79</b>	<b>657</b>		<b>0</b>	
Année de suivi	822.16	653	***	2.83	<b>2016-2017</b> > 2017-2018 > 2019-2020 > 2020-2021 > 2018-2019
Mois	728.61	651	***	14.5	10<11<4,1<12<2<3
Temp_Man_Fac	805.84	652	***	3.53	<b>inf6</b> <sup12 <betw. 6 and 12°C
Station	796.68	649	***	6.83	<b>Beauduc</b> > Vaisseau > Tampan_B > Tampan > Comtesse > Versadou > Galabert 1-2 > Galabert > Galabert_B
DistSea	830.3	656	**	1.14	-0.056
DistSeaCM	836.6	656	NS		
CM	837.33	656	NS		
Sal_Man_Fac	815.62	653	***	3.6	oligohalin< <b>hyperhalin</b> < mixoeuhalin < polyhalin < mesohalin
Sal_Man	832.67	656	***	0.85	-0.011
poly(Sal_Man,2)	795.77	655	***	5.5	-38.8 / -47.83
Niv_Man	839.73	656	NS		
Moon_Fac	826.02	654	***	2.13	<b>first</b> < last < new < full
Moon_Sem	829.11	655	**	1.52	0.5 < <b>0</b> < 1
<b>Null</b>	<b>614.24</b>	<b>474</b>		<b>0</b>	
Vitesse_Sortant	600.43	471	***	2.31	-1.7

Variable testée	AIC	Degrés de liberté	Significativité	Déviante expliquée (%)	Effet / Coefficient de pente
Vitesse_Rentrant	614.37	471	NS		
Débit_Sortant	608.58	471	*	0.98	-1.41
Débit_Rentrant	613.57	471	NS		
Haut_mean	601.73	471	***	2.37	0.81

Tableau A7-20 : Analyse de déviations pour les modèles Gamma (fonction de lien Log) de type GLM développés pour expliquer la variabilité des CPUE positives des civelles à partir des variables abiotiques présélectionnées, chacune testée séparément. Dans la colonne « Effet » est indiqué pour les covariables le coefficient de pente et pour les variables facteurs les différentes modalités classées. La significativité des différences entre les modalités sont indiquées par rapport à la modalité référence signalée en gras. Si les différences ne sont pas significatives, les modalités comparées sont en gris. La fonction *poly()* est appliquée aux covariables pour tester des effets non linéaires d'ordre 2. Dans ce cas, ce sont les deux coefficients de pente associés à cette relation qui sont indiqués dans la colonne « effet ».

Variable testée	AIC	Degrés de liberté	Significativité	Déviante expliquée (%)	Effet / Coefficient de pente
<b>Log(Civelles_CPUE+1)~ ...</b>	<b>Null</b>	<b>661.63</b>	<b>214</b>		
Année de suivi	639.96	210	***	12.16	<b>2016-2017</b> > 2019-2020 > 2017-2018 > 2020-2021 > 2018-2019
Mois	641.92	208	***	12.94	10 < 11 < 4 < 3 < 1 < 2 < 12
Temp_Man_Fac	646.18	212	***	8.14	betw6and12 > inf6 > sup12
Station	652.74	206	**	10.3	Vaisseau > Comtesse > Tampan > Versadou > Tampan_B > <b>Beauduc</b> > Galabert 1-2 > Galabert > Galabert_B
DistSea	660.69	213	NS		
DistSeaCM	662.43	213	NS		
CM	658.07	213	*	2.4	-0.001
Sal_Man_Fac	649.84	210	**	8.27	<b>Hyperhalin</b> > mesohalin > mixoeuhalin > polyhalin > oligohalin
Sal_Man	659.5	213	NS		
poly(Sal_Man,2)	661.35	212	NS		
Niv_Man	658.55	213	*	2.19	-0.004
Niv_Man_Fac	659.38	212	NS		
Moon_Fac	647.23	211	***	8.52	<b>first</b> < last < new < full
Moon_Sem	650.75	212	**	6.28	0.5 < 0 < 1
<b>NULL</b>	<b>532.15</b>	<b>163</b>		<b>0</b>	
Vitesse_Sortant	531.75	162	NS		
poly(Vit_Sort,2)	531.87	161	NS		
Vitesse_Rentrant	526.17	162	**	4.44	-0.615
poly(Vit_Rentr,2)	528.1	161	*	4.5	-1.9 / -0.15

Débit_Sortant	534.09	162	NS		
poly(Déb_Sort,2)	535.27	161	NS		
Débit_Rentrant	532.41	162	NS		
poly(Déb_Rentr,2)	533.77	161	NS		
Haut_mean	529.32	162	*	2.7	0.2562

---